

1. Introducere în tehnica sistemelor de teletransmisie

1.1 Considerații generale

Obiectul cursului îl constituie prezentarea tehnicilor și a procedurilor de transmisie la distanță a informației, în scopul conducerii automate a unui proces industrial.

Informația poate fi definită ca știre, veste, în strânsă legătură cu conceptul de *comunicație* și cu modul de propagare a energiei asociate semnalului intermediar, precum și cu modalitățile de stocare a informației.

Până în zilele noastre, cel mai important mijloc de stocare a informației l-a constituit cuvântul scris, iar utilizarea tiparului a însemnat o revoluție în sensul posibilităților de răspândire pe arii largi a informației.

Odată cu începutul erei industriale, s-au dezvoltat tehnici de transmisie rapidă a informației (folosind semnale electrice) pe distanțe mari, în timp relativ scurt: telegraf, telefon, televiziune. Dezvoltări semnificative ale comunicației prin semnale electrice au avut loc în timpul celui de al doilea război mondial, nu numai tehnic – sonarul, radarul – dar și conceptual, prin dezvoltarea teoriei generale a transmiției informației (Shannon).

Progresele tehnologice (tranzistori, circuite integrate, microprocesoare, sateliți de comunicație) au făcut ca în prezent sistemele evaluate de comunicație să permită transportul în orice punct de pe glob a oricărui tip de informație: voce, text, desen.

Transmisia datelor

Totodată, epoca industrială a însemnat creșterea gradului de automatizare a proceselor industriale și a posibilităților de conducere cu calculatorul ale acestora.

Această evoluție a condus la necesitatea comunicației între diferite echipamente și operatorul uman. Natura informației transmise a evoluat deci spre simbolurile din tehnica discretă, care a înlocuit în mare măsură tehnica analogică de transmitere a informației.

1.2 Structuri de sisteme de teletransmisie. Mesaje

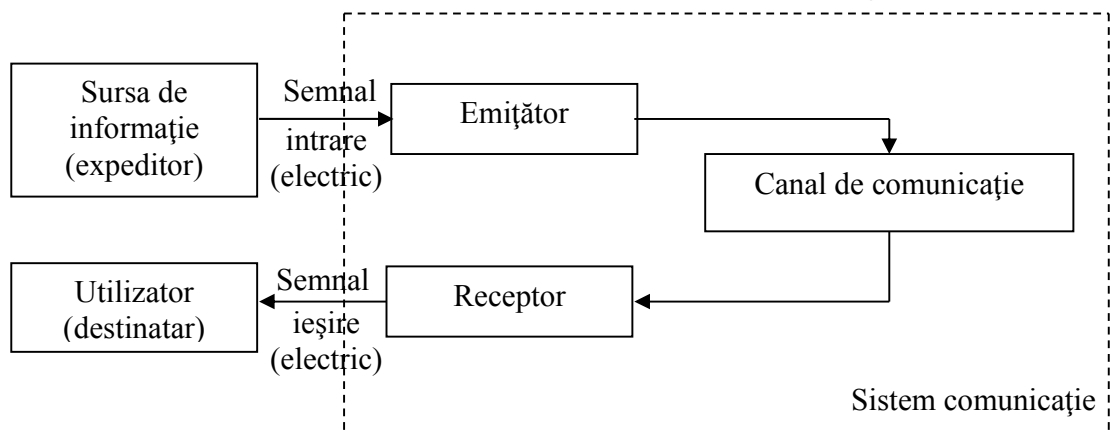


Fig. 1.1 Schema bloc funcțională a unui sistem de comunicație

În figura 1.1 este prezentată schema bloc funcțională a unui sistem de comunicație în sensul cel mai larg, având ca obiectiv transmiterea informației în timp și în spațiu de la un punct numit *sursă* la un alt punct numit *utilizator*. În mod particular, pentru un proces industrial, sursa de informație poate fi un traductor, destinatarul fiind un calculator de proces.

Singura restricție în modelul general din figura 1.1 o constituie natura electrică a semnalelor de intrare și de ieșire, ceea ce implică necesitatea ca o sursă neelectrică de informație să posede un mecanism de conversie a informației în semnal electric variabil în timp, care va fi denumit *semnal mesaj*. La rândul său, canalul de comunicație trebuie să permită transmiterea semnalului electric, dar natura sa poate fi diversă: fibră optică, canal radio.

Transmisia datelor

Semnalul poate fi definit ca o mărime fizică de o anumită natură, luând valori într-un domeniu dat, utilizată într-un domeniu aplicativ.

Semnalul poate fi util sau perturbator. La transmiterea prin canalul de comunicație poate să apară o degradare a semnalului datorată perturbațiilor sau distorsiunilor provocate de tehnica de transmisie.

În acest context, principalele cerințe pentru un sistem de comunicație sunt:

- evitarea distorsiunilor;
- minimizarea efectelor perturbațiilor (rejecția perturbațiilor).

Pentru îndeplinirea acestor cerințe, emițătorul va prelucra mesajul inițial, pentru a asigura o transmisie eficientă. Principalele operații efectuate sunt: *amplificare*, *filtrare* și *modulare*, ultima fiind esențială în adaptarea semnalului mesaj la caracteristicile canalului. Ea oferă totodată posibilități de reducere a efectelor perturbațiilor și de transmitere simultană a mai multor mesaje.

La rândul său, receptorul va fi astfel conceput încât să permită extragerea cât mai fidelă a semnalului mesaj din forma degradată a semnalului de ieșire din canal. Acest lucru se obține esențial prin operația de *demodulare*, la care se adaugă *filtrare* și *amplificare*.

În funcție de metoda de modulație folosită și de natura semnalului de ieșire al sursei de informație, sistemele de comunicație se clasifică astfel:

- *sisteme analogice de comunicație*, care se caracterizează prin faptul că transmit informații analogice folosind tehnica analogică de comunicație;
- *sisteme numerice de comunicație*, care transmit informații numerice folosind tehnica digitală de comunicație;
- *sisteme hibride de comunicație* care folosesc tehnici numerice de modulație pentru a transmite valori discretizate în timp / nivel ale unor mesaje analogice.

În curs, referirile se vor face exclusiv la sistemele numerice de transmitere a informației sub formă de secvențe de simboluri (date numerice), cu unele completări referitoare la alte categorii de sisteme de comunicație.

Transmisia datelor

În figura 1.2 este prezentat modelul cu blocuri funcționale al unui sistem numeric de comunicație, în care mesajele sursă și utilizator sunt secvențe de simboluri binare.

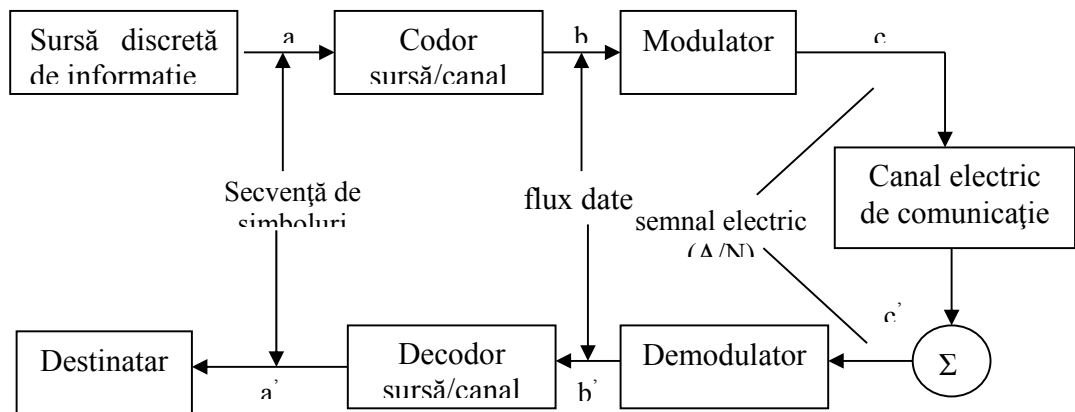


Fig.1.2 Sistem numeric de comunicație

În mod suplimentar față de schema din figura 1.1 apar blocurile de codare/decodare, specifice tratării discrete a informației. Blocul de codare are în componență 2 subansamble:

- blocul de codare sursă (care transpune mesajul în alfabetul sursei);
- blocul de codare canal (care transpune mesajul în alfabetul canalului).

Prin tehnicile de codare, o secvență de simboluri capătă o anumă semnificație, anumite reguli semantice permițând depistarea la decodare a eventualelor erori apărute în timpul transmisiei și, în unele cazuri, corectarea acestora. Tehnicile de codare/decodare permit, în plus, și creșterea vitezei de transmisie în canal.

În continuare sunt prezentate câteva considerații generale privind specificitatea diferitelor blocuri din schema din figura 1.2.

a) sursa de informație

Există 2 categorii, după natura semnalului de ieșire:

- surse analogice (continue)
exemplu: semnalul oferit de un microfon la care se vorbește;
- surse numerice (discrete)

Transmisia datelor

exemplu: ieșirea calculatorului spre imprimantă.

Sursele numerice sunt caracterizate de:

- alfabetul sursei, definit ca o mulțime finită de simboluri ireductibile care conțin informații;
- viteza de emisie a simbolurilor;
- probabilitatea de apariție a unui simbol.

b) blocuri de codare/decodare

Intrarea în codor este o secvență de simboluri ce apar cu viteza v_s (simb/s). Codorul sursă convertește secvența de simboluri într-o secvență de valori binare 0 sau 1, iar codorul canal grupează aceste simboluri binare în cuvinte. Cuvintele pot fi de lungime fixă sau variabilă, alegerea eficientă a lungimii făcându-se în funcție de probabilitatea de apariție a simbolurilor și de nivelul perturbațiilor în canal.

Problema esențială a codării constă în găsirea unui compromis între o transmisie eficientă (caracterizată de o viteză mare) și una cât mai sigură (cu o rată a erorii cât mai redusă). Ultima cerință impune folosirea unor simboluri de corecție suplimentare, având drept consecință creșterea timpului de transmisie.

c) blocuri modulator/demodulator

Modulatorul asigură minimizarea efectelor perturbatoare ale canalului, prin folosirea unor semnale de putere și bandă sporită.

Demodulatorul are drept efect extragerea mesajului din semnalul obținut la ieșirea canalului, prin tehnici adecvate ce depind evident de tipul de modulație utilizat.

d) canal de comunicație

Este un circuit fizic de tip electric/electromagnetic, cu o bandă de trecere limitată și un anumit efect alternator asupra semnalului. La aceasta se mai adaugă zgomotele aleatoare care degradează semnalul-mesaj inițial. De aceea, canalul va fi caracterizat esențial prin raportul semnal/zgomot s/z ce poate fi menținut la ieșirea canalului.

e) alte blocuri funcționale, nefigurată în schemă – blocuri de filtrare, circuite de ceas și de sincronizare, blocuri de egalizare/adaptare pentru compensarea schimbărilor caracteristicilor canalului. Existența unor astfel de blocuri conduce la structuri diferite ale sistemelor de comunicație.

Transmisia datelor

În acest punct al prezentării, trebuie subliniat faptul că figura 1.2 este o schemă pur teoretică, deoarece privește unilateral transmisia de date. Ca urmare, trebuie adoptată o soluție practică prin care să fie asigurată circulația datelor în două sensuri, între 2 ETTD (echipamente terminale de transmisie de date, care înglobează blocurile codor/decodor și de sincronizare), soluție prezentată în figura 1.3.

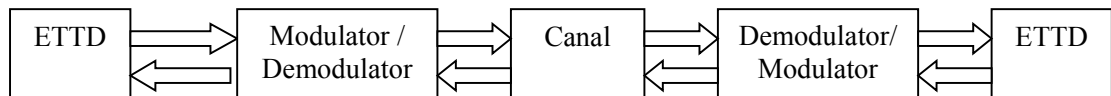


Fig. 1.3 . Sistem de comunicație bidirecțional

Un astfel de sistem de comunicație este un sistem comun de tip *punct la punct / port la port*, ce reprezintă doar o etapă în evoluția acestui tip de sisteme, care s-au dezvoltat ulterior sub formă de sisteme de comunicație *multipunct* și de *rețele de transmisie de date*, în care numeroase terminale pot efectua schimburi complete de informație prin sisteme standard de interfață fizică și logică (rețele de calculatoare).

De altfel, mijloacele actuale de comunicație fac astăzi posibile lucruri care amintesc de science-fiction-ul de ieri:

- enciclopedii într-un disc de 4 inchi;
- cumpărături făcute de acasă prin calculator;
- teleconferințe internaționale;
- telefonie mobilă.

În mod remarcabil, nici unul dintre aceste sisteme și servicii nu erau disponibile acum 20 de ani. Evident, există și o ierarhizare a lor, dictată de anumite criterii generale cum sunt:

- *mobilitatea*, care se referă la situațiile în care mediul este utilizat de emițători/receptori în locații fixe sau mobile;
- *formatul de transmisie*: imagine, text, audio și date;
- *capacitatea de transmisie*, caracterizată de faptul că mesajele variază în complexitate în cadrul aceleiași categorii de format și între formate. În general, cu cât este

Transmisia datelor

mai mare complexitatea mesajului, cu atât trebuie să fie mai mari viteza de transmisie și capacitatea de procesare;

- *combinația emițător – receptor*, care se referă la modul în care sunt conectate cele trei mari categorii de perechi emițător – receptor: persoane (p), grupuri de persoane (g) și mașini (m), creîndu-se astfel *rețele informaționale*, conform celor prezentate în tabelul 1.1.

Tabelul 1.1

p la p	p la g	p la m
g la p	g la g	g la m
m la p	m la g	m la m

- *game de semnale*: locale, regionale, naționale, internaționale, globale;
- *arii de răspândire*, după cum urmează:
 - un sistem prin *cablu* poate acoperi un singur complex de locuințe sau un întreg oraș;
 - un sistem *pager* poate ajunge la limitele orașului sau poate fi extins la o regiune;
 - un sistem *teletext* poate avea o audiență locală sau națională prin distribuție prin satelit;
- *interactivitate*, care se referă la cele două mari categorii:
 - transmitere într-un singur sens / fără interacțiune;
 - transmitere în două sensuri, cu nivel înalt de interactivitate, cel mai simplu exemplu fiind cel al sistemul telefonic, cu varianta sa modernă – tehnologia mobilă, care asigură ultimul tip de legătură și cel mai complex din sistemul de comunicații: *legătura dintre oameni și rețelele informaționale*, materializată prin serviciul de telefonie mobilă, care a cunoscut o extindere notabilă începând cu anul 1949. În aceeași categorie trebuie menționați și *sateliții de comunicație*, o prezență familiară în peisajul comunicațional actual, care și-au făcut debutul în octombrie 1957 (primul satelit de comunicație Sputnik -URSS), cu observația că în SUA, uzul acestora a fost limitat până în 1972 la domeniul militar și guvernamental. Din 1972, domeniul s-a extins, apărând așa-numiții “domsats”, cu utilizări și în alte domenii, preponderent științifice.

1.3 Informația. Măsura cantității de informație

Materialul prezentat în această parte a capitolului se bazează pe munca de pionierat a lui Shannon, prezentată pentru prima dată în anul 1948, în “Bell Technical Journal”, unde au fost expuse rezultatele cercetărilor sale care reprezintă *bazele tehnologiei comunicației*.

1.3.1. Scurt istoric al conceptului de informație

În perioada anilor 1920–1930, Robert Fischer a stabilit criteriile pentru evaluarea estimațiilor statistice, astfel încât, plecând de la date de observație, să se poată estima parametrii unei distribuții de frecvențe, numite *probabilități*. El a observat că poate izola un termen care nu depinde de datele de observație, ci numai de probabilitățile efective. Această expresie matematică a fost denumită *informație conținută în observație*, și este prima menționare științifică a noțiunii.

În anul 1927 Robert Hartley pune bazele teoriei statistice a comunicației. El încearcă stabilirea unei măsuri cantitative prin care să se poată compara capacitățile diferitelor sisteme de a transmite informație. Hartley adoptă ca măsură practică a informației *logaritmul numărului de secvențe de simboluri posibile*, definind *capacitatea de informație a unui sistem* prin

$$C = \log N = \log m^n = n \log m \quad (1.1)$$

cu:

m - numărul de stări posibile ale unei unități de memorie;

m^n - numărul de stări pentru n unități (secvențe de simboluri).

Analiza acestei măsuri evidențiază atât un avantaj, care se referă la faptul că mărimea permite comparații cantitative ușoare, cât și un dezavantaj, legat de procesul de selecție a semnalului ce trebuie transmis. În acest sens, măsurarea propriu-zisă a informației este dificilă, procesul fiind cu atât mai complex cu cât setul de semnale din care se face alegerea este mai mare; drept urmare, s-a decis (Shannon, 1948) luarea în considerație a *probabilității de apariție a unui anumit tip de semnal*.

În anul 1948 Shannon stabilește, așadar, unitatea de măsură a informației, care să nu depindă de natura acesteia (așa cum starea unui corp nu depinde de natura fizică a acestuia).

Shannon pornește de la premisa că orice informație asupra unor evenimente contribuie la scăderea gradului de incertitudine asupra realizării evenimentelor respective. Astfel, din punctul de vedere al utilizatorului, comunicația este o variabilă aleatoare, conținutul informațional al unei știri fiind cu atât mai mare cu cât există mai puține așteptări referitoare la realizarea acesteia.

1.3.2. Formularea matematică a problemei

Fie A un experiment care evidențiază n evenimente aleatoare a_1, a_2, \dots, a_n cu probabilitățile de apariție aferente $p_1, p_2, \dots, p_n; p_i > 0, i = \overline{1, n}$ și $\sum_1^n p_i = 1$.

Acest experiment evidențiază un anumit câmp de probabilități

$\{A, a_i, p_i\}$, caracterizat de repartiția $A = \begin{vmatrix} a_1 & a_2 & \dots & a_n \\ p_1 & p_2 & \dots & p_n \end{vmatrix}$.

De exemplu, experimentul A, caracterizat de câmpul de probabilități

$\begin{vmatrix} a_1 & a_2 \\ 0.1 & 0.9 \end{vmatrix}$, are, din punct de vedere *calitativ*, un grad de incertitudine mai

mic decât experimentul B, caracterizat de câmpul de probabilități

$\begin{vmatrix} b_1 & b_2 \\ 0.5 & 0.5 \end{vmatrix}$

Dar *cantitativ*, se impune referirea la noțiunea de *probabilitate condiționată*.

Fie A și B două evenimente; se definește probabilitatea condiționată

$$P(A/B) = \frac{P(A * B)}{P(B)} = \frac{P(A \cap B)}{P(B)} \quad (1.2)$$

ca schimbarea probabilității $P(A)$ de apariție a evenimentului A când s-a realizat evenimentul B.

În cazul particular

$$A \subset B \Rightarrow P(A * B) = P(A) \rightarrow P(A \setminus B) = \frac{P(A)}{P(B)} \geq P(A) \quad (1.3)$$

Transmisia datelor

Se observă că informația “ B realizat”, adică $P(B)=1$, crește probabilitatea lui A , adică se micșorează incertitudinea asupra realizării evenimentului A .

Utilizând o funcție logaritmică, se apreciază numeric incertitudinea asupra realizării evenimentului A , $I(A)$.

$$\begin{aligned} \log \frac{1}{P(A/B)} &= \log \frac{1}{P(A)/P(B)} = \log P(B) - \log P(A) = \\ \log \frac{1}{P(A)} - \log \frac{1}{P(B)} &\leq \log \frac{1}{P(A)} \end{aligned} \tag{1.4}$$

ceea ce se scrie

$$I(A/B) = I(A) - I(B) \tag{1.5}$$

unde s-a folosit notația $I(A) = \log \frac{1}{P(A)} = -\log P(A)$

Un caz particular sugestiv este $A=B \Rightarrow I(A/A) = I(A) - I(A) = 0$, adică incertitudinea asupra lui A se anulează la realizarea lui A .

Rezultă că se poate stabili o echivalență între incertitudinea asupra realizării unui eveniment și realizarea lui.

Informația care se obține prin realizarea evenimentului x_i de probabilitate p_i va fi

$$I(x_i) = -k \log_b p(x_i), \text{ cu } k = k(b) \tag{1.6}$$

A alege o unitate de informație (de incertitudine) revine la a-l alege pe b . Există următoarele cazuri:

- $b=e$, situație în care unitatea de informație se numește *nit* sau *nat* (natural unit);
- $b=2$, situație în care unitatea de informație se numește *bit* (binary unit), care nu trebuie confundat cu bit (binary digit) corespunzător cifrelor binare 0/1;
- $b=10$, situație în care unitatea de informație se numește *decit* (decimal unit).

Transmisia datelor

Se definește astfel *bit-ul* ca informația care se obține prin realizarea unui eveniment din două evenimente echiprobabile ($p(x_i) = \frac{1}{2}$) ($k=1$)

$$I = -\log_2 \frac{1}{2} = 1 \text{ bit} \quad (1.7)$$

$$1 \text{ nit} = -\log_2 \frac{1}{e} = \frac{1}{\ln 2} = 1.44 \text{ bit} \quad (1.8)$$

$$1 \text{ decit} = -\log_2 \frac{1}{10} = \frac{1}{\lg 2} = 3.32 \text{ bit} \quad (1.9)$$

În tabelul 1.2 este prezentată comparativ corespondența unităților de informație.

Tabelul 1.2

	1 bit	1 nit	1 decit
1 bit	1	0.693	0.301
1 nit	1.443	1	0.434
1 decit	3.322	2.303	1

În cele ce urmează, va fi folosit exclusiv *bit-ul* ca unitate de măsură a informației, ceea ce subliniază importanța utilizării tehnicii binare în codificare.

Aplicația 1.1.

Considerând 4 mesaje m_1, m_2, m_3, m_4 , cu probabilitățile de apariție asociate $p_1 = \frac{1}{2}; p_2 = \frac{1}{4}; p_3 = \frac{1}{8}; p_4 = \frac{1}{16}$, să se determine informația conținută în fiecare mesaj.

$$I(m_1) = -\log_2 p_1 \quad (1.10)$$

$$I(m_2) = -\log_2 \frac{1}{4} = -\log_2 1 + \log_2 4 = 2 \text{ bit} \quad (1.11)$$

$$I(m_1) = 1 \text{ bit}; I(m_3) = 3 \text{ bit}; I(m_4) = 4 \text{ bit} \quad (1.12)$$

1.3.3. Entropia informațională. Definiție. Proprietăți

Pentru un experiment cu N rezultate echiprobabile, se presupune că fiecare rezultat în parte introduce o nedeterminare egală cu a $\frac{1}{N}$ - a parte din nedeterminarea totală, deci cu

Transmisia datelor

$$\frac{1}{N} \log N = -\frac{1}{N} \log \frac{1}{N} \quad (1.13)$$

Generalizând, se poate concluziona că măsura nedeterminării unui experiment cu n evenimente a_1, \dots, a_n , caracterizate de probabilitățile

$p_1, \dots, p_n, p_i \geq 0, \sum_1^n p_i = 1$, este expresia

$$H(p_1, p_2, \dots, p_n) = -\sum_1^n p_i \log p_i \quad (1.14)$$

și este denumită *entropie* (Shannon).

În acest context, câteva dintre proprietățile relevante ale entropiei sunt prezentate în continuare.

1. Cu convenția $p \log p = 0$, entropia anterior definită este o funcție pozitivă, simetrică și continuă.

2. $(\forall) p_1, p_2, \dots, p_n, H(p_1, p_2, \dots, p_n) \leq H\left(\frac{1}{n}, \frac{1}{n}, \dots, \frac{1}{n}\right)$ (1.15)

Această proprietate arată că entropia este maximă atunci când evenimentele sunt echiprobabile.

3. Se consideră câmpul de evenimente

$$A = \begin{vmatrix} a_1 & a_2 & \dots & a_{n-1} & \dots & a_n \\ p_1 & p_2 & \dots & p_{n-1} & \dots & p_n \end{vmatrix} \quad (1.16)$$

Fie evenimentul a_n împărțit în evenimentele disjuncte b_1, \dots, b_m ,

$a_n = b_1 \cup b_2 \cup \dots \cup b_m$, cu probabilitățile asociate $q_1, q_2, \dots, q_m, \sum_1^m q_j = p_n$.

S-a format astfel un nou câmp de evenimente

$$(A, B) = \begin{vmatrix} a_1 & a_2 & \dots & a_{n-1} & b_1 & \dots & b_m \\ p_1 & p_2 & \dots & p_{n-1} & q_1 & \dots & q_m \end{vmatrix} \quad (1.17)$$

cu entropia

$$H(p_1, \dots, p_{n-1}, q_1, \dots, q_m) \geq H(p_1, \dots, p_n) \quad (1.18)$$

Prin împărțirea unui eveniment în cât mai multe evenimente, entropia nu poate să scadă (de regulă crește).

Transmisia datelor

În vederea caracterizării sistemului de transmisie de date, de un interes deosebit este studiul entropiei legilor compuse.

Fie două experimente A, B , caracterizate prin câmpurile:

$$A = \left| \begin{array}{c} a_1 \dots a_n \\ p_1 \dots p_n \end{array} \right| ; \quad B = \left| \begin{array}{c} b_1 \dots b_m \\ q_1 \dots q_m \end{array} \right| \quad (1.19)$$

$$p_k > 0, k = \overline{1, n}, \sum_1^n p_k = 1$$

cu

$$q_l > 0, l = \overline{1, m}, \sum_1^m q_l = 1$$

Când evenimentele din cele două experimente nu se condiționează reciproc, *evenimentul cumulat* (A, B) definit de apariția simultană a unui eveniment a_k din A și a unui eveniment b_l din B este caracterizat prin probabilitatea

$$\pi_{kl} = p_k \cdot q_l, \text{ cu } \sum_1^n \sum_1^m \pi_{kl} = 1 \quad (1.20)$$

Entropia experimentului cumulat va fi

$$H(A, B) = - \sum_1^n \sum_1^m \pi_{kl} \log \pi_{kl} = H(A) + H(B) \quad (1.21)$$

Entropia unui experiment alcătuit din mai multe experimente independente este egală cu suma entropiilor experimentelor independente.

Situația se modifică atunci când probabilitățile de apariție a evenimentelor b_1, \dots, b_m sunt condiționate de apariția evenimentelor a_1, \dots, a_n .

Se consideră că apariția unui eveniment a_k din A implică pentru B o schemă de repartiție de forma

$$a_k \rightarrow \left| \begin{array}{c} b_1 \dots b_m \\ q_{k1} \dots q_{km} \end{array} \right|, \text{ cu } \sum_1^m q_{kl} = 1 \quad (1.22)$$

Experimentul compus care reflectă realizarea evenimentului b_l condiționată de apariția evenimentului a_k este în acest caz caracterizat de proprietatea

$$\pi_{kl} = p(a_k, b_l) = p(a_k) \cdot q_{kl} \quad (1.23)$$

și în această situație există un câmp complet de evenimente, deoarece

Transmisia datelor

$$\sum_{k=1}^n \sum_{l=1}^m (p_k \cdot q_{kl}) = 1.$$

Entropia experimentului B condiționat de apariția evenimentului a_k este dată de relația:

$$H_k(B) = H(q_{k1}, \dots, q_{km}) = -\sum_{l=1}^m q_{kl} \log q_{kl} \quad (1.24)$$

iar entropia experimentului B condiționat de realizarea experimentului A va fi

$$H_A(B) = H(B/A) \triangleq \sum_{k=1}^n p_k H_k(B) = -\sum_{k=1}^n p_k \sum_{l=1}^m q_{kl} \log q_{kl} \quad (1.25)$$

Entropia experimentului compus (A, B) se calculează

$$H(A, B) = -\sum_{k=1}^n \sum_{l=1}^m \pi_{kl} \log \pi_{kl} = \dots = H(A) + H(B/A) = H(B) + H(A/B) \quad (1.26)$$

Așadar, în cazul evenimentelor condiționate, entropia experimentului compus este mai mică decât în cazul evenimentelor independente.

1.4 Caracterizarea entropică a sistemelor de transmisie de date

1.4.1 Definiții. Proprietăți

Transmiterea de date (de informație) poate fi considerată un exemplu particular de experiment compus. În acest sens se pot face următoarele considerații:

1. *Sursa de transmitere a informației este considerată experimentul X reprezentat prin câmpul de probabilități $\{X, x, p(x)\}$ și schema de repartiție*

$$X = \begin{vmatrix} x_1 & x_2 & \dots & x_n \\ p(x_1) & p(x_2) & \dots & p(x_n) \end{vmatrix} \quad (1.27)$$

unde x_i sunt simbolurile alfabetului sursă, $i = \overline{1, n}$, iar $p(x_i) > 0$, $p(x_i)$

este probabilitatea ca să fie emis simbolul x_i , $\sum_{i=1}^n p(x_i) = 1$

Sursa este caracterizată de entropia

$$H(X) = -\sum_{i=1}^n p(x_i) \log p(x_i) \quad (1.28)$$

2. *Receptorul sistemului de transmitere a informației este considerat experimentul Y reprezentat prin câmpul de probabilități $\{Y, y, p(y)\}$, cu schema de repartiție*

$$Y = \begin{vmatrix} y_1 & y_2 & \dots & y_n \\ p(y_1) & p(y_2) & \dots & p(y_n) \end{vmatrix} \quad (1.29)$$

unde y_j sunt simbolurile alfabetului recepției, $j = \overline{1, m}$

$p(y_j)$ este probabilitatea să fie recepționat simbolul y_j , și

$$\sum_1^m p(y_j) = 1$$

Recepția este caracterizată de entropia

$$H(Y) = -\sum_1^m p(y_j) \log p(y_j) \quad (1.30)$$

3. *Experimentul compus care caracterizează transmiterea informației (X, Y) constă în realizarea evenimentului (x_i, y_j) , ceea ce înseamnă recepția simbolului y_j atunci când a fost emis simbolul x_i și este caracterizat de*

$$\{X, Y, (x, y), p(x, y)\}, \text{ cu } \sum_{i=1}^n \sum_{j=1}^m p(x_i) p(y_j) = 1 \quad (1.31)$$

Acest experiment compus este definit de entropia

$$H(X, Y) = -\sum_1^n \sum_1^m p(x_i, y_j) \log p(x_i, y_j) \quad (1.32)$$

Se deduc relațiile

$$\sum_{j=1}^m p(x_i, y_j) = p(x_i) \text{ și } \sum_{i=1}^n p(x_i, y_j) = p(y_j) \quad (1.33)$$

În cazul în care transmisia se efectuează fără perturbații, cunoașterea câmpului de evenimente de la recepție permite identificarea mesajului emis. În realitate, *existența perturbațiilor conduce la incertitudine asupra mesajului emis*. Valoarea medie a acestei incertitudini este dată de entropia câmpului X condiționat de câmpul Y , $H(X|Y)$.

În aceste condiții, considerând probabilitatea condiționată $p(x_i / y_j)$ ca la intrarea în canal să fie emis simbolul x_i când la ieșire se recepționează simbolul y_j , formula de calcul este

Transmisia datelor

$$p(x_i / y_j) = \frac{p(x_i, y_j)}{p(y_j)} \equiv p(x / y) = \frac{p(x, y)}{p(y)} \quad (1.34)$$

de unde rezultă probabilitatea condiționată $H(X|Y)$.

Analog, considerând probabilitatea de a recepționa semnalul y_j când se emite semnalul x_i

$$p(y_j / x_i) = \frac{p(x_i, y_j)}{p(x_i)} \quad (1.35)$$

de unde rezultă probabilitatea condiționată $H(Y|X)$.

Cunoașterea probabilității condiționate $p(y / x)$ înseamnă, de fapt, cunoașterea canalului de transmitere a informației. Configurația $\{ X, p(y / x), Y \}$ reprezintă configurația de bază a sistemului de transmitere a informației.

Proprietățile cele mai importante care definesc din punct de vedere entropic sistemul de transmisie de date sunt prezentate în continuare.

Echivocația $H(x \setminus y)$, definită ca fiind măsura echivocului care există asupra câmpului de intrare X când se cunoaște câmpul de ieșire Y .

Eroarea medie de transmisie $H(y / x)$, definită ca măsura incertitudinii care există asupra câmpului de ieșire când se cunoaște câmpul de intrare.

$$H(y, x) = H(x) + H(y / x) = H(y) + H(x / y) \quad (1.36)$$

cu situațiile definatorii:

a) la perturbație nulă

$$H(y / x) = 0 \Rightarrow H(x, y) = H(x) = H(y) = 0 \quad (1.37)$$

b) la perturbații foarte puternice, câmpurile de intrare / ieșire în/din canal devin independente și deci

$$H(x / y) = H(x); H(y / x) = H(y) \Rightarrow H(x, y) = H(x) + H(y) \quad (1.38)$$

Din punct de vedere al transmisiei, cea mai relevantă caracterizare o oferă *cantitatea de informație medie care trece prin canal*, adică valoarea medie a informației care se obține asupra câmpului de la intrare, X , când se cunoaște câmpul de ieșire Y . Această mărime este denumită *transinformația $I(x, y)$* și se calculează

$$I(x,y) = H(x) - H(x/y) \quad (1.39)$$

Capacitatea canalului este definită ca fiind valoarea maximă a transinformației

$$C = \max I(x, y) \quad (1.40)$$

$$\text{Redundanța canalului } R_C = C - I(x, y) \quad (1.41)$$

Eficiența canalului, care arată cât de mult se apropie transinformația de valoarea ei maximă.

$$\eta_c = \frac{I(x, y)}{C} \quad (1.42)$$

Aplicația 1.2.

Se consideră o sursă discretă care emite la fiecare milisecundă un simbol din cinci simboluri posibile ale căror probabilitățile asociate

sunt $\frac{1}{2}, \frac{1}{4}, \frac{1}{8}, \frac{1}{16}, \frac{1}{16}$. Se cere entropia sursei și viteza de transmisie a sursei, v_s .

$$H(s) = H(x) = -\sum_1^5 p_i \log p_i = 1.875 \text{ bit/simbol}$$

$$v_s = v \cdot H(x)$$

cu v – viteza fixă cu care sunt emise simbolurile;

v_s – viteza / rata de transmisie a sursei.

Rezultă

$$v_s = 1000 \cdot 1.875 = 1875 \text{ bit} / s.$$

1.4.2 Modele statistice pentru sursele de informație

Analiza modelelor statistice pentru sursele de informație este realizată în condițiile considerării următoarelor ipoteze:

- sursa este *staționară* (probabilitățile de apariție a diferitelor simboluri nu depind de timp);
- sursa este *regulată* (nu există posibilitatea de a nu fi emise toate mesajele posibile).

Practic, aproape toate sursele de informație emit mesaje static dependente de succesiunea mesajelor transmise anterior (de exemplu, considerând un oarecare text, care nu e complet aleator, există frecvențe diferite de apariție a literelor A și X) .

Transmisia datelor

În acest context, modelul cel mai des întâlnit este *modelul Markov staționar discret*, definit de următoarele caracteristici:

1. Sursa se află în una din cele n stări posibile $1 \dots n$ la începutul fiecărui interval elementar de emiteră a unui simbol. Ea își schimbă o singură dată starea pe durata unui interval, din starea inițială i în starea finală j , cu probabilitatea p_{ij} , numită probabilitate de tranziție. Această probabilitate rămâne constantă pe toată durata procesului.
2. Când sursa trece din starea i în starea j , este emis un simbol care depinde de starea i și de tranziția $i \rightarrow j$.
3. Fie S_1, \dots, S_M – simbolurile alfabetului sursei, iar x_1, \dots, x_k, \dots – secvența de variabile aleatoare, cu x_k – simbolul evenimentului k din șirul simbolurilor emise de sursă. Probabilitatea ca acest simbol să fie S_q va fi condiționată de celelalte simboluri emise anterior.

$$p(x_k = S_q | x_1, x_2, \dots, x_{k-1}) \quad (1.43)$$

4. În conexiune cu 3., influența reziduală a simbolurilor x_1, \dots, x_{k-1} definește starea sistemului la începutul intervalului k ; fie ea S_k -atunci

$$p(x_k = S_q | x_1, x_2, \dots, x_{k-1}) = p(x_k = S_q | S_k) \quad (1.44)$$

5. La începutul primului interval de emisie, sistemul se află în una din cele n stări posibile $1 \dots n$, cu probabilitățile $p_1(1), p_2(1), \dots, p_n(1)$,

$$\sum_1^n p_i(1) = 1.$$

6. Dacă probabilitatea ca sistemul să fie în starea j la începutul intervalului k este $p_j(k)$, tranziția sistemului se reprezintă prin

$$p_j(k+1) = \sum_{i=1}^n p_i(k) p_{ij} \quad (1.45)$$

În acest sens, considerând $P(k)$ vector coloană cu $p_i(k)$ în poziția i

$$P(k) = \begin{bmatrix} P_1(k) \\ \vdots \\ P_i(k) \\ \vdots \\ P_n(k) \end{bmatrix} \quad (1.46)$$

și matricea $\phi = M_{m \times n}$, de forma

Transmisia datelor

$$\phi = \begin{pmatrix} p_{11} & p_{12} & \cdots & p_{1n} \\ p_{21} & p_{22} & \cdots & p_{2n} \\ \cdots & \cdots & \cdots & \cdots \\ p_{n1} & p_{n2} & \cdots & p_{nn} \end{pmatrix} \quad (1.47)$$

se poate scrie relația matriceală

$$P(k+1) = \phi^T \cdot P(k) \quad (1.48)$$

Matricea ϕ se numește *matricea probabilităților de tranziție a procesului Markov*, cu proprietatea că un proces Markov este staționar dacă

$$P(k) = \phi^T P(k), k = 1. \quad (1.49)$$

Sursele Markov discrete se pot reprezenta prin *grafuri*, având în noduri stările, iar arcele reprezentând tranzițiile între stări.

Aplicația 1.3.

Considerând o sursă Markov reprezentată prin graful din figura 1.4.,

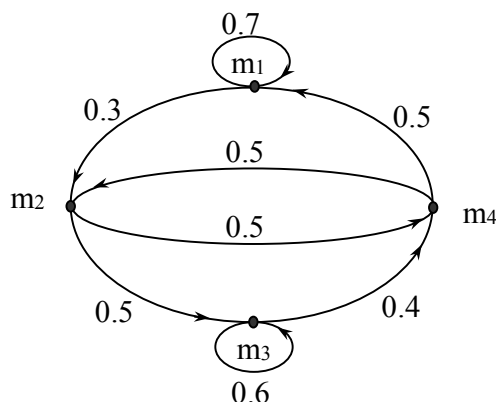


Fig.1.4. Graful unei surse Markov

matricea probabilităților de tranziție asociată este de forma

$$\phi = \begin{bmatrix} 0.7 & 0.3 & 0 & 0 \\ 0 & 0 & 0.5 & 0.5 \\ 0 & 0 & 0.6 & 0.4 \\ 0.5 & 0.5 & 0 & 0 \end{bmatrix} \quad (1.50)$$

1.5 Caracterizarea entropică a canalelor de comunicație

1.5.1 Canale discrete

Fie un canal discret de comunicație, caracterizat prin

- alfabetul de intrare: $X = (x_1, x_2, \dots, x_n)$
- alfabetul de ieșire: $Y = (y_1, y_2, \dots, y_m)$
- legea de tranziție π_{kl} , definită prin probabilitatea condiționată $P(y_j / x_i)$ de apariție la ieșirea canalului a simbolului y_j când la intrare a fost simbolul x_i .

Câteva dintre proprietățile relevante ale canalelor de comunicație sunt prezentate în continuare.

- Canalul este staționar, dacă pentru fiecare pereche (x_i, y_i) , $p(y_i / x_i)$ nu depinde de timp;
- Canalul este fără memorie, dacă $p(y_i / x_i)$ nu depinde de natura semnalelor transmise anterior;
- Legea de tranziție π este reprezentată de matricea

$$\pi = \begin{bmatrix} p_1(1) & p_1(2) & \dots & p_1(m) \\ p_2(1) & p_2(2) & \dots & p_2(m) \\ \dots & \dots & \dots & \dots \\ p_m(1) & p_m(2) & \dots & p_m(m) \end{bmatrix} \quad (1.51)$$

cu $\sum_j p_i(j) = 1, p_{ij} \geq 0$.

Matricea π caracterizează perturbația de pe canal, fiind denumită și *matrice de zgomot*, semnificația ei fiind deosebit de importantă în contextul analizei transmisiei pe canal.

Cunoscând câmpul de probabilitate al sursei, deci $p(x_i)$, $i = \overline{1, n}$, $\sum_1^n p(x_i) = 1$, cu relația:

$$p(x_i, y_j) = p(y_j / x_i) \cdot p(x_i) \quad (1.52)$$

se poate calcula matricea $P(x, y)$, denumită și *matricea probabilităților câmpurilor reunite*, cu proprietățile:

Transmisia datelor

- suma elementelor pe linie $\sum_{j=1}^m p(x_i, y_j) = p(x_i), \sum_{i=1}^n p(x_i) = 1$
- suma elementelor pe coloană $\sum_{i=1}^n p(x_i, y_j) = p(y_j), \sum_{j=1}^m p(y_j) = 1$

a) Dacă matricea de zgomot este formată numai din linii obținute prin permutarea aceluiași set de probabilități p_1, \dots, p_m , canalul se numește *uniform față de intrare*.

b) Analog, dacă matricea de zgomot este formată numai din linii obținute prin permutarea aceluiași set de probabilități q_1, \dots, q_n , canalul se numește *uniform față de ieșire*.

Un canal uniform atât față de intrare cât și față de ieșire este un *canal dublu uniform*, situație în care $m = n$.

În cazul în care alfabetul de intrare și cel de ieșire sunt identice și, $(\forall) i \neq j$, se poate scrie

$$p_i(j) = p_m = \frac{1-q}{m-1} = ct \quad (1.53)$$

cu q -probabilitatea recepționării fără eroare, canalul se numește *simetric*.

Capacitatea unui canal discret simetric se obține, conform definiției, prin maximizarea transinformației

$$C = \max[H(y) - H(x)] = H\left(\frac{1}{m}, \frac{1}{m}, \dots, \frac{1}{m}\right) + \sum_{j=1}^m p_i(j) \log p_i(j) \quad (1.54)$$

$$C = \log m + \sum_{j=1}^m p_i(j) \log p_i(j) \quad (1.55)$$

Un caz particular îl constituie canalul simetric la care trecerile la același indice se fac cu aceeași probabilitate, iar celelalte treceri se fac cu alte probabilități, toate egale

$$\pi = \begin{pmatrix} 1-p & q & \dots & q \\ q & 1-p & \dots & q \\ \dots & \dots & \dots & \dots \\ q & q & \dots & 1-p \end{pmatrix}, \text{ cu } q = \frac{p}{m-1} \quad (1.56)$$

Capacitatea unui astfel de canal va fi, pentru $m = n$, dată de relația

Transmisia datelor

$$C = \log n + (1-p) \log(1-p) + (n-1) \cdot \frac{p}{n-1} \log \frac{p}{n-1} = \log n + (1-p) \log(1-p) + p \log - p \log(n-1) \quad (1.57)$$

1.5.1.1 Tipuri caracteristice de canale discrete utilizate în transmisia de date

În echipamentele de transmisie de date la care, în majoritatea cazurilor, se transmit simboluri binare, canalul cel mai des folosit este *canalul binar simetric* (CBS), reprezentat în schema din figura 1.5:

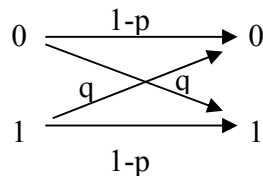


Fig.1.5 Canal binar simetric

și caracterizat de matricea de zgomot

$$\pi = \begin{pmatrix} 1-p & q \\ q & 1-p \end{pmatrix}, \quad q = \frac{p}{m-1} \Big|_{m=2} = p \quad (1.58)$$

Există, deci, aceeași probabilitate ca un simbol binar de intrare să apară la ieșirea canalului sub forma 1 sau 0.

Capacitatea acestui canal este

$$C_{CBS} = 1 + (1-p) \log(1-p) + p \log p \quad (1.59)$$

Viteza de transmitere a informației pe un canal discret V_s este inferioară vitezei medii de transmitere a informației către sursă, v_s

$$V_s = H(x) + v_s \quad (1.60)$$

deoarece apar erori pe parcursul canalului.

În acest context, apare necesară definirea *debitului mediu* al transmisiei pe canal

$$D_t = [H(x) - H(x/y)] \cdot V_s = I(x, y) \cdot V_s \quad [\text{bit/s}] \quad (1.61)$$

Aplicația 1.4

Să se calculeze capacitatea și debitul mediu pentru un canal binar simetric care emite simboluri echiprobabile cu $v_s = 1000 \text{ simbol/s}$, dacă probabilitatea de recepție eronată este $p = 0.1$ și $p = 0.4$.

Transmisia datelor

Entropia sursei este $H(x) = -\frac{1}{2} \log \frac{1}{2} - \frac{1}{2} \log \frac{1}{2} = 1 \text{ bit} / \text{ simbol}$

Debitul sursei rezultă $V_s = v_s \cdot H(x) = 1000 \text{ bit} / \text{ s}$.

Informația medie se obține $I(x, y) = H(x) - H(x, y) = \begin{cases} 0.531, & p = 0.1 \\ 0.029, & p = 0.4 \end{cases}$

Debitul mediu pe canal se calculează

$D_t = I(x, y) \cdot v_s \rightarrow D_t = \begin{cases} 531 \text{ bit}, & p = 0.1 \\ 29 \text{ bit}, & p = 0.4 \end{cases}$

Capacitatea canalului $C = \begin{cases} 0.531 \text{ bit}, & p = 0.1 \\ 0.029 \text{ bit}, & p = 0.4 \end{cases}$

Se poate observa că, în acest caz, capacitatea coincide cu transformarea deoarece

$$\begin{aligned} p(x=0) &= p(y=1) = \frac{1}{2} \\ \left(\begin{aligned} p(y=0) &= p(y=0/x=0) \cdot p(x=0) + p(y=0/x=1) \cdot p(x=1) = \\ (1-p) \cdot \frac{1}{2} + p \cdot \frac{1}{2} &= \frac{1}{2} \end{aligned} \right) \end{aligned}$$

Un alt model de canal utilizat în teletransmisie este *canalul binar cu zonă de anulare*, CBZA. Acest tip de canal prezintă 2 simboluri în alfabetul de intrare: $x_1=0; x_2=1$ și 3 simboluri în alfabetul de ieșire: $y_1=0; y_2=1; y_3=x$ (x – stare indiferentă distinctă), fiind descris de reprezentarea din figura 1.6.

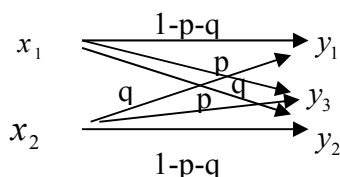


Fig.1.6 Canal binar cu zonă de anulare

și având matricea de zgomot $\pi = \begin{pmatrix} 1-p-q & q & p \\ q & 1-p-q & q \end{pmatrix}$

Pentru CBZA, un caz interesant este cel pentru care $q=0$, adică y_1 nu poate proveni decât din x_1 , iar y_2 nu poate proveni decât din x_2 . În acest caz, $C_{CBZA} = 1-p$.

1.5.1.2 Erori caracteristice canalelor binare

Erorile care apar în procesul transmiterii informației într-un canal binar pot fi:

- singulare;
- grupate în pachete.

Pachetul de erori este o succesiune de simboluri de o anumită lungime, caracterizată printr-un număr de simboluri între prima și ultima eroare din succesiune. Prin analogie, intervalul fără eroare este caracterizat de numărul de simboluri dintre ultima eroare a unui pachet de erori și prima eroare din pachetul de erori următor.

Pentru a caracteriza statistic complet un canal, se iau în considerație următorii parametri:

- probabilitatea de eroare a unui simbol;
- repartiția intervalelor fără erori;
- probabilitatea apariției pachetelor de erori de o anumită lungime;
- repartiția erorilor multiple într-o secvență de o anumită lungime.

Cercetările statistice asupra perturbațiilor ce apar în canalele de transmisie au arătat că, de regulă, erorile nu sunt independente, fiind necesară elaborarea unor modele matematice care să descrie repartiția lor. Un astfel de model trebuie să fie:

- suficient de general pentru a putea fi adaptat la diferite tipuri de canale, oferind posibilitatea modificării parametrilor săi;
- suficient de simplu pentru a nu apela la prea mulți parametri descriptivi.

Dintre modelele matematice care descriu repartiția erorilor pot fi menționate următoarele modelele:

- binomial, Salinger, Elliott, care nu iau în considerație decât erori singulare;
- Gilbert, care ia în considerație fenomenele fizice care duc la apariția erorilor caracterizate prin lanțuri Markov;

Transmisia datelor

- Bennett-Froehlich, Kuhn, care iau în considerație fenomenele fizice care duc la apariția erorilor caracterizate prin pachete de erori;
- Mertz, caracterizate prin lanțuri de pachete de erori.

1.5.2 Canale continue

Referirile se vor face la porțiunea $C-C'$, “porțiunea analogică”, cuprinsă între modulator și demodulator, a sistemului de comunicație prezentat în figura 1.2.

În această porțiune, cea a canalului electric de comunicație, semnalele de intrare sunt funcții continue de timp care ar trebui să fie reproduse identic la ieșirea canalului. Acest fapt nu se întâmplă însă datorită existenței perturbațiilor, conform reprezentării din figura 1.7.

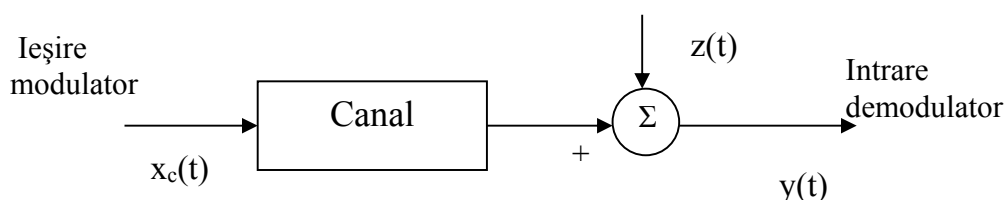


Fig.1.7 Influența perturbațiilor asupra semnalului de ieșire din canal

Pentru schema din figura 1.8, $y(t) = x_c(t) + z(t)$, pentru care $z(t)$ sunt perturbațiile considerate zgomote gaussiene în bandă limitată B , iar $x_c(t)$ este intrarea în canal, considerată o mărime aleatoare, canalul fiind de tip filtru trece-jos, cu banda de trecere B .

În continuare va fi prezentată maniera de apreciere a capacității de transfer a informației pe această porțiune de canal.

Datorită benzii de trecere B , și semnalele transmise au un spectru limitat, în gama $(-B, B)$. Conform teoriei eșantionării (Shannon), un astfel de semnal este complet determinat de un minim de eșantioane separate de intervale $\tau = \frac{1}{2B}$ [s], deci viteza de transmitere a informației este $2B$ simb/s.

Capacitatea canalului este $C = \max I(x, y)$, iar debitul de informație pe canal se obține $D = \frac{C}{\tau} = 2BC$.

Transmisia datelor

În ipotezele:

- semnalul emis este o funcție aleatoare staționară, cu puterea S definită ca un moment de ordin doi

$$S = \overline{x^2} = E[x^2(t)]$$

iar zgomotul gaussian $z(t)$ cu puterea $z = E[z^2(t)]$;

- puterile sunt aceleași cu mediile pătratice temporale $S = \overline{x^2}(t)$;

- zgomotul este independent de semnal $z = \overline{z^2}(t)$

$$y(t) = x(t) + z(t)$$

$$H(y/x) = H(x/x) + H(z/x) = H(z)$$

se obține celebra *formulă Hartley-Tuller-Shannon* ce definește capacitatea temporală, C_τ , sau debitul de transmitere a informației pe canal.

$$C_\tau = D_t = B \log \left(1 + \frac{s}{z} \right) \quad [\text{bit/s}], \quad (1.62)$$

unde B definește banda de trecere, iar s, z puterile semnalului, respective ale zgomotului.

Formula Hartley-Tuller-Shannon are aplicații practice, chiar dacă se presupune sursa X gaussiană. Ea este foarte utilă pentru că subliniază corelația între banda de trecere și raportul semnal-zgomot (unul dintre acești doi factori crește în detrimentul celuilalt).

De asemenea, formula Hartley-Tuller-Shannon arată că pe un canal având $C < v_s$ (adică capacitatea canalului este mai mică decât viteza sursei) nu este posibilă transmisia fără eroare. Invers, impunând o anumită viteză de transmisie și cunoscând B , se poate calcula raportul s/z minim.

O interpretare concretă a formulei este cea care consideră *informația transmisă discretizată*. Se consideră că zgomotul devine supărător dacă se depășește nivelul unei cuante elementare. Numărul de niveluri discernabile este în acest caz finit și poate fi estimat prin $q = \sqrt{\frac{s+z}{z}}$.

Mai mult, capacitatea canalului nu poate crește oricât, numai prin creșterea benzii B , dacă raportul s/z rămâne același. Capacitatea temporală a unui canal are o limită.

Transmisia datelor

În concluzie

- un canal fără zgomot are capacitatea infinită (concluzie amendată de practică – zgomot există întotdeauna).
- un sistem de comunicație ideal poate fi considerat cel care transmite informație cu debitul $D = B \log\left(1 + \frac{S}{Z}\right)$

Aplicația 1.5 Compunerea unui semnal sinusoidal cu semnal zgomot.

Scrieți un program in Matlab care să reprezinte un semnal sinusoidal cu amplitudinea de 2V, frecvența $f=100\text{Hz}$, faza=0 esantionat cu frecvența $f_{es}=1000\text{Hz}$ peste care se suprapune un semnal uniform distribuit $[-0.25;0.25]$. Să se reprezinte grafic și să se calculeze raportul semnal zgomot al acestui semnal.

Semnalul sinusoidal este de forma:

$$X(t) = A \cdot \sin(2 \cdot \pi \cdot f \cdot t + \text{faza}) = A \cdot \sin(2 \cdot \pi \cdot f \cdot t)$$

deoarece faza=0, unde A-amplitudinea semnalului sinusoidal, f-frecvența semnalului, t-timpul, $\pi=3,14$

Raportul semnal-zgomot - se exprimă de regula în decibeli[dB] și este calculat cu ajutorul relației:

$$R_{sz}[dB] = 10 \lg(P_{\text{semnal}}/P_{\text{zgomot}})$$

unde P_{semnal} reprezintă puterea semnalului, iar P_{zgomot} reprezintă puterea zgomotului

%Programul in Matlab

```
amp=2; fes=1000; f=100; n=200; a=0.25
%definirea variabilelor amp-amplitudinea, fes-
frecv.esantionare, f-frecv, a-ampl.semnalului uniform
distribuit, n=nr.esantioane
rsz=10*log10((amp^2/2)/((2*a)^2/12))
%calculul raportului semnal zgomot, log10- functie
matlab pentru functia matem lg
t=(0:n-1)/fes
sig1=2*sin(2*pi*100*t)
```

Transmisia datelor

```
%definirea semnalului sinusoidal
sig2=(2*a*rand(size(t))-a);
%definirea zgomotului
sig=sig1+sig2;
%compunerea semnalelor
plot(t,sig) %trasarea graficului
title ('Sinusoida având zgomot')
%titlul reprezentarii grafice
xlabel('t[s]')
%etichetare axa Ox
ylabel('Amplitudinea[V]')
%etichetare axa Oy
grid on
%trasare retea grafic
```

Dupa rularea programului graficul trasat cu functia *plot* este de forma reprezentata in figura 1.8.

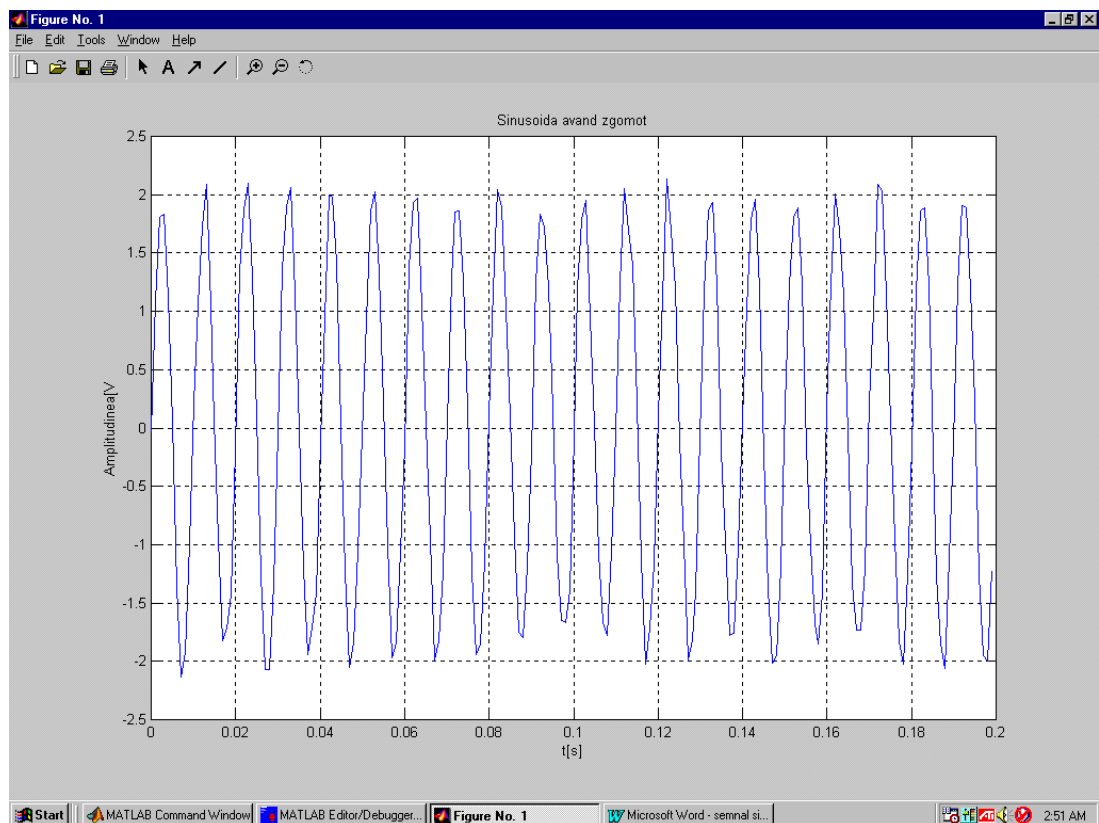


Fig.1.8. Reprezentare grafica semnal sinusoidal

Transmisia datelor

a) Reprezentare grafică a semnalului sinusoidal eşantionat

```
%definirea variabilelor amp-amplitudinea, fe-  
frecv.esantionare, f-frecv, a-ampl.es, n=nr es  
y='Raportul semnal zgomot este egal cu:'  
%afisare mesaj inainte de obtinerea valorii raportului  
semnal-zgomot  
rsz=10*log10(amp^2/2/(2*a)^2/12)  
%calculul raportului semnal zgomot, log10 functie matlab  
pentru fctia matem lg  
z='Esantionarea semnalului:'  
%afisare mesaj  
t=(0:n-1)/fes  
sig=2*sin(2*pi*100*t)  
%definirea semnalului sinusoidal  
plot(t, sig)  
%trasarea graficului  
title('Sinusoida esantionata')  
%titlul reprezentarii grafice  
xlabel('t[s]')  
%etichetare axa Ox  
ylabel('Amplitudinea[V]')  
%etichetare axa Oy  
grid on  
%trasare retea grafic
```

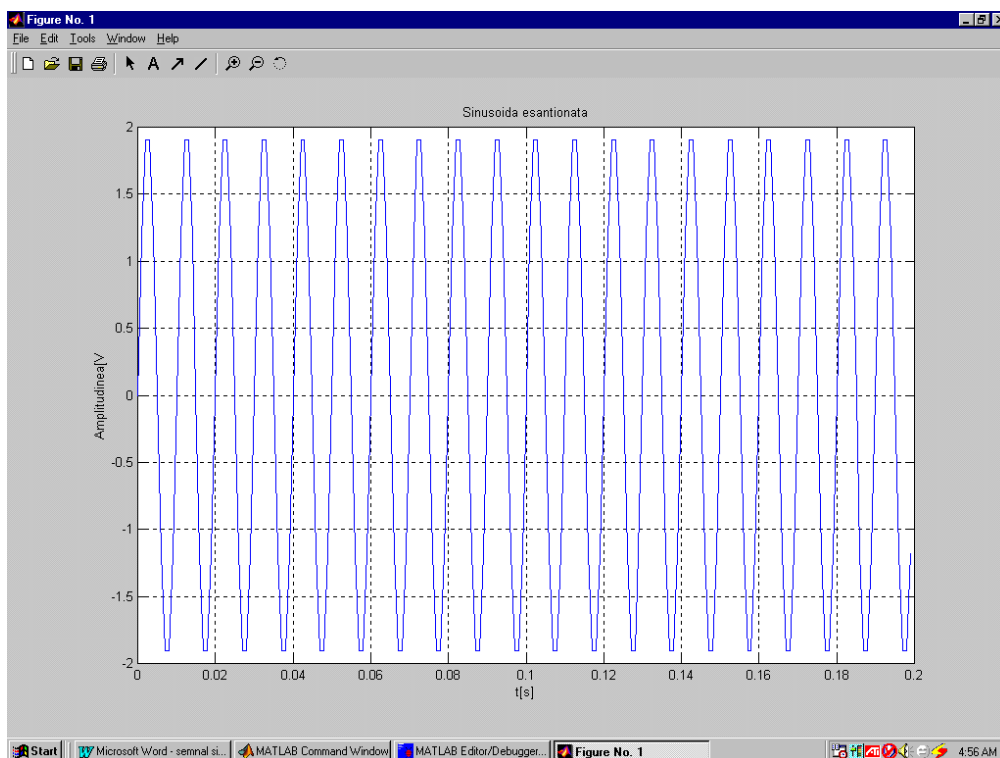


Fig.1.9. Reprezentare grafica semnal sinusoidal esantionat

Transmisia datelor

b) Reprezentare grafică a zgomotului esantionat

```
amp-amplitudinea, fe-frecv.esantionare, f-frecv, a-  
ampl.es, n=nr es  
y='Raportul semnal zgomot este egal cu:' %afisare mesaj  
inainte de obtinerea valorii raportului semnal-zgomot  
rsz=10*log10(amp^2/2/(2*a)^2/12) %calculul raportului  
semnal zgomot, log10 functie matlab pentru fctia matem lg  
z='Esantionarea semnalului:' %afisare mesaj inainte de  
esantionarea celor 2 semnale  
t=(0:n-1)/fes  
sig=2*a*rand(size(t))-a %definirea zgomotului  
plot(t, sig) %trasarea graficului  
title ('Esantionarea zgomotului') %titlul reprezentarii  
grafice  
xlabel('t[s]') %etichetare axa Ox  
ylabel('Amplitudinea[V]') %etichetare axa Oy  
grid on %trasare retea grafic
```

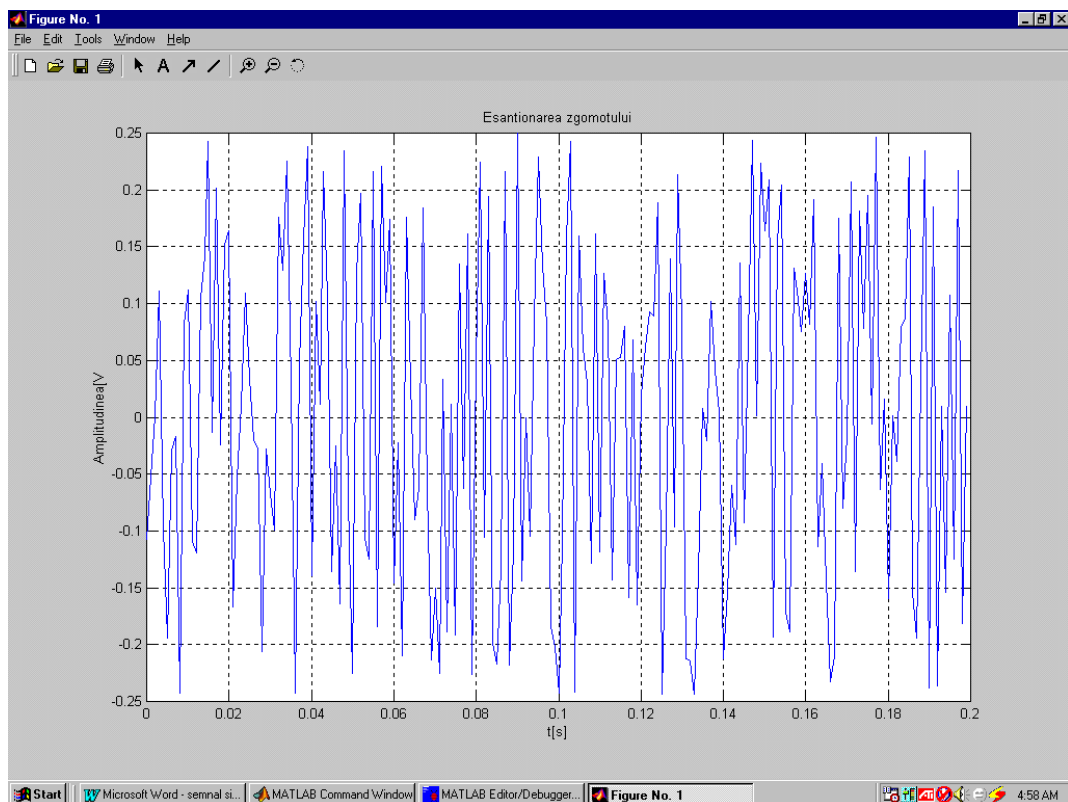


Fig.1.9. Reprezentare grafica zgomot esantionat

Transmisia datelor

Aplicația 1.6

Se cere raportul $\left(\frac{S}{Z}\right)_{\min}$ necesar pentru a transmite informația cu viteza 10^4 [bit / s] pe un canal cu $B_1 = 3000\text{Hz}$, $B_2 = 10\text{kHz}$.

Din formula Hartley-Tuller-Shannon se calculează succesiv

$$\left(\frac{S}{Z}\right)_1 = 9, \left(\frac{S}{Z}\right)_2 = 1$$

Rezultă de aici că restrângerea benzii de la 10 kHz la 3 kHz necesită o creștere de nouă ori a puterii semnalului.

Caracteristici ale canalelor continue de comunicație

Un canal ideal din punct de vedere al transmisiei unui semnal electric, de exemplu o mărime $u_1(t)$, ar trebui să aibă o funcție de transfer liniară, astfel încât la ieșirea canalului să se obțină

$$u_2(t) = k \cdot u_1(t)$$

$$H(\omega) = \frac{U_2(\omega)}{U_1(\omega)} = A \cdot e^{j\phi(\omega)}$$

Aceste caracteristici ideale nu se întâlnesc în practică; apar neliniarități, atenuări și distorsiuni de fază care pot uneori afecta definitiv forma semnalului.

O altă problemă o constituie fenomenele de interferență datorate transmisiei simultane a mai multor semnale pe același suport.

Problema cea mai serioasă în transmisia datelor pe canal rămâne cea a *zgomotelor* datorate mediului fizic. În acest mediu se pot deosebi mai multe tipuri de canale de comunicație, dintre care cele mai importante sunt prezentate în continuare.

1. Circuitele / liniile fizice independente reprezintă categoria cea mai largă de canale. Există numeroase tipuri constructive care pot fi analizate comparativ prin capacitatea de a realiza un anumit număr de legături bidirecționale, tip legătură telefonică:

- pereche de fire libere de cupru sau aliaje, care permit crearea a până la 24 canale telefonice;

Transmisia datelor

- pereche torsadată de fire (fire împletite și izolate pentru reducerea interferențelor);
- cablu telefonic, conținând mai multe perechi de fire torsadate, întregul grup fiind îmbrăcat într-un înveliș protector, câteodată cu ecran protector / masă de protecție (frecvența uzuală la care se ajunge la o astfel de transmisie fiind în gama 268 kHz→1Mhz);
- cablu coaxial, alcătuit dintr-un miez cilindric de cupru și un înveliș conductor cilindric între care se află un material dielectric sau aer. Mai multe cabluri coaxiale pot fi grupate într-un trunchi, permițând crearea a 3600-10800 căi.
- ghiduri de undă, sub forma unor tuburi metalice traversate de unde radio de foarte înaltă frecvență, până la 100MHz. Se pot astfel asigura simultan peste 200000 legături telefonice.

Caracteristicile unor astfel de linii sunt exprimabile sub forma unor constante primare, și anume rezistență, inductanță, conductanță și capacitanță pe unitate de lungime de linie și sub forma unor parametri secundari – coeficient de atenuare, impedanță caracteristică, capacitate.

Dintre parametrii primari, rezistența este cea mai puternic influențată de temperatură, conform relației:

$$R_{\theta} = R_0 \cdot [1 + \alpha \cdot (\theta - \theta_0)]$$

unde R_{θ} , R_0 sunt, respectiv, rezistențele la temperaturile θ și $0^{\circ}C$, iar α este coeficientul de variație al rezistenței cu temperatura.

Pentru cabluri și linii aeriene, caracteristicile primare (pe unitate de lungime tur/retur) la frecvență și rezistență $R_0 = 20^{\circ}C$ sunt prezentate în tabelul 1.4.

2. Canale radio

Sunt mai puțin utilizate în transmisia de date cu caracter industrial, fiind însă deosebit de importante în tehnica telecomunicațiilor. Există mai multe categorii, în funcție de tipul de antenă utilizat, frecvență și mod de propagare:

- cu propagare în linie dreaptă, situație în care antena de emisie și cea de recepție sunt reciproc vizibili, cu frecvențe relative joase 3...30MHz (specifice telegrafiei fără fir sau radiofoniei pe mare);

Transmisia datelor

- microunde radio, folosite în transmisia radio și TV, care ocupă gama de până la 10 GHz. Sunt afectate de perturbații atmosferice, variații de temperatură și umiditate;
- canale cu disipare troposferică, ce folosesc antene de mari dimensiuni ($\phi : 18 - 30\text{mm}$), bazate pe reflecții în troposferă;
- transmisii prin satelit, care asigură transmisii multiple în bandă largă.

Tabelul 1.4

Caract Tip circuit	Dist. între linii [cm]	Diam. sârmă [mm]	Rezist. [Ω/km]	Induct. [mH/km]	Capacitanț ă [$\mu\text{F}/\text{Km}$]	Rezistență de izolație între fire	
						minim [$\text{M}\Omega/\text{km}$]	maxim [$\text{M}\Omega/\text{km}$]
oțel 25-125	60	3	39.1	12.64	0.0049	2	25-125
	20	3	39.1	11.21	0.006	2	25-125
	60	4	22	9.4	0.0051	2	25-125
	20	4	22	0.96	0.0063	2	25-125
cupru	60	4	2.84	2.38	0.0051	2	25-125
	20	4	2.84	1.94	0.0063	2	25-125
aliaj oțel- cupru	60	4	6.44	2.39	0.0051	2	25-125
	20	4	6.44	1.94	0.0063	2	25-125

3. Canale cu fibră optică

Sunt des utilizate în aplicații industriale, datorită certelor avantaje comparativ cu alte tipuri de canale: viteze foarte mari de transmisie 1Mbit/sec-1Gbit/sec, lărgime mare de bandă, dimensiuni și greutate mici, izolație electrică foarte bună, posibilitatea de a lucra în medii puternic perturbate.

Principiul de realizare a transmiției de date pe fibră optică se bazează pe modularea (în amplitudine, frecvență sau polarizare) a fasciculului luminos cu ajutorul semnalului informațional. Ca surse de lumină se utilizează de regulă laserul, mai ales cel cu injecție, care permite modularea la viteze de peste 1 bit/sec prin simpla modulare a curentului de injecție.

Tot ca ghiduri optice se folosesc și fibrele optice cilindrice, atât pentru distanțe mici, cât mai ales pentru distanțe mari.

De exemplu, cu un ghid de undă de 70 mm diametru, având banda de frecvență cuprinsă în gama 30...110 GHz, se pot realiza până la 10^5 canale, pe o distanță de până la 50 km.

2. Modulația semnalelor informaționale

În vederea transmiterii semnalului purtător de informație pe un canal de comunicație, este necesar să fie efectuate operații de prelucrare a acestuia care să asigure compatibilitatea cu caracteristicile canalului și combaterea într-o măsură cât mai mare a perturbațiilor de pe canal.

Principala operație care are loc în acest sens este *modulația*, care realizează modificarea parametrilor semnalului purtător (numit „*purtătoare*”) sub acțiunea semnalului care deține informația, adică semnalul mesaj (numit „*modulator*”). Se obține astfel un „*semnal modulat*”.

Modulația are ca scop deplasarea semnalelor purtătoare de informație din așa-numita bandă de bază în benzi de frecvențe superioare. *Banda de bază* este constituită din frecvențele obișnuite prezente în spectrul unui semnal, spectru situat uzual în zona frecvențelor joase. Transmiterea tuturor semnalelor în banda de bază, adică în forma lor originală, în plus față de faptul că ar aglomera peste măsură zona frecvențelor inferioare, s-ar realiza și cu o eficiență de cele mai multe ori modestă. Evitarea supraaglomerării benzii de bază se mai practică și din cauza consumurilor energetice inacceptabile, dar și datorită concurenței perturbațiilor.

Clasificarea tehnicilor de modulație, în funcție de criteriile specifice, este următoarea:

1. după tipul purtătoarei:

- *modulație armonică*, pentru care purtătoarea este o sinusoidă;

- *modulație de impulsuri*, pentru care purtătoarea este un tren de impulsuri.

2. după tipul semnalului modulator:

- *modulație analogică*, definită de un semnal modulator analogic și tehnici de prelucrare analogice;
- *modulație numerică*, definită de un semnal modulator numeric și tehnici de prelucrare numerice.

2.1. Modulația liniară

Fie un mesaj $m(t)$ și transformata Fourier a acelui semnal, $M(\omega)$, reprezentată în figura 2.1.

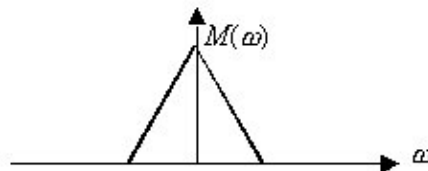


Fig. 2.1. Transformata Fourier a unui semnal mesaj

Multiplicarea semnalului în forma lui temporală cu o sinusoidă

$$A_1 \cos(\omega_1 t + \varphi_1) = \frac{A_1}{2} \left(e^{j(\omega_1 t + \varphi_1)} + e^{-j(\omega_1 t + \varphi_1)} \right) \quad (2.1)$$

produce în domeniul frecvențelor semnalul

$$S(\omega) = \frac{A_1}{2} \left[e^{j\varphi_1} M(\omega - \omega_1) + e^{-j\varphi_1} M(\omega + \omega_1) \right] \quad (2.2)$$

conform unei *teoreme a modulației* cunoscută sub denumirea de convoluție în domeniul frecvențelor. Figura 5.2 ilustrează efectul de translație a spectrului semnalului din banda de bază într-o bandă de aceeași lărgime, centrată pe frecvența sinusoidelor purtătoare.

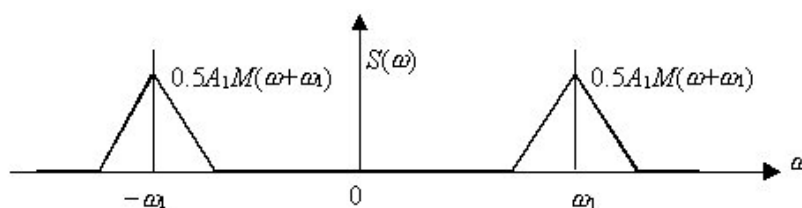


Fig. 2.2. Translația spectrului semnalului mesaj din banda de bază
 Dacă semnalul mesaj $m(t)$ se combină cu purtătoarea conform relației

$$s(t) = A_1 \left[1 + \frac{a}{A_1} m(t) \right] \cos(\omega_1 t + \varphi_1) \quad (2.3)$$

atunci, în domeniul frecvențelor se obține semnalul

$$S(\omega) = \pi A_1 \left[e^{j\varphi_1} \delta(\omega - \omega_1) + e^{-j\varphi_1} \delta(\omega + \omega_1) \right] + \frac{a}{2} \left[e^{j\varphi_1} M(\omega - \omega_1) + e^{-j\varphi_1} M(\omega + \omega_1) \right] \quad (2.4)$$

care are graficul prezentat în figura 5.3, asemănător cu precedentul, dar care pune în evidență și existența purtătoarei în integritatea ei.

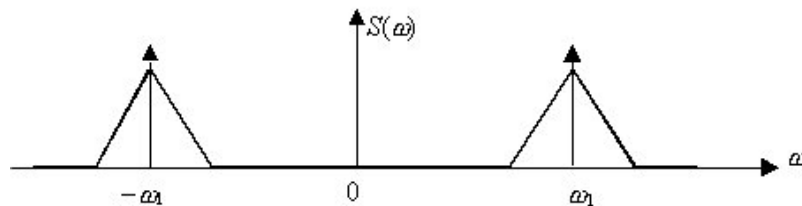


Fig. 2.3. Graficul semnalului modulat

Se observă simetria celor două benzi laterale față de purtătoare.

În cazul unui *semnal modulator sinusoidal*, $m(t) = \cos \Omega t$, *semnalul modulat în domeniul timp* are expresia

$$s(t) = A_1 \left[1 + \frac{a}{A_1} \cos \Omega t \right] \cos(\omega_1 t + \varphi_1) \quad (2.5)$$

și prin relații cunoscute din trigonometrie se poate rescrie sub forma

$$s(t) = A_1 \cos(\omega_1 t + \varphi_1) + \frac{a}{2} \cos[(\omega_1 + \Omega)t + \varphi_1] + \frac{a}{2} \cos[(\omega_1 - \Omega)t + \varphi_1] \quad (2.6)$$

Spectrul semnalului este un spectru de linii și benzile laterale sunt reduse la liniile de frecvențe $\omega \pm \Omega$. Puterile celor trei componente ale spectrului sunt, respectiv, $A_1^2/2$, $a^2/8$, $a^2/8$.

Se definește în continuare un așa-numit *grad de modulație* $\mu = a/A_1$. Numărul μ trebuie să fie între 0 și 1 sau, în procente, între 0 și 100%. Depășirea gradului de modulație de 100% duce la obținerea unui semnal supramodulat și semnalul modulator nu mai poate fi recuperat la recepție.

Modulația în versiunea ultimă este o *modulație de anvelopă*. Anvelopa, înfășurătoarea semnalului modulat, urmărește forma semnalului modulator. Pentru a nu avea o supramodulație cu consecințe grave asupra recuperabilității semnalului modulator la utilizator, factorul care multiplică purtătoarea trebuie să păstreze permanent un semn constant, de exemplu $\left[1 + \frac{a}{A_1} m(t)\right] \geq 0$.

Liniaritatea modulației de amplitudine, fie în prima variantă, prin multiplicare, fie în a doua variantă, cea pe anvelopă, se poate verifica simplu ținând seama de liniaritatea transformării Fourier. Semnalul modulator $m(t)$ multiplicat cu un scalar α se regăsește în semnalul modulat multiplicat cu același scalar α . Suma a două semnale modulatorie $m(t) = m_1(t) + m_2(t)$ se regăsește în semnalul modulat ca sumă a două semnale modulate de semnalele $m_1(t)$ și $m_2(t)$. Pentru modulația produs, de exemplu

$$\begin{aligned} S(\omega) &= \frac{A_1}{2} \left[e^{j\varphi_1} \alpha M(\omega - \omega_1) + e^{-j\varphi_1} \alpha M(\omega + \omega_1) \right] = \\ &= \alpha \frac{A_1}{2} \left[e^{j\varphi_1} M(\omega - \omega_1) + e^{-j\varphi_1} M(\omega + \omega_1) \right] = \alpha S(\omega) \end{aligned} \quad (2.7)$$

și cu o indexare ușor de înțeles

$$\begin{aligned} S(\omega) &= \\ &= \frac{A_1}{2} \left\{ e^{j\varphi_1} [M_1(\omega - \omega_1) + M_2(\omega - \omega_1)] + e^{-j\varphi_1} [M_1(\omega + \omega_1) + M_2(\omega + \omega_1)] \right\} = \\ &= \frac{A_1}{2} \left[e^{j\varphi_1} M_1(\omega - \omega_1) + e^{-j\varphi_1} M_1(\omega + \omega_1) \right] + \\ &+ \frac{A_1}{2} \left[e^{j\varphi_1} M_2(\omega - \omega_1) + e^{-j\varphi_1} M_2(\omega + \omega_1) \right] = S_1(\omega) + S_2(\omega) \end{aligned} \quad (2.8)$$

Perturbațiile care afectează procesul de modulație liniară pot fi, în general, coerente sau necoerente.

Perturbațiile coerente provin din suprapunerea unui alt canal (învecinat) peste canalul de interes. Fie în acest caz semnalul util

$$s_1(t) = A_1 e^{j\omega_1 t} \quad (2.9)$$

și semnalul perturbator

$$s_2(t) = A_2 e^{j\omega_2 t} \quad (2.10)$$

La intrarea în demodulator cele două semnale se aplică aditiv ca un singur semnal, deoarece circuitele premergătoare demodulatorului trebuie să fie și sunt liniare, conform relației

$$s(t) = s_1(t) + s_2(t) = A_1 e^{j\omega_1 t} \left(1 + \frac{A_2}{A_1} e^{j\omega_\Delta t} \right) \quad (2.11)$$

Se consideră că raportul $a = A_2/A_1$ este în valoare absolută mult inferior unității. Paranteza din expresia de mai sus se poate reprezenta grafic prin diagrama cu fazori din figura 5.4.

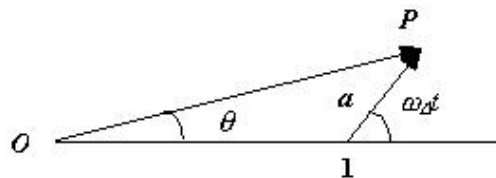


Fig. 5.4. Diagrama fazorială corespunzătoare aplicării aditive a semnalelor

în care $OP = \sqrt{1 + a^2 + 2a \cos \omega_\Delta t}$ și $\theta = \arctan \frac{a \sin \omega_\Delta t}{1 + a \cos \omega_\Delta t}$. Semnalul rezultat se exprimă ca

$$s(t) = A_1 \sqrt{1 + a^2 + 2a \cos \omega_\Delta t} e^{j(\omega_1 t + \theta)} \quad (2.12)$$

cu o amplitudine variabilă periodic cu frecvența diferență $\omega_\Delta = |\omega_2 - \omega_1|$ și cu faza și ea variabilă.

Descompunerea Fourier a amplitudinii, care este o funcție periodică, se prezintă aproximativ conform relației (5.13)

$$A(t) = A_1 \left(1 + \frac{a^2}{4} + \dots \right) + A_1 a \left(1 - \frac{a^2}{8} + \dots \right) \cos \omega_{\Delta} t + \dots \quad (2.13)$$

cu partea de frecvență nulă dependentă de A_1 , cu fundamentală dependentă de $A_2 = A_1 a$. În plus, apar și eventuale armonice, atâtea câte încap în banda de trecere a demodulatorului, limitată natural și uzual de o frecvență Ω . Dacă $|\omega_2 - \omega_1| > \Omega$, atunci nu trece nici măcar fundamentală.

Raportul dintre semnal și perturbație se evaluează în condiția $a \ll 1$, pe baza aproximării

$$A(t) = A_1 \sqrt{1 + a^2 + 2a \cos \omega_{\Delta} t} \approx A_1 \sqrt{1 + 2a \cos \omega_{\Delta} t} \approx A_1 (1 + a \cos \omega_{\Delta} t) \quad (2.14)$$

$$A(t) \approx A_1 + A_2 \cos \omega_{\Delta} t \quad (2.15)$$

Dacă se admite că ambele semnale sunt modulate în amplitudine, $A_1 + m(t)$, $A_2 + n(t)$, și raportul amplitudinilor lor este permanent subunitar, atunci

$$A(t) \approx A_1 + m(t) + A_2 \cos \omega_{\Delta} t + n(t) \cos \omega_{\Delta} t \quad (2.16)$$

și raportul puterilor medii semnal util / semnal perturbator este

$$\frac{S}{P} = \frac{\overline{m^2(t)}}{[A_2 + n(t)]^2 \cos^2 \omega_{\Delta} t} \quad (2.17)$$

Dată fiind independența celor doi factori, media temporală a produsului de la numitor este produsul mediilor, astfel încât raportul semnal/perturbație devine

$$\frac{S}{P} = \frac{\overline{m^2(t)}}{\frac{1}{2} [A_2^2 + \overline{n^2(t)}]} \quad (2.18)$$

Dacă cele două purtătoare au aceeași frecvență, atunci

$$A(t) = A_1 + A_2 \cos \varphi \quad (2.19)$$

luând în considerație numai defazajul φ între cele două purtătoare.

Cu modulații, relația (5.19) devine

$$A(t) = A_1 + m(t) + A_2 \cos \varphi + n(t) \cos \varphi \quad (2.20)$$

și raportul semnal/perturbație se scrie

$$\frac{S}{P} = \frac{\overline{m^2(t)}}{\overline{n^2(t) \cos^2 \varphi}} \quad (2.21)$$

La o diferență între faze de $\pm \pi/2$, raportul este foarte favorabil semnalului util deoarece numitorul din relația (5.21) este foarte mic.

La modulația de produs, cele două semnale modulate au expresiile binecunoscute $s_1(t) = m_1(t) \cos \omega_1 t$ și $s_2(t) = m_2(t) \cos \omega_2 t$. La demodulare, care se realizează prin multiplicarea din nou cu o sinusoidă de frecvență ω_0 și fază φ_0 sunt recuperate semnalele

$$n_1(t) = m_1(t) \cos[(\omega_0 - \omega_1)t + \varphi_0 - \varphi_1] \quad (2.22)$$

$$n_2(t) = m_2(t) \cos[(\omega_0 - \omega_2)t + \varphi_0 - \varphi_2] \quad (2.23)$$

O reglare de frecvență și de fază a oscilatorului de la recepție poate aduce situații avantajoase, respectiv egalizarea frecvenței la recepție cu aceea a semnalului parazit, $\omega_0 = \omega_2$ și aranjarea fazelor, astfel încât diferența de fază $\varphi_0 - \varphi_2 = (2k + 1)\frac{\pi}{2}$ face să dispară complet semnalul parazit.

Transmiterea unei singure benzi laterale

După cum se poate observa, cele două benzi laterale ale unui semnal modulat în amplitudine sunt identice, exceptând o simetrie față de frecvența purtătoare. Ideea suprimării uneia din benzile laterale este cât se poate de firească: banda candidată la eliminare conține aceeași informație ca și cealaltă bandă laterală, consumă o energie uneori prea importantă pentru a repeta transmiterea (în consecință, redundantă) a aceleiași informații și ocupă un spațiu în banda de frecvențe disponibilă care poate fi alocat unei alte căi de transmisie.

Expresiile în domeniul frecvență și în domeniul timp ale semnalelor transmise în sistemul cu bandă laterală unică (BLU) sunt prezentate în continuare. Dacă se elimină banda inferioară se obține

$$S_{1+}(\omega) = \frac{1}{2} e^{j\varphi_1} M_+(\omega - \omega_1) + \frac{1}{2} e^{-j\varphi_1} M_-(\omega + \omega_1) \quad (2.24)$$

iar dacă se elimină banda superioară rezultă

$$S_{1-}(\omega) = \frac{1}{2} e^{j\varphi_1} M_-(\omega - \omega_1) + \frac{1}{2} e^{-j\varphi_1} M_+(\omega + \omega_1) \quad (2.25)$$

cu indicii + sau – asociați cu pozițiile benzilor laterale, la dreapta, respectiv la stânga purtătoarei, în reprezentarea simetrică pe axa reală a frecvențelor.

Prin transformarea Fourier inversă, pentru cazul transmiterii benzii superioare se obține succesiv

$$s_1(t) = \frac{e^{j\varphi_1}}{4\pi} \int_{\omega_1}^{\omega_1 + \Omega_M} M(\omega - \omega_1) e^{j\omega t} d\omega + \frac{e^{-j\varphi_1}}{4\pi} \int_{-\omega_1 - \Omega_M}^{-\omega_1} M(\omega + \omega_1) e^{j\omega t} d\omega$$

$$s_1(t) = \frac{e^{j(\omega_1 + \varphi_1)}}{4\pi} \int_0^{\Omega_M} M(\omega) e^{j\omega t} d\omega + \frac{e^{-j(\omega_1 + \varphi_1)}}{4\pi} \int_{-\Omega_M}^0 M(\omega) e^{j\omega t} d\omega \quad (2.26)$$

$$s_1(t) = \frac{1}{2} \cos(\omega t + \varphi_1) \left[\frac{1}{2\pi} \int_0^{\infty} M(\omega) e^{j\omega t} d\omega + \frac{1}{2\pi} \int_{-\infty}^0 M(\omega) e^{j\omega t} d\omega \right] +$$

$$+ \frac{1}{2} \sin(\omega t + \varphi_1) \left[\frac{1}{2\pi} \int_0^{\infty} jM(\omega) e^{j\omega t} d\omega + \frac{1}{2\pi} \int_{-\infty}^0 -jM(\omega) e^{j\omega t} d\omega \right] \quad (2.27)$$

Cu notația $N(\omega) = jM(\omega)$ pentru $\omega > 0$ și $N(\omega) = -jM(\omega)$ pentru $\omega < 0$ și cu $n(t) = \frac{1}{2\pi} \int_{-\infty}^{\infty} N(\omega)e^{j\omega t} d\omega$, se obține ca factor în expresia semnalului în domeniul timp, *transformata Hilbert* a semnalului $m(t)$, $H\{m(t)\}$, așa încât

$$s_1(t) = \frac{1}{2} m(t) \cos(\omega_1 t + \varphi_1) + \frac{1}{2} H\{m(t)\} \sin(\omega_1 t + \varphi_1) \quad (2.28)$$

și, analog, în cazul transmiterii benzii inferioare

$$s_1(t) = \frac{1}{2} m(t) \cos(\omega_1 t + \varphi_1) - \frac{1}{2} H\{m(t)\} \sin(\omega_1 t + \varphi_1) \quad (2.29)$$

5.2. Modulația exponențială

Fie purtătoarea $E_0 e^{j\omega_0 t}$ multiplicată cu $e^{jk_\phi m(t)}$ sau cu $e^{jk_f \int_0^t m(\tau) d\tau}$. În ambele cazuri exponentul este funcție de mesajul $m(t)$. Numerele k_ϕ și k_f sunt constante ale modulatorului care nu au o importanță deosebită pentru dezvoltarea teoretică următoare, astfel încât atribuirea valorii 1 acestor constante nu împieteează asupra adevărului demonstrațiilor de mai jos.

Cu precizarea anterioară, se pot scrie expresiile semnalelor cu exponentul modulat, respectiv

$$s(t) = E_0 e^{j\omega_0 t} e^{jm(t)} = E_0 e^{j[\omega_0 t + m(t)]} \quad (2.30)$$

$$s(t) = E_0 e^{j\omega_0 t} e^{j \int_0^t m(\tau) d\tau} = E_0 e^{j[\omega_0 t + \int_0^t m(\tau) d\tau]} \quad (2.31)$$

și, în general,

$$s(t) = E_0 e^{j\varphi(t)} \quad (2.32)$$

Pentru tratarea și înțelegerea modulației exponențiale este necesară introducerea noțiunii de *frecvență instantanee*.

Fie semnalul descris de relația (5.32) și semnalul

$$e(t) = E e^{j\omega t} \quad (5.33)$$

Pentru ca cele două semnale să fie aproximativ egale pe un interval de timp foarte scurt Δt în jurul unui punct (ceea ce înseamnă să fie local egale), este necesar ca funcțiile să fie egale și un număr de derivate ale lor să fie de asemenea egale în acel punct. Dezvoltările Taylor ale celor două semnale, de forma

$$s(t + \Delta t) = s(t) + \frac{\Delta t}{1!} s'(t) + \dots \quad (2.34)$$

$$e(t + \Delta t) = e(t) + \frac{\Delta t}{1!} e'(t) + \dots \quad (2.35)$$

produc egalitățile

$$E = E_0, \quad s(t) = e(t), \quad s'(t) = e'(t) \quad (2.36)$$

Relațiile (5.34) și (5.35) exprimă necesitatea ca cele două semnale să fie egale ca amplitudine și să aibă instantaneu aceeași fază. Din relația (5.36) rezultă expresia frecvenței instantanee $\omega = \varphi'(t)$.

La modulația de fază $M \ll \omega_0$ faza se modifică în conformitate cu mesajul

$$\varphi(t) = \omega_0 t + m(t) \quad (2.37)$$

La modulația de frecvență, $M \ll \omega_0$, frecvența este aceea care urmărește mesajul

$$\varphi(t) = \omega_0 t + \int_0^t m(\tau) d\tau \quad \text{și} \quad \varphi'(t) = \omega_i = \omega_0 + m(t) \quad (2.38)$$

Spectrele semnalelor modulate cu mesaje bogate în frecvențe sunt extrem de complicate. Ele pot fi analizate prin studiul cazurilor mai simple când mesajele sunt sinusoidale.

Fie, așadar, mesajul $m(t) = M \cos \Omega t$ cu $M \ll \omega_0$. Se definesc deviațiile maxime de fază $\Delta \varphi = M$ și de frecvență $\Delta \omega = M$. Semnalele modulate se scriu

$$s_\varphi(t) = E_0 e^{j[\omega_0 t + \Delta \varphi \cos \Omega t]} \quad (2.39)$$

$$s_f(t) = E_0 e^{j[\omega_0 t + \frac{\Delta \omega}{\Omega} \sin \Omega t]} \quad (2.40)$$

Numerele $\Delta \varphi$ și $\frac{\Delta \omega}{\Omega}$ se mai numesc *indici de modulație* și sunt notați cu β .

Cheia aprecierii spectrului unui semnal modulat în fază sau în frecvență o constituie următoarea dezvoltare matematică

$$\exp\left[\frac{1}{2}\left(t - \frac{1}{t}\right)z\right] = \sum_{k=-\infty}^{\infty} J_k(z)t^k \quad (2.41)$$

care generează funcțiile Bessel $J_k(z)$, de specia I, de indice întreg k . O înlocuire a variabilei t cu $e^{j\theta}$ produce dezvoltarea

$$e^{jz \sin \theta} = \sum_{k=-\infty}^{\infty} J_k(z)e^{jk\theta} \quad (2.42)$$

Acum, expresia semnalului pentru cazul modulației de frecvență, de exemplu, se poate rescrie sub forma

$$s_f(t) = E_0 e^{j\omega_0 t} e^{j\beta \sin \Omega t} = E_0 e^{j\omega_0 t} \left[\sum_{k=-\infty}^{\infty} J_k(\beta) e^{jk\Omega t} \right] \quad (2.43)$$

și se pot pune în evidență componente de spectru cu frecvențe de forma $\omega = \omega_0 + k\Omega$ cu k întreg.

Figura 5.5. prezintă graficele câtorva funcții Bessel de specia I, pentru indici întregi de la 0 la 7 inclusiv.

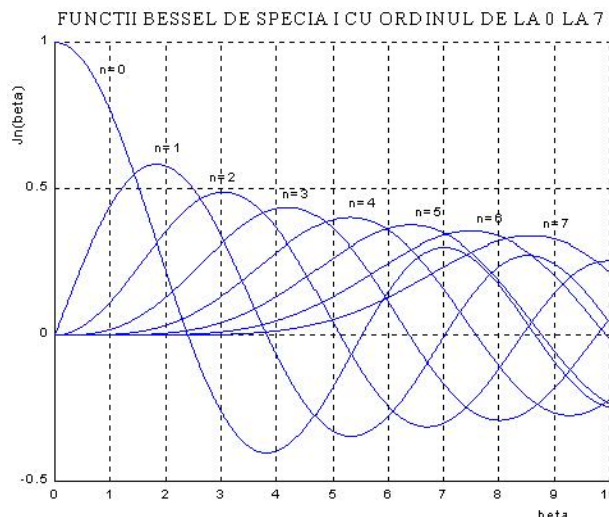


Fig. 2.5. Funcții Bessel de specia I cu ordinul de la 0 la 7

Pe diagrama din figura 5.5. pot fi determinate, pentru un indice n dat, amplitudinile componentelor spectrale pentru $k = 0, 1, \dots, 7$, precum și pentru k

$= -1, -2, \dots, -7$. De exemplu, pentru $\square = 7$, componenta cu $k = 1$ se anulează, iar componenta cu $k = 5$ apare ca fiind cea mai importantă.

Este de reținut că puterea semnalului modulat este constantă, oricare ar fi indicele de modulație. Puterea este distribuită în spectrul de frecvențe astfel încât suma puterilor componentelor este mereu aceeași. Spectrul este teoretic infinit. Sub aspect practic, un număr finit de componente de ordine k inferioare cumulează cvasitotalitatea puterii semnalului. Într-o situație diferită, modulațiile exponențiale ar fi fost inutilizabile: o singură purtătoare modulată în această manieră ar fi ocupat tot spectrul de frecvențe disponibil.

Interferențe

Semnalele

$$s_1(t) = A_1 \exp \left[j \int_0^t \omega_1(\tau) d\tau \right] \quad (2.44)$$

$$s_2(t) = A_2 \exp \left[j \int_0^t \omega_2(\tau) d\tau \right] \quad (2.45)$$

în condițiile $A_1 > A_2$ sau $a = A_2/A_1 < 1$ și perturbare mutuală aditivă se constituie în semnalul

$$s(t) = s_1(t) + s_2(t) = A_1 \exp \left[j \int_0^t \omega(\tau) d\tau \right] \left\{ 1 + a \exp \left[j \int_0^t \omega_\Delta(\tau) d\tau \right] \right\} \quad (2.46)$$

care este modulată concomitent în amplitudine și în fază

$$s(t) = A_1 (1 + a^2 + 2a \cos \alpha) \exp \left[j \int_0^t \omega(\tau) d\tau + j\varphi \right] \quad (2.47)$$

cu $\alpha = \int_0^t \omega(\tau) d\tau$ și cu $\tan \varphi = (a \sin \alpha) / (1 + a \cos \alpha)$.

Faza semnalului interesant se modifică în conformitate cu relația (5.48)

$$\Psi(t) = \int_0^t \omega(\tau) d\tau + \varphi = \omega_0 t + \Phi(t) + \varphi \quad (2.48)$$

și frecvența instantanee, succesiv

$$\omega_i(t) = \omega_1(t) + \frac{d\varphi}{dt} = \omega_0 + \Omega_1(t) + \frac{d\varphi}{dt} \quad (2.49)$$

$$\omega_i(t) = \omega_1(t) + \frac{d\varphi}{dt} = \omega_0 + \Omega_1(t) + a\omega_\Delta(t) \frac{a + \cos \alpha}{1 + 2a \cos \alpha + a^2} \quad (2.50)$$

Pentru semnale nemodulate frecvența este de forma

$$\omega_i(t) = \omega_{10} + \frac{d\varphi}{dt} \quad (2.51)$$

și media temporală a acestei frecvențe este

$$\overleftarrow{\omega}_i(t) = \lim_{T \rightarrow \infty} \frac{1}{T} \int_0^T \omega_i(\tau) d\tau = \omega_{10} + \lim_{T \rightarrow \infty} \frac{\varphi(T) - \varphi(0)}{T} = \omega_{10} \quad (2.52)$$

așadar frecvența instantanee este cea a semnalului mai puternic.

Dacă $a \ll 1$, atunci

$$\Psi(t) = \omega_{10}t + \Phi_1(t) + a \sin \alpha \quad (2.53)$$

și

$$\omega_i(t) = \omega_{10} + \Omega_1(t) + a\omega_\Delta(t) \cos \alpha \quad (2.54)$$

Separat, pentru modulația de fază ($M\Phi$) și pentru modulația de frecvență (MF), semnalul recepționat este, respectiv

$$n_\Phi(t) = \Phi_1(t) + a \sin \int_0^t \omega_\Delta(\tau) d\tau \quad (2.55)$$

$$n_F(t) = \Omega_1(t) + a\omega_\Delta(t) \cos \int_0^t \omega_\Delta(\tau) d\tau \quad (2.56)$$

Dacă deviațiile de frecvență sunt mici, atunci $\omega_\Delta = \omega_{10} - \omega_{20}$ și

$$n_\Phi(t) = \Phi_1(t) + a \sin(\omega_{10} - \omega_{20})t \quad (2.57)$$

$$n_F(t) = \Omega_1(t) + a\omega_\Delta(t) \cos(\omega_{10} - \omega_{20})t \quad (2.58)$$

Diferența de frecvență $\omega_\Delta = \omega_{10} - \omega_{20}$ trebuie comparată cu frecvența maximă ω_M din spectrul semnalului. Dacă $\omega_\Delta > \omega_M$, atunci efectul perturbator poate fi ignorat.

Rapoartele semnal/perturbație sunt:

$$\left(\frac{S}{P}\right)_\Phi = \frac{\overrightarrow{m^2(t)}}{\frac{1}{2}a^2} = 2\frac{A_1^2}{A_2^2}\overrightarrow{m^2(t)} \quad (2.59)$$

$$\left(\frac{S}{P}\right)_F = \frac{\overrightarrow{m^2(t)}}{\frac{1}{2}(\omega_{10} - \omega_{20})^2 a^2} = 2\frac{A_1^2}{A_2^2}\frac{\overrightarrow{m^2(t)}}{\omega_\Delta^2} \quad (2.60)$$

Zgomotele perturbatoare pot fi de impulsuri sau de fluctuații. Cele două tipuri de perturbații necoerente se tratează întrucâtva diferit.

Zgomotele de impulsuri pot fi eliminate prin limitare, deoarece ele afectează mai curând amplitudinea.

Zgomotele de fluctuații care interferă cu semnale modulate exponențial se tratează pornind de la forma

$$z(t) = V(t) \cos[\omega_0 t + \Theta(t)] \quad (2.61)$$

cu amplitudinea $V(t)$ aleatoare, de exemplu gaussiană, cu faza $\Theta(t)$ aleatoare și uniform repartizată pe intervalul $[0, 2\pi]$.

Tratarea este în bună măsură analogă celei din cazul perturbațiilor coerente.

5.3. Modulația secvențelor de impulsuri periodice

Secvențele de impulsuri periodice, conform reprezentării din figura 5.6, sunt caracterizate printr-o amplitudine (A), prin perioada (T)/frecvența lor, printr-o durată (τ) și prin poziția/faza lor. Fiecare dintre aceste caracteristici parametrice este susceptibilă ca prin modulare să transforme secvența de impulsuri într-o secvență purtătoare de informație.

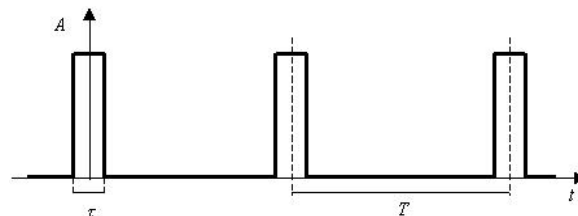


Fig. 2.6. Secvență de impulsuri periodice

Modulația impulsurilor în amplitudine (MIA) este similară modulației liniare a purtătoarelor sinusoidale: amplitudinea se modifică în ritmul semnalului modulator.

Modulația de poziție a impulsurilor (MIP) este analogă într-un fel modulației de fază aplicată purtătoarelor sinusoidale.

Modulația în durată (MID) nu are un echivalent între modulațiile purtătoarelor sinusoidale.

Modulația în frecvență a impulsurilor este posibilă, dar este complicată sub aspect ingineresc și nu aduce avantaje noi față de modulația în poziție.

Fiecare dintre cele trei modalități de modulare a impulsurilor se poate implementa în varianta *uniformă* sau în varianta *naturală*.

În cazul *uniform* eșantionarea semnalului modulator se efectuează la intervale regulate și parametrul modulat urmează variația acelor eșantioane.

În cazul *natural* eșantionarea aceasta nu este supusă regulii uniformității. Diferențele apar mai clar în prezentările specifice date în continuare.

Modulația în amplitudine cu eșantionare uniformă (MIA/U)

Mesajul eșantionat are în domeniul frecvențelor expresia

$$M^*(\omega) = a \sum_{n=-\infty}^{\infty} M(\omega - n\omega_0) \quad (2.62)$$

Din eșantioane trebuie să fie formate impulsuri rectangulare. Se utilizează un așa-numit *filtru de formare* cu funcția de transfer

$$H_f(\omega) = \frac{\sin \omega \frac{\tau}{2}}{\omega \frac{\tau}{2}} e^{-j\omega \frac{\tau}{2}} \quad (2.63)$$

Semnalul obținut este

$$S(\omega) = M^*(\omega)H_f(\omega) = a \frac{\sin \omega \frac{\tau}{2}}{\omega \frac{\tau}{2}} e^{-j\omega \frac{\tau}{2}} \sum_{n=-\infty}^{\infty} M(\omega - n\omega_0) \quad (2.64)$$

cu $M(\omega) = 0$ pentru $|\omega| > (1/2)\omega_0$, conform teoremei de eșantionare.

Pe această expresie se pot face studii detaliate asupra spectrului de frecvențe.

De altfel, la fiecare tip de modulație a secvențelor de impulsuri, scopul scrierii expresiilor în domeniul frecvențelor pentru semnalele modulate are ca scop ultim crearea posibilității de a studia pe spectrul semnalului modalitățile de recuperare a informației.

Modulația în amplitudine cu eșantionare naturală (MIA/N)

Cu notațiile $e_T(t)$ pentru secvența periodică de impulsuri rectangulare de valoare medie a și cu $m(t)$ pentru semnalul modulator, semnalul modulat în amplitudine cu eșantionare naturală are expresia

$$s(t) = m(t)e_T(t) = a \sum_{n=-\infty}^{\infty} \frac{\sin n\omega_0 \frac{\tau}{2}}{n\omega_0 \frac{\tau}{2}} m(t) \cos n\omega_0 t \quad (2.65)$$

În domeniul frecvențelor același semnal se exprimă ca

$$S(\omega) = \frac{1}{2} a \sum_{n=-\infty}^{\infty} \frac{\sin n\omega_0 \frac{\tau}{2}}{n\omega_0 \frac{\tau}{2}} [M(\omega - n\omega_0) + M(\omega + n\omega_0)] \quad (2.66)$$

Pe această expresie, care este diferită de aceea obținută pentru eșantionarea uniformă, se poate studia importanța diferitelor componente ale spectrului.

Modulația în poziție cu eșantionare uniformă (MIP/U)

Ca și la modulația de fază/frecvență a purtătoarelor sinusoidale, pentru simplificarea și esențializarea discuției, se consideră că semnalul mesaj este sinusoidal

$$m(t) = A \cos \omega_m t \quad (2.67)$$

Poziția impulsurilor se modifică în conformitate cu relația

$$p \sin nT, \quad p = kT \quad (2.68)$$

Suprapunerea a două impulsuri succesive este evitată dacă $p < T/2$.

Se consideră următoarea secvență de impulsuri T periodică, cu pozițiile modificate conform eșantioanelor semnalului mesaj prelevate uniform

$$d(t) = aT \sum_{n=-\infty}^{\infty} \delta(t - nT + \Delta p \sin \Omega nT) \quad (2.69)$$

În domeniul frecvențelor acest semnal este

$$D(\omega) = aT \sum_{n=-\infty}^{\infty} \int_{-\infty}^{+\infty} \delta(t - nT + \Delta p \sin \Omega nT) e^{-j\omega t} dt = aT \sum_{n=-\infty}^{\infty} e^{-j\omega(nT - \Delta p \sin \Omega nT)} \quad (2.70)$$

Dar, conform unei discuții purtate la modulația de fază/frecvență a purtătoarelor sinusoidale, $e^{j\omega \Delta p \sin \Omega nT} = \sum_{m=-\infty}^{\infty} J_m(\omega \Delta p) e^{jmn\Omega T}$, deci

$$D(\omega) = aT \sum_{n=-\infty}^{\infty} \sum_{m=-\infty}^{\infty} J_m(\omega \Delta p) e^{-j\omega nT} e^{jmn\Omega T} = aT \sum_{m=-\infty}^{\infty} J_m(\omega \Delta p) \sum_{n=-\infty}^{\infty} e^{j(m\Omega - \omega)nT} \quad (2.71)$$

Fie funcția auxiliară periodică de perioada neprecizată, $F(u)$

$$F(u) = \sum_{n=-\infty}^{\infty} \delta(u - n\omega_0) = \sum_{n=-\infty}^{\infty} C_n e^{jn \frac{2\pi}{\omega_0} u} \quad (2.72)$$

Coeficienții Fourier ai acestei funcții sunt

$$C_n = \frac{1}{\omega_0} \int_{-\frac{\omega_0}{2}}^{\frac{\omega_0}{2}} F(u) e^{-jn \frac{2\pi}{\omega_0} u} du = \frac{1}{\omega_0} \int_{-\frac{\omega_0}{2}}^{\frac{\omega_0}{2}} \delta(u) e^{-jn \frac{2\pi}{\omega_0} u} du = \frac{1}{\omega_0} \quad (2.73)$$

așadar

$$F(u) = \sum_{n=-\infty}^{\infty} \delta(u - n\omega_0) = \sum_{n=-\infty}^{\infty} \frac{1}{\omega_0} e^{jn \frac{2\pi}{\omega_0} u} \quad (2.74)$$

Dacă $u = mT$, atunci

$$F(m\Omega - \omega) = \sum_{n=-\infty}^{\infty} \delta(m\Omega - \omega - n\omega_0) = \frac{T}{2\pi} \sum_{n=-\infty}^{\infty} e^{j(m\Omega - \omega)nT} \quad (2.75)$$

și printr-o substituție se obține

$$D(\omega) = 2\pi a \sum_{n=-\infty}^{\infty} \sum_{m=-\infty}^{\infty} J_m(\omega \Delta p) \delta(m\Omega - \omega - n\omega_0) \quad (2.76)$$

După trecerea prin filtrul de formare se obține

$$S(\omega) = D(\omega)H_f(\omega) = 2\pi a \frac{\sin \omega \frac{\tau}{2}}{\omega \frac{\tau}{2}} e^{-j\omega \frac{\tau}{2}} \sum_{n=-\infty}^{\infty} \sum_{m=-\infty}^{\infty} J_m(\omega \Delta p) \delta(m\Omega - \omega - n\omega_0) \quad (2.77)$$

și din nou se crează posibilitatea studiului comparativ al componentelor din spectrul semnalului modulat.

Modulația în poziție cu eșantionare naturală (MIP/N)

Fie semnalul $i(t)$, cu $u(\square)$ semnalul treaptă unitate

$$i(t) = \frac{d}{dt} \sum_{n=-\infty}^{\infty} u(\theta_n) \quad (2.78)$$

și fie mesajul

$$m(t) = \square \sin \square t \quad (2.79)$$

și $\square p = k\square$, $\theta_n = t - nT + \Delta p \sin \Omega t$. Salturile treaptă apar la $\square_n=0$, adică la momentele definite de relația $t_n = nT - \Delta p \sin \Omega t_n$. Eșantionarea este naturală, deplasarea impulsului depinde de eșantionul la momentul t_n .

Se mai poate scrie

$$i(t) = aT \sum_{n=-\infty}^{\infty} \frac{du(\theta_n)}{d\theta_n} \frac{d\theta_n}{dt} = aT \sum_{n=-\infty}^{\infty} \delta(\theta_n) \frac{d\theta_n}{dt} \quad (2.80)$$

$$\begin{aligned}
 i(t) &= aT \sum_{n=-\infty}^{\infty} \delta(t - nT + \Delta p \sin \Omega t)(1 + \Delta p \Omega \cos \Omega t) = \\
 &= a(1 + \Delta p \Omega \cos \Omega t) \sum_{n=-\infty}^{\infty} e^{jn\omega_0(t + \Delta p \sin \Omega t)} = a(1 + \Delta p \Omega \cos \Omega t) \sum_{n=-\infty}^{\infty} e^{jn\omega_0 t} \sum_{m=-\infty}^{\infty} J_m(n\omega_0 \Delta p) e^{jm\Omega t} = \\
 &= a \sum_{n=-\infty}^{\infty} \sum_{m=-\infty}^{\infty} J_m(n\omega_0 \Delta p) \left(e^{j(n\omega_0 + m\Omega)t} + \frac{\Omega \Delta p}{2} e^{j[n\omega_0 + (m-1)\Omega]t} + \frac{\Omega \Delta p}{2} e^{j[n\omega_0 + (m+1)\Omega]t} \right) \\
 (2.81)
 \end{aligned}$$

Semnalul $i(t)$ în domeniul frecvențelor este

$$\begin{aligned}
 I(\omega) &= a \sum_{n=-\infty}^{\infty} \sum_{m=-\infty}^{\infty} J_m(n\omega_0 \Delta p) \cdot \left\{ \delta(\omega - n\omega_0 - m\Omega) + \right. \\
 &\quad \left. + \frac{\Omega \Delta p}{2} \delta[\omega - n\omega_0 - (m-1)\Omega] + \frac{\Omega \Delta p}{2} \delta[\omega - n\omega_0 - (m+1)\Omega] \right\} \\
 (2.82)
 \end{aligned}$$

Prin multiplicarea cu funcția de transfer a filtrului de formare rezultă semnalul $S(\square)$, spectrul semnalului modulat. Studiul componentelor spectrului este acum deplin posibil.

Modulația în durată cu eșantionare uniformă și cu eșantionare naturală (MID/U și MID/N)

Fie semnalul

$$g(t) = i(t) - \square_T(t - \square_0) \quad (2.83)$$

Atunci, semnalul $s(t)$ din relația (5.84) este modulat în durată.

$$s(t) = \int_{-\infty}^t g(t) dt \quad (2.84)$$

Dacă se uzează de perechile Fourier $i(t) \Leftrightarrow I(\omega)$ și $\delta_T(t - \tau_0) \Leftrightarrow \Delta(\omega)$, atunci

$$S(\omega) = \frac{1}{j\omega} G(\omega) = \frac{1}{j\omega} [I(\omega) - \Delta(\omega)] \quad (2.85)$$

$$\Delta(\omega) = \int_{-\infty}^{+\infty} \delta_T(t - \tau_0) e^{-j\omega t} dt = 2\pi a e^{-j\omega \tau_0} \sum_{n=-\infty}^{\infty} \delta(\omega - n\omega_0) \quad (2.86)$$

Acum, pentru eşantionarea *uniformă*, adică pentru $\tau = \tau_0 - \Delta\tau \sin\Omega nT$, rezultă

$$I(\omega) = 2\pi a \sum_{n=-\infty}^{\infty} \sum_{m=-\infty}^{\infty} J_m(\omega \Delta\tau) \delta(m\Omega - \omega - n\omega_0) \quad (2.87)$$

$$S(\omega) = 2\pi \frac{a}{j\omega} \sum_{n=-\infty}^{\infty} \left[\sum_{m=-\infty}^{\infty} J_m(\omega \Delta\tau) \delta(m\Omega - \omega - n\omega_0) - e^{-j\omega \tau_0} \delta(\omega - n\omega_0) \right] \quad (2.88)$$

Pentru eşantionarea *naturală*, $\tau = \tau_0 - \Delta\tau \sin\Omega t$ și

$$S(\omega) = 2\pi \frac{a}{j\omega} \frac{1}{T} \sum_{n=-\infty}^{\infty} \left\{ \sum_{m=-\infty}^{\infty} J_m(n\omega_0 \Delta\tau) \left[\delta(\omega - n\omega_0 - m\Omega) + \frac{\Omega \Delta\tau}{2} \delta[\omega - n\omega_0 - (m-1)\Omega] + \frac{\Omega \Delta\tau}{2} \delta[\omega - n\omega_0 - (m+1)\Omega] \right] - e^{-j\omega \tau_0} \delta(\omega - n\omega_0) \right\} \quad (2.89)$$

Tabloul distribuțiilor spectrale este acum complet. Pentru toate tipurile uzuale de modulație a secvențelor periodice de impulsuri rectangulare, pe expresiile obținute, se pot observa elemente cu semnificație inginerescă. De exemplu, în unele cazuri semnalele modulatorie pot fi recuperate prin simpla filtrare *trece-jos*. Pe relațiile stabilite se pot observa de asemenea distorsiunile semnalelor mesaj la demodulare.

5.4. Modulația diferențială

Modulația diferențială (delta) este gândită ca un mijloc de transmitere nu a semnalului însuși ci a sensului în care semnalul (analogic) se modifică într-un interval finit de timp. Modificările pot fi de creștere sau de scădere și transmiterea este binară, un exemplu putând fi unitatea pentru creștere, zero pentru scăderi, ceea ce este o alegere cât se poate de naturală.

Pentru implementarea modulației diferențiale se crează un semnal $g(t)$ care variază în trepte egale și care urmărește semnalul $m(t)$. În acest context, se spune că primul semnal este *aservit* celui din urmă. Semnalul $g(t)$ are forma

$$g(t) = g_0 + \sum_{n=0}^{\infty} \Delta_n u(t - n\tau) \quad (2.90)$$

în care $u(t)$ este funcția treaptă unitară, g_0 este o constantă și $\Delta_n = \pm\Delta$, adică poate lua valori negative sau pozitive, dar de amplitudine fixă Δ . La intervale regulate de timp, la momente discrete nT , cele două funcții/semnale se compară. Dacă $m(nT) > g(nT)$, atunci $\Delta_n = +\Delta$, dacă $m(nT) < g(nT)$, $\Delta_n = -\Delta$.

Decodarea se realizează prin integrarea semnalului, de exemplu cu un circuit RC simplu sau multiplu.

Mărimea cuantelor Δ este legată de intervalul de comparare T prin relația

$$\left| \frac{dm(t)}{dt} \right|_{\max} \leq \frac{\Delta}{T} \quad (2.91)$$

Dacă semnalul $m(t)$ variază mai rapid decât permite relația de mai sus, atunci semnalul $g(t)$ nu mai poate urmări semnalul căruia îi este aservit.

Variante posibile de implementare a modulației diferențiale sunt prezentate în figura 2.7.

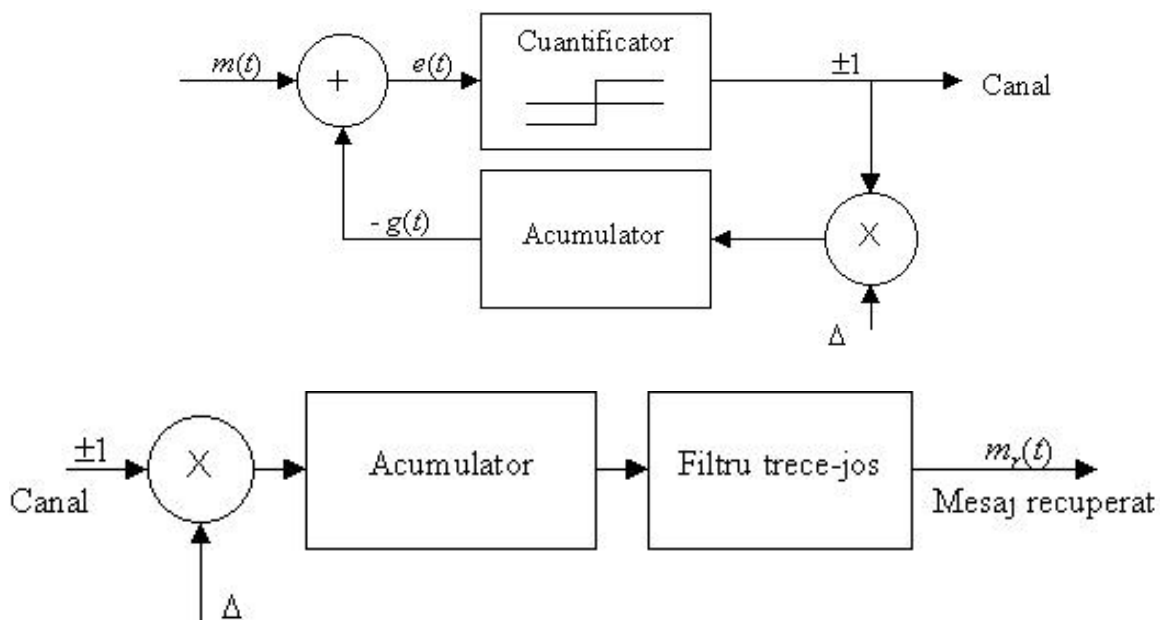


Fig.2.7. Variante de implementare a modulației diferențiale

Efectul cuantificării

Eșantionarea mesajului se face conform relației

$$m(t) = \sum_{k=-\infty}^{\infty} m\left(\frac{k}{2w}\right) \frac{\sin 2\pi w\left(t - \frac{k}{2w}\right)}{2\pi w\left(t - \frac{k}{2w}\right)} \quad (2.92)$$

cu regula cunoscută de eșantionare care ia în considerație lărgimea spectrului semnalului.

Dacă are loc o cuantificare se transmite de fapt semnalul

$$m_q(t) = \sum_{k=-\infty}^{\infty} m_q\left(\frac{k}{2w}\right) \frac{\sin 2\pi w\left(t - \frac{k}{2w}\right)}{2\pi w\left(t - \frac{k}{2w}\right)} \quad (2.93)$$

care diferă de eșantioanele adevărate conform relației

$$m_q\left(\frac{k}{2w}\right) = m\left(\frac{k}{2w}\right) + \Theta_k q \quad (2.94)$$

cu q mărimea cuantei și \square_k o variabilă aleatoare uniform repartizată pe intervalul $(-0,5, 0,5)$. Așadar, există o eroare de cuantizare care este $e_k = \square_k q$. Cu notația

$$s_k(t) = \frac{\sin 2\pi w\left(t - \frac{k}{2w}\right)}{2\pi w\left(t - \frac{k}{2w}\right)} \quad (2.95)$$

semnalul eroare se scrie

$$e(t) = q \sum_{k=-\infty}^{\infty} \Theta_k s_k(t) \quad (2.96)$$

Puterea medie a zgomotului de cuantificare este

$$\overleftrightarrow{e^2(t)} = q^2 \sum_{k=-\infty}^{\infty} \Theta_k s_k(t) \sum_{j=-\infty}^{\infty} \Theta_j s_j(t) =$$

$$= q^2 \lim_{T \rightarrow \infty} \frac{1}{2T} \sum_{k=-\infty}^{\infty} \sum_{j=-\infty}^{\infty} \Theta_k \Theta_j \int_{-T}^T s(t)s(t)dt \quad (2.97)$$

Dar funcțiile eșantion sunt ortogonale, iar variabilele \square_k , \square_j sunt independente, de medie nulă și de dispersie relativ ușor de calculat. Așadar, energia semnalului eroare este

$$q^2 \lim_{n \rightarrow \infty} \frac{2w}{2n} \sum_{k=-n}^n \Theta_k^2 \frac{1}{2w} = \lim_{n \rightarrow \infty} \frac{1}{2n} \sum_{k=-n}^n \Theta_k^2 \quad (2.98)$$

ultimul fiind un moment centrat de ordinul al doilea egal cu 1/12.

Așadar, în final

$$\overrightarrow{e^2(t)} = \frac{1}{12} q^2 \quad (2.99)$$

5.5. Transmisiuni multiple

Utilizarea multiplă a canalelor de transmitere a informației este un capitol de mare interes în teoria comunicațiilor. Curent, în practică sunt folosite trei tipuri de multiplicare a transmisiunilor:

- Cu diviziunea căilor în fază;
- Cu diviziunea căilor în frecvență;
- Cu diviziunea căilor în timp.

Pentru ca separarea canalelor să fie posibilă, este necesar ca $\int_{-\infty}^{\infty} s_k(t)s_l(t)dt = 0$

pentru $k \neq l$ sau, echivalent, $\int_{-\infty}^{\infty} S_k(\omega)S_l^*(\omega)d\omega = 0$ pentru $k \neq l$, unde $s_k(t)$ și $S_k(\square)$

sunt semnale pereche Fourier transmise pe calea marcată de indicele k . Notăția $S_l^*(\omega)$ este pentru conjugatul semnalului $S_l(\square)$.

Diviziunea căilor în fază

Semnalele

$$s_1(t) = m_1(t) \cos(\omega_0 t + \varphi_0) \quad (2.100)$$

$$s_2(t) = m_2(t) \cos\left(\omega_0 t + \varphi_0 + \frac{\pi}{2}\right) \quad (2.101)$$

sunt ortogonale dacă frecvența maximă din spectrul mesajelor este inferioară frecvenței ω_0 , adică dacă $M_1(\omega) = 0$ și $M_2(\omega) = 0$ pentru $|\omega| \geq \omega_0$.

Într-adevăr

$$\begin{aligned} \int_{-\infty}^{\infty} s_1(t)s_2(t)dt &= \int_{-\infty}^{\infty} m_1(t)m_2(t) \cos(\omega_0 t + \varphi_0) \sin(\omega_0 t + \varphi_0) dt = \\ &= \frac{1}{2} \int_{-\infty}^{\infty} m_1(t)m_2(t) \sin(2\omega_0 t + 2\varphi_0) dt \end{aligned} \quad (2.102)$$

și cu notația $m(t) = m_1(t) \sin(2\omega_0 t + 2\varphi_0)$, se obține

$$M(\omega) = \frac{1}{2} j e^{j2\varphi_0} M_2(\omega - 2\omega_0) + \frac{1}{2} j e^{-j2\varphi_0} M_2(\omega + 2\omega_0) \quad (2.103)$$

Teorema de convoluție în domeniul frecvențelor conduce la

$$\int_{-\infty}^{\infty} m_1(t)m(t)e^{-j\omega t} dt = \frac{1}{2\pi} \int_{-\infty}^{\infty} M_1(\Omega)M(\omega - \Omega)d\Omega \quad (2.104)$$

ceea ce pentru $\omega = 0$ produce un rezultat util și utilizabil

$$\begin{aligned} \int_{-\infty}^{\infty} s_1(t)s_2(t)dt &= \frac{1}{2} \int_{-\infty}^{\infty} m_1(t)m(t)dt = \frac{1}{4\pi} \int_{-\infty}^{\infty} M_1(\Omega)M(-\Omega)d\Omega = \\ &= \frac{1}{8\pi} j \int_{-\infty}^{\infty} [e^{j2\varphi_0} M_1(\Omega)M_2(-\Omega - 2\omega_0) + e^{-j2\varphi_0} M_1(\Omega)M_2(-\Omega + 2\omega_0)]d\Omega \end{aligned} \quad (2.105)$$

Dar spectrul semnalului $M_1(\omega)$ și spectrele oricăruia dintre semnalele $M_2(-\omega - 2\omega_0)$ și $M_2(-\omega + 2\omega_0)$ nu au puncte în care să fie concomitent nenule, de unde verificarea condiției de ortogonalitate.

Ca și în alte cazuri în care faza trebuie să fie riguros controlată, și aici este necesară o sincronizare a oscilatorului local prin transmiterea unei mici reminiscențe a purtătoarei, conform reprezentării din figura 2.8.

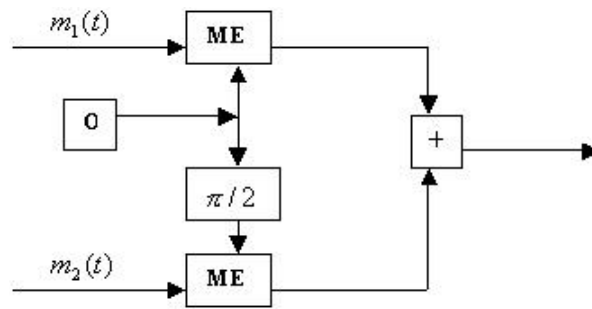


Fig.2.8. Sincronizarea oscilatorului local la diviziunea căilor în fază

În cazul separării căilor în frecvență sau în timp, condițiile de ortogonalitate sunt evident îndeplinite.

Diviziunea căilor în frecvență

Semnalele au spectru limitat. Ele sunt separabile dacă spectrele lor nu se suprapun. Matematic, aceasta înseamnă că

$$\int_{-\infty}^{\infty} S_i(\omega) S_j(\omega) d\omega = 0 \quad (2.106)$$

adică cele două semnale de indici i și j , din mai multe posibile, sunt ortogonale în domeniul frecvențelor. Oricare două canale care îndeplinesc condiția de ortogonalitate de mai sus sunt separabile.

Separarea efectivă la utilizare se realizează cu filtre trece-bandă potrivite.

Diviziunea căilor în timp

Factorul de umplere al secvențelor periodice de impulsuri rectangulare este mult sub unitate. Există, așadar, un timp de absență a impulsurilor în care se poate intercala o altă secvență de impulsuri rectangulare care poate purta alt mesaj. Dacă impulsurile uneia dintre căi nu se suprapun cu cele ale altei căi, atunci cele două căi sunt separabile printr-un sistem de porți adecvat. Într-o exprimare matematică, lipsa suprapunerii este exprimată ca

$$\int_{-\infty}^{\infty} s_k(t) s_l(t) dt = 0 \text{ pentru } k \neq l \quad (2.107)$$

Separarea necesită transmiterea unor semnale de sincronizare de la emițător la receptor, la intervale de timp cu atenție selectate.

3. Codificarea și decodificarea informației

În capitolul anterior au fost descrise procedurile de prelucrare a semnalelor purtătoare de informație în vederea transmiterii pe canale perturbate, cu predilecție, a datelor binare. S-a constatat că posibilitatea de eroare reziduală este dependentă de raportul semnal-zgomot de la intrarea în receptor și de viteza de transmisie a biților. În anumite situații, această probabilitate de eroare nu scade sub limite acceptabile, ceea ce impune recurgerea la utilizarea de coduri detectoare de erori și la tehnici de corecție a acestora.

Detectarea și corectarea erorilor sunt în strânsă legătură cu noțiunea de redundanță care se referă la adăugarea unor biți de control, pe lângă cei purtători de informație, care permit depistarea unor secvențe eronate de biți. Procedurile de codificare/decodificare nu acționează deci la nivel de bit, ci la nivel de mesaj (secvențe de biți, cuvinte, blocuri).

3.1 Codificarea și decodificarea pe canale fără perturbații

3.1.1 Definirea unui cod

Fie o sursă discretă, fără memorie, având alfabetul $S = \{S_1, S_2, \dots, S_N\}$, cu probabilitățile de apariție asociate $p(S_i) = p_i, P = \{p_1, p_2, \dots, p_N\}$ și fie ansamblul finit de semne (caractere, litere) al alfabetului canalului $X = \{x_1, x_2, \dots, x_q\}$, care, în particular pentru cazul binar, este $X = \{0, 1\}$.

Ansamblul de secvențe finite de litere $X_{a_1}, X_{a_2}, \dots, X_{a_n}$ este reuniunea extensiilor lui X

$$X^* = \bigcup_{n \geq 1} X^n, \text{ cu } X^* = \{x_{a_1}, \dots, x_{a_n}\} \quad (3.1)$$

Transmisia datelor

Orice aplicație $S \rightarrow X^*$ se numește *codificarea* ansamblului S prin alfabetul X . Elementul lui X^* , S_i^* , ce corespunde lui S_i , este un *cuvânt de cod*. Lungimea cuvântului de cod este egală cu numărul de litere care îl formează.

Totalitatea cuvintelor de cod constituie *codul* lui S , cu mențiunea că X^* poate conține și combinații care nu aparțin codului, numite *cuvinte fără sens*. Altfel spus, *un cod este o corespondență biunivocă între mulțimea mesajelor sursă și o mulțime de cuvinte de cod*, astfel încât un text constituit dintr-o secvență de mesaje $m_j = \{S_{i_1}, S_{i_2}, \dots, S_{i_k}\}$ este codificat printr-o secvență de cuvinte de cod, cu sens $m_j^* = \{S_{i_1}^*, S_{i_2}^*, \dots, S_{i_k}^*\}$

În replică, operația de *decodificare* (decodare) implică posibilitatea de a separa cuvintele de cod în mod unic, ceea ce se poate scrie $(\forall) S_i \neq S_j \Rightarrow S_i^* \neq S_j^*$, funcția $S \rightarrow X^*$ să fie injectivă. În aceste condiții, codul este *regulat* sau *nesingular*.

Dar regularitatea nu este suficientă pentru înlăturarea ambiguității. De exemplu, fie secvențele $S_1 = 0, S_2 = 10, S_3 = 01$. Un text codificat 010 poate fi interpretat atât ca $S_1 S_2$, cât și ca $S_3 S_1$. Pentru a distinge fără ambiguitate un text trebuie ca fiecărei succesiuni de cuvinte să-i corespundă și o succesiune unică de litere. Codurile de acest tip se numesc *unic decodabile/descifrabile*. Printre condițiile suficiente care asigură descifrabilitatea, cele mai importante sunt:

- utilizarea cuvintelor de cod de aceeași lungime (bloc);
- utilizarea unui semn distinct, de separare, între cuvinte.

Există însă și coduri care nu necesită asemenea artificii suplimentare, numite *coduri separabile*. Un exemplu este cel prezentat în tabelul 3.1

Tabelul 3.1

Mesaje	A	B	C	D
S_0	00	0	0	0
S_1	01	10	01	10
S_2	10	110	011	110
S_3	11	1110	0111	111

Codurile exemplificate în tabelul 3.1 sunt definite astfel:

Transmisia datelor

- A. cod ponderat binar natural;
- B. cod care are întotdeauna ultima literă "0";
- C. cod care are întotdeauna prima literă "0";
- D. o variantă a codului B.

În aceste condiții, considerând succesiunea $S_3S_1S_0S_2$ codificată în variantele B și C, aceasta se prezintă sub formele:

B: 111010.0110

C: 011101.0011

În cazul în care se propune descifrarea secvenței până la punct, pentru codul B, succesiunea S_3S_1 este *descifrabilă*, în timp ce pentru codul C, există *ambiguitate*: după S_3 ar putea fi S_2, S_3, S_1 .

Rezultă de aici condiția necesară și suficientă ca un cod să fie *ireductibil* (instantaneu): nici un cuvânt de cod să nu fie prefix al altui cuvânt de cod. Această condiție este cunoscută sub numele de *condiția de prefix*.

Codurile A și B sunt ireductibile, în timp ce codul C nu este ireductibil (nu satisface condiția de prefix).

3.1.2 Criterii de apreciere a unui cod

Deoarece la transmisia mesajelor, costul exploatării unui sistem de transmisie crește liniar cu timpul, un criteriu convenabil de apreciere a unui cod este *lungimea medie a unui cuvânt*

$$\pi = \sum_{i=1}^n p_i \cdot n_i \quad (3.2)$$

cu: p_i – probabilitățile de apariție asociate, $\sum_{i=1}^n p_i = 1$;

n_i – numărul de litere din cuvântul de cod cu indicele i ;

π – este un parametru ce precizează compactitatea codului și este evident că trebuie să fie cât mai mic (pentru $\pi_{\min} \rightarrow$ coduri compacte/cvasioptimale).

Un al doilea criteriu de apreciere a unui cod este prin calculul entropiei sursei, care conduce la determinarea *eficienței codului*

$$\eta = \frac{H}{n \log q} \Big|_{q=2} = \frac{H}{n} \quad (3.3)$$

Exemplul 3.1

Pentru sursa prezentată în tabelul 3.1 se consideră următoarele probabilități de apariție a mesajelor: $p_1 = \frac{1}{2}; p_2 = \frac{1}{4}; p_3 = p_4 = \frac{1}{8}$. Să se determine eficiența fiecărui cod.

Rezolvare

$$\begin{aligned} \text{Entropia sursei } H &= -\sum_1^n p_i \log p_i = \frac{7}{4} \text{ bit} \\ \bar{n}_A &= 2; \quad \bar{n}_B = \frac{15}{8}; \quad \bar{n}_C = \frac{15}{8}; \quad \bar{n}_D = \frac{7}{4} \\ \eta_A &= \frac{7}{8} \left(\frac{7}{4} \cdot \frac{1}{2} \right); \quad \eta_B = \frac{14}{15}; \quad \eta_C = \frac{14}{15}; \quad \eta_D = 1 \end{aligned}$$

Prima teoremă a lui Shannon

Pentru orice sursă omogenă, există un cod ireductibil pentru care lungimea medie a cuvintelor este oricât de apropiată de marginea inferioară.

Interesul practic al acestei teoreme în transmiterea informațiilor se limitează la sistemele la care se dorește să se codifice un număr cât mai mare de texte cu un număr dat de caractere.

3.1.3 Metode de elaborare a codurilor compacte

A. Metoda Shannon

Se consideră dată o listă a mesajelor m_i emise de sursă, cu probabilitățile aferente p_i . Principiul metodei constă în aranjarea mesajelor în ordinea descrescătoare a probabilităților lor de apariție $p_1 \geq p_2 \geq \dots \geq p_N$ și determinarea celor mai mici întregi n_i astfel încât

$$n_i \geq \frac{\log \frac{1}{p_i}}{\log q} \Big|_{q=2(0,1)} \Rightarrow n_i \geq \log \frac{1}{p_i} \quad (3.4)$$

ceea ce conduce la $n_1 \leq n_2 \leq \dots \leq n_N$.

B. Metoda Shannon-Fano

Pentru codificarea binară, în aceleași condiții inițiale ca și în cazul A, metoda constă în gruparea mesajelor în două grupe, cu probabilitățile cumulate cât mai apropiate. Se codifică fiecare grupă cu 0, respectiv 1, apoi se repetă procedura în cadrul fiecărei grupe, până când în fiecare grupă rămân doar două mesaje.

Exemplul 3.2

Pentru setul de mesaje ($s_1, s_2, s_3, s_4, s_5, s_6, s_7, s_8$) cu probabilitățile aferente (0.4, 0.18, 0.1, 0.1, 0.07, 0.06, 0.05, 0.04), maniera de lucru este cea prezentată în figura 3.1.

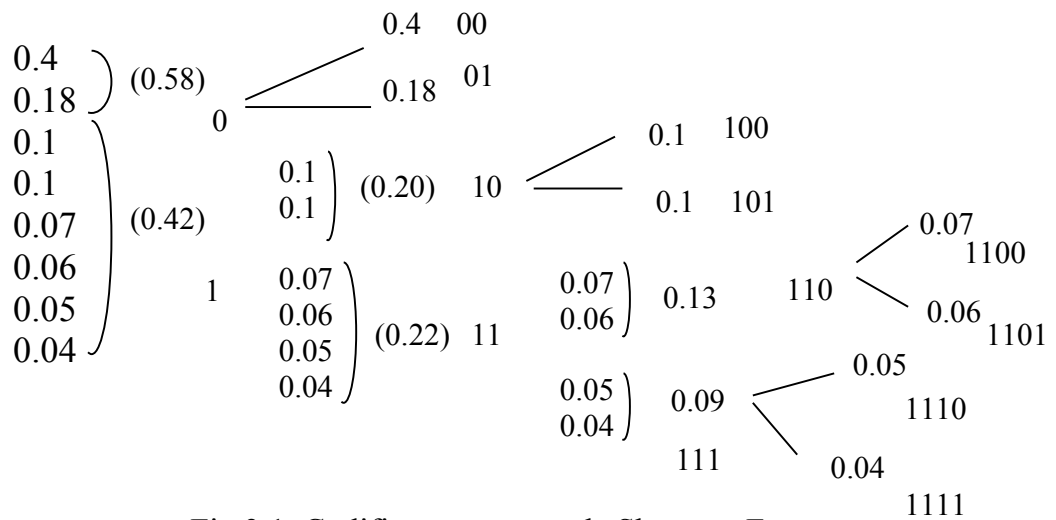


Fig.3.1. Codificarea cu metoda Shannon-Fano

C. Metoda Huffman – varianta Schwartz

Metoda se bazează pe ideea alfabetului Morse și anume, caracterele mai frecvente sunt reprezentate printr-o codificare binară mai scurtă. În plus, nu există separatori, fiind necesar să se respecte condiția de prefix.

În cazul codificării, proprietatea se referă la faptul că într-un cod optimal, la $p_i > p_j$ corespunde $n_i < n_j$ și este, în plus, îndeplinită cerința ca cele mai puțin probabile două mesaje să aibă aceeași lungime. Tehnica de codificare constă în rescrierea tabelului de probabilități, intercalând în ordine descrescătoare suma ultimelor două mesaje – cele mai puțin probabile –, iterația oprindu-se când în tabel rămân numai două mesaje. Combinația de cod se scrie urmărind fiecare grupare în parte și formând codul de la dreapta la stânga.

Transmisia datelor

Codurile obținute pentru fiecare dintre cele 8 mesaje sunt cele prezentate în continuare.

$0.4 \rightarrow 1$
 $0.18 \rightarrow 001$
 $0.1 \rightarrow 011$
 $0.1 \rightarrow 0000$
 $0.07 \rightarrow 0100$
 $0.06 \rightarrow 0101$
 $0.05 \rightarrow 00010$
 $0.04 \rightarrow 00011$

În tabelul 3.2 este prezentată comparativ codificarea setului de 8 mesaje, obținută prin aplicarea metodelor Shannon, Shannon-Fano și Huffman.

Tabelul 3.2

Mesaj	p_i	$\log 1/p_i$	n_i	Shannon	Shannon-Fano	Huffman
S_1	0.4	1.32	2	00	00	1
S_2	0.18	2.47	3	010	01	001
S_3	0.10	3.32	4	0110	100	011
S_4	0.10	3.32	4	0111	101	0000
S_5	0.07	3.83	4	1000	1100	0100
S_6	0.06	4.06	5	10010	1101	0101
S_7	0.05	4.32	5	10011	1110	00010
S_8	0.04	4.64	5	10100	1111	00011

D. Codificarea aritmetică

Dezavantajul algoritmilor pentru compresia datelor care folosesc *arbori Huffman* este acela că fiecare simbol generat de o sursă de informație S este codificat folosind un număr întreg de biți, fapt care duce la apariția unei diferențe mari între lungimea codificării unui șir de simboluri și entropia acestuia, dacă nu se consideră lungimea, în biți, a dicționarului.

Nu există algoritmi care să elimine complet redundanța unei surse de informație deoarece, în primul rând, entropia unui șir de simboluri generat de o sursă este un număr real și bitul este o unitate atomică, și, în al doilea rând, trebuie transmis dicționarul pentru ca informația să poată fi reconstituită.

Transmisia datelor

Cea mai eficientă metodă entropică de compresie a datelor care elimină aproape complet redundanța unei surse de informație este *compresia aritmetică*.

Compresia aritmetică a fost descoperită de către cercetătorii *Peter Elias*, *Jorma J. Rissanen* și *Richard C. Pasco*. Ideea care stă la baza acestei metode de compresie este aceea de a codifica un șir de simboluri folosind un număr real cuprins în intervalul $[0; 1)$. Datorită faptului că această metodă de compresie este entropică sunt necesare probabilitățile p_i ($0 \leq i < m$, unde m este numărul de simboluri pe care le poate genera o sursă de informație S) de apariție ale simbolurilor. Pot fi construite variantele *statică*, *semi-statică* și *dinamică* ale algoritmului de compresie aritmetică.

Este prezentat în continuare modul în care se realizează codificarea unui șir de simboluri generat de o sursă de informație S pentru varianta *statică*. În cazul variantei *semi-statică* probabilitățile se calculează pe baza simbolurilor generate de sursa de informație S , fiind nevoie de două parcurgeri ale șirului de simboluri la fel ca în cazul algoritmului *Huffman*.

Se consideră un interval $[a, b) \subseteq [0; 1)$, $b > a$. Fiecărui simbol care poate fi generat de o sursă de informație S i se atașează un subinterval al lui $[a, b)$ cu proprietatea că lungimea subintervalului corespunzător unui simbol este direct proporțională cu probabilitatea de apariție a simbolului respectiv și oricare două subintervale corespunzătoare a două simboluri distincte nu au puncte de intersecție.

Fie P_i probabilitatea cumulată a simbolului A_i , $P_0 = 0$ și $P_i = p_0 + \dots + p_{i-1}$, $0 \leq i < m$, și fie $l = b - a$ lungimea intervalului $[a, b)$. Din faptul că suma tuturor probabilităților de apariție ale simbolurilor A_i i se va atașa intervalul $[a + l \cdot P_i, a + l \cdot (P_i + p_i))$. Lungimea subintervalului corespunzător unui simbol A_i este egală cu $l \cdot p_i$.

În cazul în care o sursă de informație nu generează toate simbolurile pe care le poate genera, atunci probabilitatea de apariție a unor simboluri poate fi 0 deci, lungimea subintervalului atașate simbolurilor care nu sunt generate este 0, caz în care avem intervale degenerate, și, dacă p_i este 0 și p_{i+1} este diferit de 0, atunci intersecția dintre subintervalele corespunzătoare celor două simboluri este diferită de mulțimea vidă și

nu mai sunt respectate condițiile enunțate mai sus. Dacă se elimină subintervalele de lungime 0, atunci condițiile sunt respectate.

Transmisia datelor

Algoritmul de compresie aritmetică se bazează pe această împărțire a unui interval. Faptul că există intervale degenerare nu va influența funcționalitatea algoritmului, deoarece o sursă de informație nu va genera niciodată simboluri care au probabilitatea de apariție 0.

Algoritmul de codificare constă în alegerea unui subinterval al intervalului $[0; 1)$ corespunzător primului simbol generat de o sursă S și apoi, ca nou interval se consideră subintervalul ales și se alege subintervalul corespunzător celui de-al doilea simbol.

Algoritmul de compresie aritmetică folosit pentru a codifica un șir de simboluri generat de o sursă de informație S este următorul:

- se consideră intervalul care are extremitatea din stânga a și lungimea l ;
- fie p_i probabilitățile de apariție ale simbolurilor care pot fi generate de o sursă de informație S ;
- fie P_i probabilitățile cumulate ale simbolurilor;
- pentru fiecare simbol A_i generat de sursa de informație S execută:
 - $a \leftarrow a + l \cdot P_i$;
 - $l \leftarrow l \cdot p_i$;
- $rezultat \leftarrow a + l/2$.

În ciclul repetitiv prezentat anterior se schimbă intervalul inițial cu subintervalul corespunzător simbolului generat de sursa de informație S . Datorită faptului că intervalele atașate simbolurilor care au probabilitatea de apariție diferită de 0 sunt disjuncte, fiecare simbol este unic determinat de orice număr care aparține subintervalului corespunzător. În teorie se folosește ca interval inițial intervalul $[0; 1)$, deci cu capătul din stânga 0 și lungime 1.

După parcurgerea șirului de simboluri generate de o sursă de informație se transmite un număr real din intervalul $[0; 1)$ care reprezintă codificarea șirului de simboluri. Numărul real trebuie transmis cu o precizie foarte mare. Acest număr este dat, de obicei, de mijlocul ultimului interval calculat cu ajutorul algoritmului prezentat anterior: $a + l/2$. Algoritmul de codificare mai poate fi construit folosind limitele inferioară și superioară ale unui interval în locul limitei inferioare a lungimii intervalului. În acest caz, după linia în care se calculează lungimea intervalului se adaugă linia $b \leftarrow a + l$. Dacă intervalul inițial este $[0; 1)$, atunci precizia cu care trebuie calculată

Transmisia datelor

limita din stânga pentru un simbol cu probabilitatea p_i , $0 \leq i < m$, este de $\lceil -\log_2 p_i \rceil$ biți.

Dacă analizăm modul de construire al numărului real plecând de la intervalul $[0; 1)$, atunci precizia cu care trebuie transmis numărul care reprezintă mijlocul ultimului interval calculat este de $\left\lceil n \cdot \left(\sum_{i=0}^{m-1} p_i \cdot \log_2 p_i \right) \right\rceil + 1$ biți, unde n reprezintă numărul de simboluri

generate de sursa S . Se poate observa foarte ușor că diferența dintre entropia șirului generat de sursa de informație S și numărul mediu de biți necesari transmiterii unui simbol este foarte mică (mai mică de 1 bit).

De exemplu, fie o sursă de informație S care poate genera simbolurile 'a', 'b' și 'c' cu probabilitățile $1/2$, $1/4$ și $1/4$. În figura 3.2. se poate observa modul de codificare a șirului de simboluri 'abac'. Precizia cu care trebuie transmis rezultatul este de 7 biți (rezultatul este $0.3046875 = 0.0100111_2$ ceea ce înseamnă că se transmit biții 0100111, deoarece numărul este cuprins între 0 și 1 și ne interesează doar porțiunea care se află după virgulă).

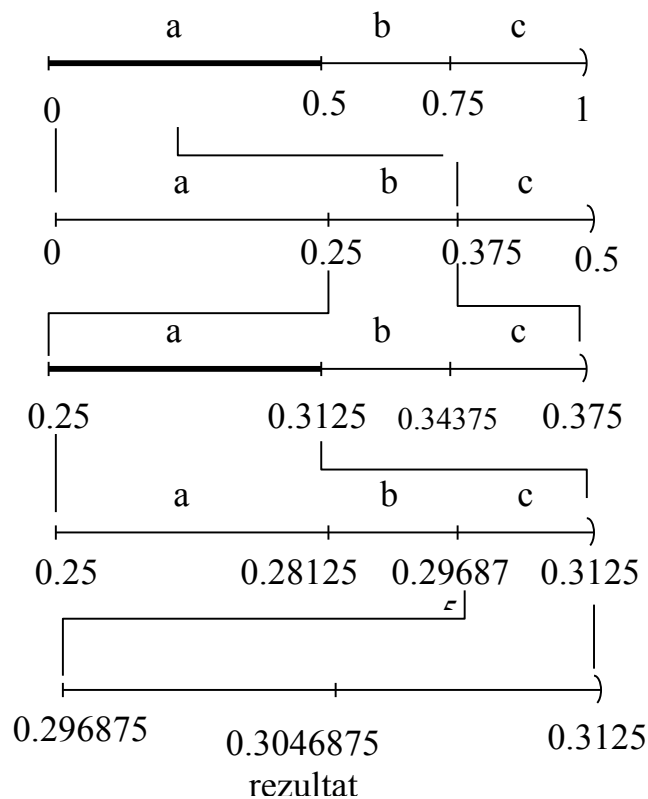


Fig. 3.2.

Transmisia datelor

Pe lângă rezultatul obținut în urma codificării mai trebuie transmis *dicționarul* care este format din probabilitățile de apariție ale simbolurilor care pot fi generate de sursa de informație S .

Motivul pentru care rezultatul îl reprezintă mijlocul ultimului interval calculat, și deci o creștere a preciziei cu un bit, este acela că în practică există situații în care reprezentarea în baza 2 ale celor două limite ale intervalului, folosind aceeași precizie, sunt egale pentru că microprocesoarele existente realizează operații cu numere reale cu o precizie finită de până la 80 de biți.

Din punct de vedere teoretic este suficient ca rezultatul să fie constituit de limita inferioară a ultimului interval găsit, calculată cu precizia de $\left\lceil n \cdot \left(- \sum_{i=0}^{m-1} p_i \cdot \log_2 p_i \right) \right\rceil$ biți, deoarece, bazându-ne pe cele enunțate anterior, un simbol căruia i s-a atașat intervalul $[a; b)$ este unic determinat de orice număr real care aparține intervalului.

Se poate pune întrebarea “*De ce nu se poate lua ca rezultat limita superioară a intervalului corespunzător ultimului simbol codificat?*”.

Răspunsul este acela că limita superioară a intervalului corespunzător ultimului simbol codificat nu aparține intervalului corespunzător simbolului care urmează în ordine lexografică.

Algoritmul de decompresie

Pentru a decodifica un număr real, cuprins între 0 și 1, a cărui lungime în biți se cunoaște, trebuie să avem probabilitățile de apariție a simbolurilor care au fost folosite în procesul de codificare și numărul total n al simbolurilor care au fost codificate.

La începutul procesului de decodificare se consideră intervalul $[a; a+l)$, unde $a=0$ și $l=1$. Fiecărui simbol îi corespunde un subinterval al acestui interval.

În continuare se caută subintervalul căruia îi aparține numărul care trebuie decodificat. După ce s-a găsit acest subinterval se transmite simbolul corespunzător acestuia și noul interval devine cel găsit. Acest pas se execută până în momentul în care am decodificat n simboluri.

Dacă nu se transmite numărul n de simboluri care au fost codificate, în momentul compresiei alfabetului sursei S de informație se poate extinde cu un simbol suplimentar care are semnificația de *sfârșitul*

Transmisia datelor

codificării care se va codifica după ce sursa S nu mai generează simboluri. În concluzie, în momentul în care numărul se va afla în subintervalul corespunzător simbolului de *sfârșit de codificare*, decodificarea se va încheia.

$$\text{rez}=0.3046875$$

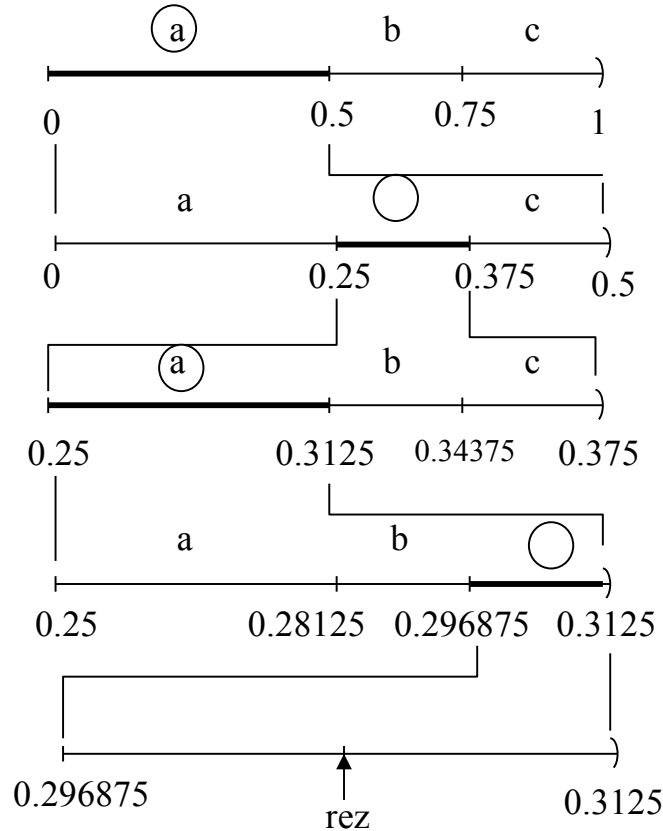


Fig. 3.3.

La începutul procesului de decodificare se consideră intervalul $[a; a+l)$, unde $a = 0$ și $l = 1$. Fiecărui simbol îi corespunde un subinterval al acestui interval.

În continuare se caută subintervalul cărui îi aparține numărul care trebuie decodificat. După ce s-a găsit acest subinterval se transmite simbolul corespunzător acestuia și noul interval devine cel găsit. Acest pas se execută până în momentul în care am decodificat n simboluri.

Dacă nu se transmite numărul n de simboluri care au fost codificate, în momentul compresiei alfabetului sursei S de informație se poate extinde cu un simbol suplimentar care are semnificația de *sfârșitul codificării* care se va codifica după ce sursa S nu mai generează simboluri. În concluzie, în momentul în care numărul se va afla în

Transmisia datelor

subintervalul corespunzător simbolului de *sfârșit de codificare*, decodificarea se va încheia.

În figura 3.3 se poate observa modul de decodificare a numărului 0.3046875 pentru alfabetul format din simbolurile 'a', 'b' și 'c', care au probabilitățile $1/2$, $1/4$ și $1/4$, și numărul de simboluri care au fost codificate $n = 4$.

La primul pas se observă că numărul *rez* aparține subintervalului $[0,0.5)$, subinterval corespunzător simbolului 'a', deci acest simbol se va transmite și noul interval va deveni $[0,0.5)$.

La al doilea pas numărul *rez* aparține subintervalului $[0.25,0.375)$ care corespunde simbolului 'b', acest simbol se va transmite și pe noul interval $[0.25,0.375)$.

La al treilea pas numărul *rez* aparține subintervalului $[0.25,0.3125)$ care corespunde simbolului 'a', acest simbol se va transmite și noul interval este $[0.25,0.3125)$.

La al patrulea pas numărul *rez* aparține subintervalului $[0.296875,0.3125)$ care corespunde simbolului 'c', acest simbol se va transmite și noul interval este $[0.296875,0.3125)$. În acest moment se încheie procesul de decodificare deoarece au fost decodificate $n = 4$ simboluri. În timpul decodificării a fost transmis șirul de simboluri 'abac'.

3.1.4 Concluzii privind compresia datelor

Metodele de compresie a datelor se încadrează în două mari categorii :

- statice;
- dinamice.

O metodă este *statică* dacă fixează corespondența dintre mesaje și cuvintele de cod înainte de începerea codificării și o păstrează pe toată durata ei. Exemplul clasic este cel al codificării prin metoda Huffman, la care corespondența se bazează pe probabilitatea de apariție a mesajelor în secvențe de mesaje (mesajelor mai frecvente le sunt asociate cuvinte de cod mai scurte).

Transmisia datelor

O metodă este *dinamică (adaptivă)* atunci când corespondența dintre mesaje și cuvintele de cod se modifică în timp. Astfel, codificarea Huffman adaptivă actualizează această corespondență pe baza frecvențelor relative de apariție a mesajelor, calculate pe măsura transformării lor. În acest mod, un același mesaj poate fi reprezentat prin cuvinte de cod diferite, după poziția la care respectivul mesaj apare: la începutul șirului de mesaje sau la sfârșitul lui, dacă frecvența sa relativă se modifică pe parcurs.

O măsură a compresiei este *redundanța codului*. Fie o sursă fără memorie

$$S = \{S_1, S_2, \dots, S_n\}$$
$$p(S_i) = p_i, \sum_1^n p_i = 1$$

Alfabetul codului este $\{0,1\}$, cele două simboluri având costuri egale, de transmisie sau de memorare. În aceste condiții, se pot determina:

- măsura informației conținută de un mesaj $(-\log p_i)$;
- entropia sursei $H = -\sum_1^n p_i \log p_i$, care reprezintă conținutul informațional mediu al mesajelor sursei.

Un cod este cu atât mai eficient/bun cu cât diferența dintre media ponderată a lungimii cuvântului de cod n_i și entropie este mai mică. Această diferență se numește *redundanța codului*.

$$\sum_{i=1}^n p_i \cdot n_i - \sum_1^n p_i \log p_i$$

Deoarece, în general, valoarea entropiei nu este un număr întreg, utilizarea unor cuvinte de cod de lungime variabilă devine o condiție necesară pentru realizarea unei redundanțe cât mai mici.

O altă măsură a eficienței codului este *rata de compresie*, definită ca raportul dintre lungimea medie a mesajelor și lungimea medie a cuvântului de cod corespunzător. Evident, un cod este cu atât mai bun cu cât rata de compresie este mai mare.

O problemă deosebit de importantă legată de compresia datelor se referă la *stabilitatea la perturbații*. Deși aceste metode sunt elaborate în contextul unui mediu de transmisie fără perturbații, este interesantă analiza susceptibilității la erori a codului rezultat din compresie.

Transmisia datelor

O primă observație este vulnerabilitatea mare pe care o prezintă metodele adaptive, datorită redefinirii dinamice a codului, pe măsura efectuării transmisiei. Afectarea unui cod în această manieră poate determina desincronizarea completă a transmițătorului și a receptorului, cu efecte deosebite asupra celui din urmă.

În schimb, în cazul codurilor statice se poate vorbi de resincronizare după producerea unor *erori de fază* (pierderea sau adăugarea unui simbol de cod, altfel spus, modificarea cu un simbol de cod) sau *erori de amplitudine* (înlocuirea unui simbol de cod cu altul).

Recuperarea acestor erori este ilustrată în exemplul 3.4 pentru un cod Huffman aplicat unui mesaj *BCDAEB*.

Exemplul 3.4.

	011.010.001.1.000.011	<i>BCDAEB</i>
Recuperarea erorilor de fază	┌ 1.1.010.001.1.000.011	bitul 1 pierdut ⇒ <i>AACDAEB</i>
	└ 010.1.000.1.1.000.011	bitul 2 pierdut ⇒ <i>CAEAAEB</i>
	011.1.000.1.1.000.011	bitul 4 pierdut ⇒ <i>BAEAAEB</i>

Recuperarea erorilor de amplitudine	┌ 111.010.001.1.000.011	bitul 1 inversat ⇒ <i>DCDAEB</i>
	001.010.001.1.000.011	bitul 2 inversat ⇒ <i>DCDAEB</i>
	011.110.001.1.000.011	bitul 4 inversat ⇒ <i>BAAEAAEB</i>

3.2 Codificarea/decodificarea pe canale perturbate

3.2.1 Eroarea în transmisia datelor

Se vor face referiri numai la coduri bloc, adică la coduri care au aceeași lungime n .

Conform celor prezentate în paragraful 3.1, codificarea unei surse $S = \{S_1, S_2, \dots, S_n\}$ înseamnă definirea unei funcții f pe mulțimea simbolurilor sursei cu valori în mulțimea q^n de succesiuni de litere. ($q=2$).

Transmisia datelor

Transmisia este considerată corectă dacă cuvântul de cod recepționat v_i conduce, după decodificare, la mesajul S_i emis.

Astfel, considerând $S = \{u_1, u_2, \dots, u_n\}$ codul sursei și $R = \{v_1, v_2, \dots, v_m\}$ ansamblul cuvintelor de lungime n care pot fi recepționate, regula de decizie atribuie fiecărui cuvânt recepționat v_i un cuvânt de cod u_i . Decodificarea este unică, adică $u_i = f(v_i)$, dacă funcția f este bijectivă.

În aceste condiții, funcția inversă determină un ansamblu T_i de cuvinte v_j astfel încât

$$T_i = f^{-1}(u_i) = \{v_j | f(v_j) = u_i\} \quad (3.6)$$

Schema unei astfel de decodificări este prezentată în figura 3.4, cu mențiunea că grupele T_i se numesc ansambluri decodificatoare.

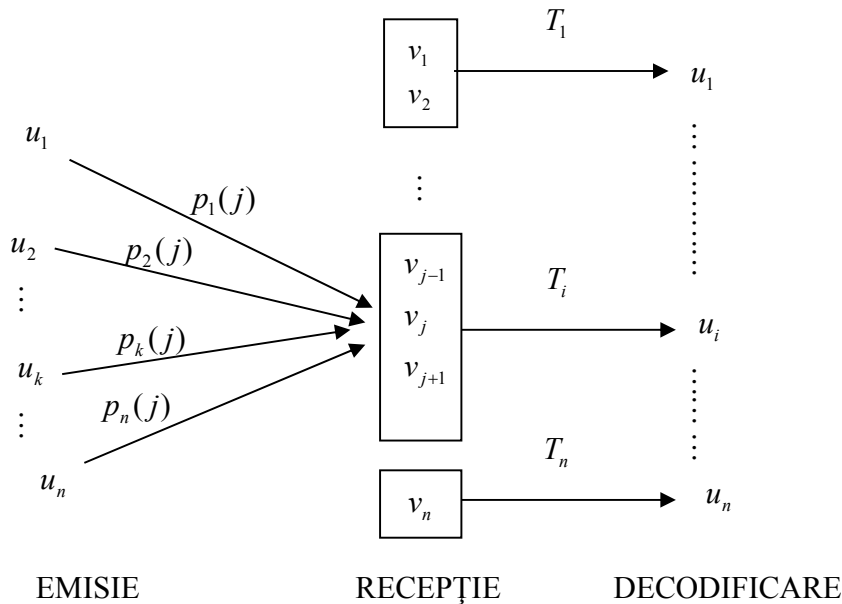


Fig. 3.4. Ansambluri decodificatoare

Apariția unei erori e_i constă în aceea că un cuvânt recepționat nu aparține unui subansamblu T_i atunci când cuvântul emis este cel căruia îi este asociat subansamblul, adică $e_i = v_j$. Probabilitatea de apariție a erorii va fi

$$p(e_i) = p(T_i^C / u_i) = 1 - p(T_i \setminus u_i) \quad (3.7)$$

Transmisia datelor

cu T_i^c – ansamblul complementar al lui T_i . Asociind acestei probabilități probabilitatea de emisie a mesajului u_i , egală cu p_i , se poate obține probabilitatea medie a erorii de codificare

$$p(e) = \sum_1^N p_i \cdot p\left(\frac{T_i^c}{u_i}\right) \quad (3.8)$$

relație care se poate scrie și sub forma

$$p(e) = \sum_{i=1}^n p_i - \sum_{i=1}^N p(u_i) \cdot p(T_i \setminus u_i) \quad (3.9)$$

Considerând pentru fiecare cuvânt recepționat v_i diferitele probabilități condiționate $p(u_k/v_i)$, o regulă naturală de decizie este aceea care consideră drept cel mai verosimil cuvânt u_i – dacă este unic – pe cel care maximizează probabilitatea

$$p(u_i/v_i) \geq p(u_k/v_k), \quad k \neq i \quad (3.10)$$

iar decodificarea constă în partiția

$$T_i = \{v_j \mid p(u_i/v_j) = \max p(u_k/v_j)\} \quad (3.11)$$

Exemplul 3.5.

Fie o sursă cu 4 mesaje, codificate astfel încât fiecare combinație să difere de oricare alta prin cel puțin 3 poziții.

$$u_1 = 00000$$

$$u_2 = 01101$$

$$u_3 = 10110$$

$$u_4 = 11011$$

Teoretic, se pot recepționa $2^5 = 32$ mesaje. Dacă se consideră p = probabilitatea de eroare a unui bit, rezultă următoarele situații:

- probabilitatea de a obține un cuvânt fără eroare

$$p(k=0) = q^5 = (1-p)^5 \sim 1-5p$$

- probabilitatea de a obține un cuvânt cu 1 eroare

$$p(k=1) = C_5^1 q^4 p \sim 5p$$

- probabilitatea de a obține un cuvânt cu r erori

$$p(k=r) = 0 \quad (r > 1)$$

Transmisia datelor

Se constată că în situația în care v_i este identic cu un cuvânt de cod u_i , probabilitatea de transmisie corectă este foarte mare (1-5p), în timp ce probabilitatea de a avea o eroare (cel puțin 3 caractere modificate) este neglijabilă și, deci, este posibilă o decizie de tip $u_i^* = u_i$. Această decizie este posibilă și dacă există eroare la un singur caracter, deoarece eroarea $p(v_i \setminus u_i) = pq^4 \sim p$ este foarte mică.

Se poate concluziona că s-a obținut o protecție satisfăcătoare la perturbații datorită diferenței de minim 3 caractere între combinațiile de cod.

3.2.2. Distanța Hamming

Distanța dintre două cuvinte binare de lungime n

$$u = x_1, \dots, x_n$$

$$v = y_1, \dots, y_n$$

este dată de numărul pozițiilor de același rang în care cele două cuvinte diferă.

$$d(u, v) = \sum_{i=1}^n x_i \oplus y_i \quad (3.12)$$

Proprietățile distanței Hamming sunt cele cunoscute ale unei distanțe, și anume:

1. $d(u, v) = d(v, u) \geq 0$
 2. $d(u, v) = 0 \Leftrightarrow u = v$
 3. $d(u, v) \leq d(u, w) + d(w, v)$
- (3.13)

Ansamblul cuvintelor de cod n a căror distanță la un cuvânt de cod u este cel mult egală cu r , se numește *sfera de centru u_0 și rază r* și se notează

$$\varphi_r(u_0) = \{u \mid d(u_0, u) \leq r\} \quad (3.14)$$

O reprezentare geometrică a lui u poate fi un punct de coordonate x_1, \dots, x_n în \mathcal{R}^n . Cele 2^n combinații de succesiuni de n simboluri 0 sau 1 (posibile cuvinte de cod) au ca imagine vârfurile unui hipercub de latură 1, conform reprezentării din figura 3.5..

Se definește *distanța Hamming* între 2 vârfuri ca fiind cel mai mic număr de laturi care le unește.

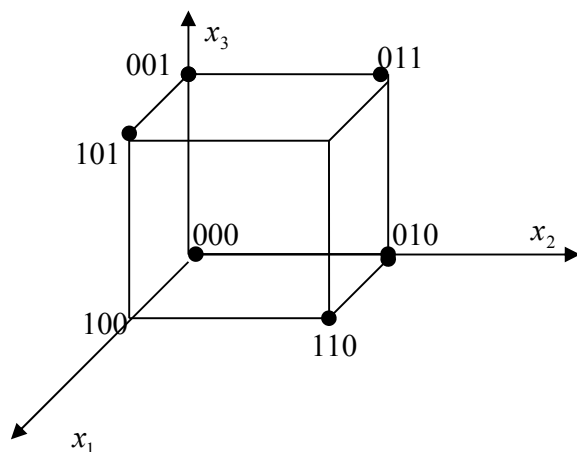


Fig.3.5. Hiper cubul cuvintelor de cod din R^3

Dacă toate cuvintele de cod ar avea sens, atunci orice eroare – modificare de caracter – ar conduce la un alt cuvânt de cod, neputând fi depistată. Dacă însă sunt separate din cele 2^n cuvinte de cod numai 2^k , atunci e posibil să fie depistate unele *erori singulare* – care modifică un singur bit – deoarece $2^m = 2^{n-k}$ combinații nu au sens.

Astfel, dacă pe cubul din figura 3.3., combinațiile cu sens sunt 000, 101, 110, 011, cuvinte separate prin câte 2 biți, se poate *detecta* orice eroare singulară. Mai mult, dacă combinațiile cu sens sunt numai 000, 111, care diferă între ele prin trei poziții, se poate aprecia că un cuvânt din subansamblul (100,001,010) provine din 000, iar unul din subansamblul (110,101,011) provine din 111, deci se poate *corecta* orice eroare singulară.

3.3. Coduri detectoare și corectoare de erori

3.3.1 Teorema fundamentală a teoriei informației

Formulată de Shannon în anul 1949, teorema fundamentală a teoriei informației se referă la posibilitatea ca o sursă de entropie $H < C$, cu C - capacitatea sursei, să fie codată astfel încât rata de emisie R să fie oricât de apropiată de C .

Fondul teoremei constă din următoarele două idei de bază:

Transmisia datelor

- a) Dacă $H \leq C$, există codificări care asigură transmiterea mesajelor cu eroare arbitrar de mică (a cărei probabilitate de apariție e finită) de decodificare.
- b) Dacă $H > C$, nici o metodă nu poate asigura transmisia fără eroare a cărei probabilități de apariție e finită.

Concluzia teoremei este aceea că pentru a micșora eroarea trebuie să fie crescută lungimea cuvântului de cod. Pe de altă parte, în practică trebuie să se utilizeze cuvinte de cod cât mai scurte. Este deci necesar să se ajungă la un compromis între eliminarea perturbațiilor și creșterea eficienței. Acest lucru este realizabil fie prin creșterea debitelor, fie prin utilizarea unor algoritmi rapizi de decodificare.

Cel mai bun exemplu în acest sens este cel al *codurilor sistematice* care conțin cuvinte de n caractere destinate codificării unor surse echiprobabile de 2^m mesaje. Astfel, considerând k numărul de caractere suplimentare, destinate asigurării corecției, fiecare cuvânt eronat trebuie să fie acoperit de un cuvânt de control astfel încât

$$2^k > \sum_{i=0}^r C_n^i \quad (3.15)$$

cu r – numărul pozițiilor în care pot să apară erori.

(în cazul particular în care se urmărește doar corecția erorilor unitare ($i=1$) $2^k > n$ sau $n_{\max} = 2^k - 1$, n_{\max} = margine Hamming).

Dacă n este foarte mare, $2^k = n \Rightarrow k = \log_2 n$ și $m = n - \log_2 n$ și deci *eficiența* codului va fi

$$\eta = \frac{m}{n} = 1 - \frac{\log_2 n}{n} \quad (3.16)$$

Se observă că η crește când n crește, ceea ce corespunde și concluziilor teoremei fundamentale. Esențială este totuși asigurarea unor posibilități de detecție și eventual corecție a erorilor, pentru că nu se poate admite o creștere exagerată a lungimii cuvintelor de cod.

3.3.2 Coduri detectoare și corectoare de erori cu controlul parității

De regulă, în echipamentele de transmisie de date se folosesc coduri bloc cu cuvinte de lungime constantă n . Un cuvânt de cod va fi notat $u = a_1 a_2 \dots a_n$, constituind unul din ansamblurile $B^n = \{0,1\}^n$ ale succesiunii de n simboluri binare.

Transmisia datelor

Un cod de N cuvinte din B^n se numește cod de lungime n și dimensiune (talie) N , cu n – numărul de simboluri din cuvânt și N – numărul de cuvinte.

Se definește *ponderea cuvântului* $\pi(n)$ ca suma obișnuită a cifrelor “1” dintr-un cuvânt.

$$\pi(n) = \sum_{i=1}^n a_i \quad (3.17)$$

În funcție de ponderea cuvântului se apreciază *paritatea unui cod*, testele de paritate la care se vor face referiri în continuare reprezentând calculul parității modulo 2. În acest sens, un cod are paritate pară dacă $\pi(n) = 0$.

Se definește *adunarea a două cuvinte de cod* ca suma modulo 2 dintre elementele de același rang.

Cu proprietățile prezentate mai sus, se poate aprecia că B^n are o structură de *grup abelian*, orice subgrup din acest grup fiind numit *cod de grup* (sunt îndeplinite axiomele grupului abelian, cu mențiunea că elementul neutru este cuvântul de cod $u_n = 0..0$ și fiecare cuvânt de cod u are și simetric u' astfel încât $u + u' = u_n$)

Un cod de grup binar poate fi identificat cu un vector

$$\pi = (a_1, a_2, \dots, a_n) \quad \text{cu } a_i = 0 \text{ sau } 1 \quad (3.18)$$

În aceste condiții, generarea unui cuvânt de cod de grup poate fi făcută plecând de la baza canonică formată din cele n cuvinte de pondere 1.

$$e_1 = 100..0$$

$$e_2 = 010..0$$

$$e_3 = 001..0$$

.....

$$e_n = 000..1$$

astfel încât

$$u = a_1 e_1 + a_2 e_2 + \dots + a_n e_n \quad (3.19)$$

Transmisia datelor

Controlul *simplu de paritate* constă în completarea unui cuvânt de $n-1$ simboluri cu un simbol 0 sau 1 care face ca ponderea totală să fie pară (paritate pară) sau impară (paritate impară).

De exemplu, alegând un cod cu paritate pară, pentru care $\pi(n)=0$, dacă la recepție se primește cuvântul u' , pot exista următoarele situații

- $\pi(u')=0$: fie nu a existat eroare, fie au fost eronate un număr par de simboluri;
- $\pi(u')=1$: au fost eronate un număr impar de simboluri.

A. Coduri sistematice de tip Hamming

Așa cum a fost deja subliniat, deoarece informația transmisă printr-un canal de comunicație este supusă perturbațiilor, sunt necesare măsuri de detecție și eventual de corecție a erorilor. O metodă este folosirea unui codificator/decodificator la emisie/recepție care să permită implementarea acestor măsuri. Structura unui astfel de montaj este prezentată în figura 3.4.

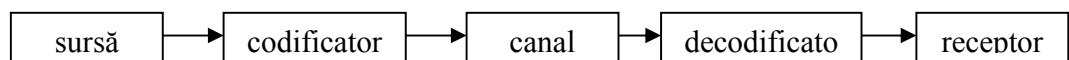


Fig. 3.4 Sistem de detecție a erorilor

Sursa emite o secvență de cuvinte binare $S = \{a_1, a_2, \dots, a_i, \dots\}$ codificată în $\{c_1, c_2, \dots, c_i, \dots\}$ și apoi transmisă prin canalul de comunicație pentru a ajunge la recepție într-o formă, foarte posibil, perturbată.

Decodificarea generează secvența $\{a'_1, a'_2, \dots, a'_i, \dots\}$ care poate fi:

- coincidentă cu cea a sursei, dacă se folosește un cod corector de erori;
- diferită de cea a sursei și însoțită de un indicator de eroare, dacă se folosește un cod detector de erori. În acest caz, corecția se face prin retransmisia mesajului, folosind sistemul *ARQ* (Automatic Repetition Request).

La codificare, secvențele $\{a_1, \dots, a_i, \dots\}$ sunt, de regulă, decupate în blocuri, fiecărui bloc asociindu-i-se un număr de biți de control. O astfel de codificare, numită *sistematică*, prezintă următoarele caracteristici:

Transmisia datelor

- cuvintele de cod sunt formate dintr-un număr total de n biți;
- biții purtători de informație sunt în număr de m și formează *partea semnificativă* a cuvântului de cod;
- există $n-m=k$ biți de control care formează *partea de test* a cuvântului de cod.

În ceea ce privește maniera în care se generează biții de control, pot fi evidențiate două situații:

- când biții de control se deduc din biții informaționali ai blocului curent, situație în care este vorba despre un *cod bloc*, folosit frecvent în transmiterea și prelucrarea datelor;
- când biții de control depind și de blocurile anterioare, situație în care codul se numește *convoluțional* sau *recurent*.

Un cod sistematic se notează (n,m) , exemplul cel mai elocvent fiind *codul Hamming*, cu variantele $(3,1)$, $(7,4)$, $(15,11)$, $(31,26)$.

Codurile Hamming sunt coduri de grup pentru care biții de control sunt determinați în funcție de biții informaționali prin relații de condiție care asigură paritate prin suma modulo 2.

Codurile Hamming pot fi:

- sistematice, caz în care primii m biți sunt informaționali;
- ponderate, atunci când biții de control apar pe poziții corespunzătoare puterilor lui 2 (pozițiile 1, 2, 4, 8, ...).

Se propune în continuare studiul detaliat al *codului sistematic Hamming de tip $(7,4)$* ($n=7$, $m=4$).

Se consideră cuvântul de cod de 7 biți $u = a_1 a_2 a_3 a_4 a_5 a_6 a_7$ și cuvântul

recepționat $u' = a'_1 a'_2 a'_3 a'_4 a'_5 a'_6 a'_7$

Erorile singulare care pot să apară la recepție, în care e_1 , e_2 , e_3 sunt simbolurile pentru cei trei biți de test, corespunzători celor opt erori posibile, sunt prezentate în tabelul 3.3.

Transmisia datelor

Tabelul 3.3

Eroare asupra	$e_3 e_2 e_1$
nici unei cifre	000
a_1	001
a_2	010
a_3	011
a_4	100
a_5	101
a_6	110
a_7	111

Din examinarea tabelului, rezultă condițiile ca e_1, e_2, e_3 să aibă valoarea 1, și anume:

$$\begin{aligned} e_1 &= a_1 + a_3 + a_5 + a_7 \\ e_2 &= a_2 + a_3 + a_6 + a_7 \\ e_3 &= a_4 + a_5 + a_6 + a_7 \end{aligned} \quad (3.20)$$

Pentru a determina biții de control a_5, a_6, a_7 , în funcție de biții informaționali a_1, a_2, a_3, a_4 , este suficient să punem condiția de nonexistență a erorii, și anume:

$$a_i = a_i, \quad i = \overline{1, 7}$$

și deci $e_1 = e_2 = e_3$, astfel încât se obțin următoarele relații:

$$\begin{aligned} a_1 + a_3 + a_5 + a_7 &= 0 \\ a_2 + a_3 + a_6 + a_7 &= 0 \\ a_4 + a_5 + a_6 + a_7 &= 0 \end{aligned} \quad (3.21)$$

care generează condițiile:

$$\begin{aligned} a_5 &= a_2 + a_3 + a_4 \\ a_6 &= a_1 + a_3 + a_4 \\ a_7 &= a_1 + a_2 + a_4 \end{aligned} \quad (3.22)$$

Transmisia datelor

În cazul în care codurile Hamming se scriu în formă ponderată, adică în forma în care biții de control ocupă pozițiile corespunzătoare puterilor crescătoare ale lui 2 (a_1, a_2, a_4, \dots), regulile de control devin:

$$\begin{aligned} a_1 &= a_3 + a_5 + a_7 \\ a_2 &= a_3 + a_6 + a_7 \\ a_4 &= a_5 + a_6 + a_7 \end{aligned} \quad (3.23)$$

Condițiile de control (3.22) pot fi scrise și sub formă matriceală, și anume:

$$[a_5 \ a_6 \ a_7] = [a_1 \ a_2 \ a_3 \ a_4] \begin{bmatrix} 011 \\ 101 \\ 110 \\ 111 \end{bmatrix} \quad (3.24)$$

$$\text{sau, altfel, } \langle t \rangle = \langle s \rangle \cdot \Gamma_{4 \times 3} \quad (3.25)$$

$$\text{și } [a_1 \ a_2 \ a_3 \ a_4 \ a_5 \ a_6 \ a_7] = [a_1 \ a_2 \ a_3 \ a_4] \begin{bmatrix} 1000011 \\ 0100101 \\ 0001111 \end{bmatrix} \quad \text{sau}$$

$$\langle u \rangle = \langle s \rangle G_{4 \times 7} = \langle s \rangle [I_4 / \Gamma_{4 \times 3}]$$

cu $\langle t \rangle$ – matricea de test

$\langle s \rangle$ – matricea biților informaționali

$\Gamma_{4 \times 3}$ – sau $H_{3 \times 7}$ $\langle u \rangle_{7 \times 1} = \langle 0 \rangle_{3 \times 1}$; H – matrice de control

Generalizând, toate cele 2^m combinații semnificative ale unui cod (n, m) sunt generate prin combinații liniare plecând de la o bază de n cuvinte linear independente:

$$u = \sum_{i=1}^n \lambda_i \cdot u_i \quad (3.26)$$

Matricea generatoare va fi matricea $m \times n$, de rang m , în care liniile sunt cuvintele de bază u_i .

$$G = \begin{bmatrix} \langle u_1 \rangle \\ \langle u_2 \rangle \\ \dots\dots\dots \\ \langle u_m \rangle \end{bmatrix} \quad (3.27)$$

Transmisia datelor

sau, sub formă redusă

$$G = [I_m / \Gamma_{m \times k}], \quad G = [\Gamma_{m \times k} / I_m] \quad (3.28)$$

după cum primii sau ultimii m biți din n sunt alocați pentru partea semnificativă.

Orice matrice dedusă din G prin permutări de coloane generează un cod echivalent.

Codul poate fi definit și plecând de la o matrice de test $k \times n$,

$$H = \begin{bmatrix} \langle v_1 \rangle \\ \langle v_2 \rangle \\ \dots \\ \langle v_k \rangle \end{bmatrix} \quad (3.29)$$

ale cărei linii sunt cuvintele de test v_j .

Spațiul generat de H este ortogonal cu Γ , deci $H(u) = 0$ (condiția necesară și suficientă ca un cuvânt u să aparțină codului Γ), unde:

(u) – vector coloană asociat cuvântului de cod u

(0) – vector coloană cu k elemente nule.

Explicit, codul Γ este situația sistemului omogen de rang m

$$\sum_{j=1}^m h_{ij} \cdot a_j = 0; \quad i = \overline{1, k}$$

cele k ecuații permițând calculul simbolurilor de control în funcție de simbolurile semnificative.

Codurile Hamming permit corectarea erorilor singulare. Procedura se bazează pe faptul că $H(u') = H(u) + H(e) = H(c) = (c)$, unde e este un vector eroare astfel încât $u' = u + e$, iar c este un vector coloană cu k elemente, numit vector corector al lui u' .

$$\text{Explicit: } c_i = \sum_{j=1}^n h_{ij} \cdot e_j.$$

De exemplu, când există erori singulare – un singur 1 pe poziția r a cuvântului $e \rightarrow c_i = h_{ir}$, ceea ce arată că eroarea se află în poziția în care se află coloana h_{ir} în H .

Codurile H au distanța 3, dar pot exista coduri liniare și cu $d > 3$; condiția necesară și suficientă ca distanța minimă dintre cuvintele unui cod liniar să fie d este să nu existe combinații liniar independente de mai puțin de d coloane în matricea de control a codului.

B. Coduri ciclice

Definiții

Codurile ciclice sunt o subclasă a codurilor liniare, frecvent utilizate în practică. Ele prezintă interes pentru echipamentele de transmisie de date din următoarele considerente:

- pot fi generate simplu cu scheme secvențiale folosind registre de deplasare;
- permit detecția și corecția pachetelor de erori;
- pot fi studiate riguros folosind teoria polinoamelor algebrice.

Un cod liniar este ***ciclic*** dacă orice permutare ciclică a unui cuvânt de cod este, de asemenea, un cuvânt de cod. Astfel, dacă se consideră cuvântul de cod $u = a_1 a_2 a_3 \dots a_{n-1} a_n$, prin deplasarea în inel a simbolurilor ce alcătuiesc cuvântul de cod se obține tot un cuvânt de cod:

$$\begin{aligned}
 u^{(1)} &= a_2 a_3 \dots a_n a_1 \\
 u^{(2)} &= a_3 a_4 \dots a_1 a_2 \\
 &\dots\dots\dots\dots\dots\dots\dots\dots\dots \\
 u^{(n-1)} &= a_n a_1 \dots a_{n-1} \\
 u^{(n)} &= a_1 a_2 \dots a_{n-1} a_n = u
 \end{aligned}
 \tag{3.33}$$

Uzual, considerând componentele unui cuvânt de cod din $C(B^n)$ $u = u(n-1), \dots, u(0)$ drept coeficienții unui polinom $u(x)$

$$u(x) = u(n-1)x^{n-1} + \dots + u(1)x + u(0)
 \tag{3.34}$$

condiția precedentă se exprimă sub forma

$$u(x) \in C(B^n) \Leftrightarrow x^i u(x) \bmod (x^n + 1) \in B^n
 \tag{3.35}$$

Transmisia datelor

Se demonstrează că orice cuvânt al unui cod ciclic (n, k) este un multiplu al unui polinom generator $g(x)$ de grad $n-k$, asociat ultimei linii a matricii generatoare G . De asemenea, $g(x)$ este divizor al lui $x^n + I$.

Un cod ciclic de lungime n și talie N este definit de un ansamblu Γ de N cuvinte extrase din ansamblul de 2^n cuvinte cu n poziții aparținând lui B^n și stabil în raport cu adunarea și permutarea circulară.

El este echivalent cu ansamblul $\Gamma(x)$ al polinoamelor de cod $u(x)$, $\Gamma(x)$ fiind o parte a inelului claselor reziduale modulo $x^n - I$.

Teoremă

Condiția necesară și suficientă ca Γ să fie un cod ciclic este ca $\Gamma(x)$ să fie un ideal al claselor de resturi modulo $x^n - I$.

Demonstrația constă în verificarea condițiilor de definiție ale unui ideal:

- $\Gamma(x)$ conține $u(x) + v(x)$ dacă conține $u(x)$ și $v(x)$;
- $\Gamma(x)$ conține $x^k u(x)$ și deci există relația $\sum_k a_k x^k u(x) = u(x)p(x)$

Metode de construcție a codurilor ciclice

De regulă, există două modalități de exprimare a polinomului de cod $u(x)$:

- cu evidențierea părții semnificative (informaționale) $s(x)$ și a părții de test $t(x)$, sub forma $u(x) = s(x) + t(x)$;
- cu evidențierea proprietății oricărui cuvânt de cod ciclic de a se divide cu un polinom generator $g(x)$, sub forma $u(x) = g(x)q(x)$

Pentru generarea codurilor ciclice, sunt utilizate următoarele patru metode:

- metoda directă;
- metoda matricii generatoare;
- metoda matricii de control;
- metoda rădăcinilor polinomului generator.

Metoda directă generează un cod ciclic în două moduri, după cum urmează:

Transmisia datelor

- *prin înmulțire*, situație în care se consideră partea semnificativă de forma $s(x)=a_1x^{m-1}+\dots+a_mx^0$, m fiind numărul de biți semnificativi (informaționali), și cuvântul de cod $u(x)$ se obține cu relația $u(x)=s(x)g(x)$;
- *prin împărțire*, care folosește exprimarea cuvântului de cod cu evidențierea separată a părții semnificative $s(x)$ și a părții de test $t(x)$: $u(x)=s(x)+t(x)$. Partea de test $t(x)$ se calculează ca fiind restul împărțirii părții semnificative $s(x)$ la polinomul generator $g(x)$.

Exemplul 3.6.

Se consideră codul ciclic (7,4) cu polinomul generator $g(x) =x^3+x+1$, divizor al lui x^7+1 .

Considerând partea semnificativă s de forma 0111 , acestea îi corespunde un polinom de cod atașat $s(x)=x^5+x^4+x^3$, ceea ce conduce la obținerea părții de test de forma $t(x)=x$. Așadar, cei trei biți de control vor fi 010 , astfel încât cuvântul de cod complet va fi $u=0111010$.

În tabelul 3.4. este prezentat codul (7,4) generat prin împărțire.

Tabelul 3.4.

s	s(x)	t(x)	u
0000	0	0	0000000
0001	x^3	$x+1$	0001011
0010	x^4	x^2+x	0010110
0011	x^4+x^3	x^2+1	0011101
0100	x^5	x^2+x+1	0100111
0101	x^5+x^3	x^2	0101100
0110	x^5+x^4	1	0110001
0111	$x^5+x^4+x^3$	x	0111010
1000	x^6	x^2+1	1000101
1001	x^6+x^3	x^2+x	1001110
1010	x^6+x^4	$x+1$	1010011
1011	$x^6+x^4+x^3$	0	1011000
1100	x^6+x^5	x	1100010
1101	$x^6+x^5+x^3$	1	1101001
1110	$x^6+x^5+x^4$	x^2	1110100
1111	$x^6+x^5+x^4+x^3$	x^2+x+1	1111111

Transmisia datelor

Metoda matricii generatoare

Codul Γ fiind de dimensiune n , poate fi generat de la o bază de m cuvinte, fiind complet definit de polinomul generator $g(x)$ format de coeficienții $g=0000g_0g_1...g_k$. Deoarece orice polinom de cod este un multiplu al lui $g(x)$, se poate scrie:

$$u(x)=g(x)q(x)=g(x)(b_0+...+b_{m-1}x^{m-1}) \quad (3.36)$$

$$u=b_0g^0+b_1g^1+...b_{m-1}g^{m-1} \quad (3.37)$$

ceea ce evidențiază faptul că orice cuvânt de cod admite ca bază cuvântul g și cele $m-1$ permutări circulare ale sale.

Matricial,

$$\langle u \rangle = \langle b \rangle G_{m \times n} \quad (3.38)$$

unde $\langle b \rangle = [b_0 \ b_1 \dots b_{m-1}]$

$$G_{m \times n} = \begin{bmatrix} 00...0g_0...g_k \\ 00...g_0g_1...0. \\ \cdot \\ \cdot \\ g_0g_1...g_k0...0 \end{bmatrix}$$

Metoda matricii de control

Această metodă de construcție a codurilor ciclice pleacă de la premisa că polinomul generator divide x^n-1 . Astfel, se poate scrie $x^n-1=g(x)h(x)$, câtul $h(x)=h_mx^m+h_{m-1}x^{m-1}+...+h_1x+h_0$ fiind de grad $m=n-k..$

În inelul claselor de resturi $mod(x^n-1)$, produsul claselor $g(x)$ și $h(x)$ este clasa 0 , astfel încât h se numește polinom ortogonal codului Γ .

Teoremă

Condiția necesară și suficientă ca un polinom să fie polinom de cod este ca produsul său prin polinomul ortogonal să fie divizibil cu x^n-1 .

$$H_{k \times n}(n) = 0 \quad (3.39)$$

unde s-au folosit notațiile:

Transmisia datelor

u : matrice coloană a cuvântului de cod, 0 : coloană de zerouri, H : matrice de control, de forma

$$H_{k \times n} = \begin{bmatrix} h_0 h_1 \dots h_m 0 \dots 0 \\ 0 h_0 \dots h_{m-1} h_m \dots 0 \\ \dots \dots \dots \dots \dots \dots \dots \\ 0 0 \dots h_0 h_1 \dots h_m \end{bmatrix} \quad (3.40)$$

Exemplul 3.7.

Considerând codul $\Gamma(7,4)$, relațiile de calcul sunt, succesiv:

$$h(x) = (x^7 + 1) / (x^3 + x + 1) = x^4 + x^2 + x + 1$$

$$h_4 = 1; h_3 = 0; h_2 = 1; h_1 = 1; h_0 = 1$$

$$H_{3 \times 7} = \begin{bmatrix} 1110100 \\ 0111010 \\ 0011101 \end{bmatrix}$$

În aceste condiții, considerând cuvântul de cod $u = \begin{bmatrix} u_1 \\ u_2 \\ \cdot \\ u_7 \end{bmatrix}$, se obțin

relațiile de control

$$\begin{aligned} a_1 + a_2 + a_3 + a_5 &= 0 \\ a_2 + a_3 + a_4 + a_6 &= 0 \\ a_3 + a_4 + a_5 + a_7 &= 0 \end{aligned} \quad (3.41)$$

Dacă a_1, a_2, a_3, a_4 sunt biții informaționali, biții de control pot fi obținuți cu relațiile:

$$\begin{aligned} a_5 &= a_1 + a_2 + a_3 \\ a_6 &= a_2 + a_3 + a_4 \\ a_7 &= a_1 + a_2 + a_4 \end{aligned} \quad (3.42)$$

Metoda rădăcinilor polinomului generator

Condiția necesară și suficientă ca un cuvânt de cod u să aparțină codului Γ este ca rădăcinile polinomului generator să fie rădăcini ale polinomului asociat $u(x)$.

Transmisia datelor

Dacă rădăcinile polinomului generator $g(x)$ sunt $\alpha_1, \alpha_2, \dots, \alpha_s$, atunci condiția $u(\alpha_i) = a_1 + a_2\alpha_i + \dots + a_n\alpha_i^{n-1} = 0$ se poate scrie sub formă matricială

$$\begin{bmatrix} 1\alpha_1\alpha_1^2 \dots \alpha_1^{n-1} \\ 1\alpha_2\alpha_2^2 \dots \alpha_2^{n-1} \\ \dots \dots \dots \\ 1\alpha_s\alpha_s^2 \dots \alpha_s^{n-1} \end{bmatrix} \begin{bmatrix} a_1 \\ a_2 \\ \cdot \\ a_n \end{bmatrix} = 0 \quad (3.43)$$

sau

$$H'_{sxn} \langle a \rangle = 0, \text{ cu } H'_{sxn} - \text{matrice de test.}$$

Erori simple – orice eroare simplă este o permutare a cuvântului $e = 0 \ 0 \dots 1$, deci $e(x) = 1$ și, prin urmare, nu poate fi divizibil cu nici un polinom diferit de o constantă..

Erori duble – o eroare dublă este de forma $e = 0 \dots 010 \dots 01$, având « 1 » în pozițiile 1 și i , deci $e_i(x) = x^i + 1$. Pentru a fi depistată, trebuie ca $g(x)$ să nu dividă nici unul dintre polinoamele $e_i(x)$, deci să fie primitiv.

Pachete de erori – se definește un pachet de erori de lungime cel mult r o permutare circulară a cuvântului $e = 0 \dots 0 e_1 \dots e_r$, unde nu toți e_i sunt nuli. De exemplu, $e = 00101001$ conține un pachet de erori de lungime 6.

După cum se poate observa, se pleacă de la premisa că *problema detectabilității* se pune în funcție de divizibilitatea lui $e(x)$ la $g(x)$. În general, există $2^p - 1$ cuvinte ale căror polinoame asociate sunt de grad inferior lui p . Deci, pentru ca aceste polinoame să nu fie divizibile cu $g(x)$, trebuie ca $g(x)$ să fie de grad cel puțin p ; așadar, codurile (n, m) detectează pachete de erori de lungime $k = n - m, k \geq 1$.

Corecția erorilor se bazează pe proceduri asemănătoare. Fie o eroare pe poziția $n-i$ a unui cuvânt de cod u . Aceasta echivalează cu recepția cuvântului eronat al cărui polinom asociat este $u'(x) = u(x) + x^i$. La analiza divizibilității lui $u'(x)$ la $g(x)$ se va constata că numai o parte e divizibilă, ceea ce permite localizarea erorii.

Tehnica utilizată pentru corectarea erorilor simple este cea folosită pentru detectarea erorilor duble. *A corecția p erori este echivalent cu a detecta 2p erori.*

Transmisia datelor

Astfel, se consideră F o familie anume de erori (simple, duble, pachete de o anumită lungime). Se asociază fiecărui cuvânt u_i din Γ ansamblul F_i al tuturor cuvintelor $u_i' = u_i + e$, $e \in F$, deci $F_i = u_i + F$. Subansamblele F_i pot să intersecteze Γ , situație în care unele erori scapă detecției, sau să se interinfluențeze (un cuvânt recepționat poate proveni din două cuvinte distincte emise).

Se acceptă următoarele afirmații:

- pentru ca un cod Γ să detecteze familia F este necesar și suficient ca F_i să fie disjuncte cu Γ
- pentru ca un cod Γ să corecteze familia F este necesar și suficient ca F_i să fie două câte două disjuncte și disjuncte de Γ

În acest caz, F_i se numesc *ansambluri decodificatoare*.

De fapt, această a doua condiție înseamnă că, dacă $u_i \neq u_j \Rightarrow u_i' \neq u_j'$, unde $u_i' = u_i + e, u_j' = u_j + e', e, e' \in F$.

Utilizarea *codurilor ciclice redundante CRC* (Cyclic Redundancy Check) este o măsură puternică de detecție a erorilor apărute în transmiterea informației. De exemplu, dintre performanțele utilizării unui cod de control de 16 biți pot fi enumerate:

- erori de 1,2 sau un număr impar de biți și erori în rafale de mai puțin de 16 biți: detecție în proporție de 100%;
- erori în rafală de 17 biți: detecție în proporție de 99,9969%;
- erori în rafală de >17 biți: detecție în proporție de 99,9948%.

Deoarece valoarea de control asociată unui șir de biți se obține utilizând teoremele aritmeticii modulo 2, acest lucru conduce la simplificarea implementării hardware, care nu necesită decât registre de deplasare și porți de tip SAU exclusiv, încorporate în dispozitivul de control al comunicației.

4. Criptarea datelor

7.1. Introducere în criptografie

Criptografia descrie câmpul larg al comunicațiilor secrete, fiind definită prin totalitatea mijloacelor și metodelor utilizate pentru protecția interceptării pasive (înregistrarea mesajului transmis) sau/și active (modificarea informației sau introducerea de mesaje false pe canalul transmisiei, între emițătorul și receptorul legali).

Criptografia are o lungă și fascinantă istorie. A fost folosită pentru prima dată de către egipteni acum patru mii de ani, iar în secolul XX a jucat un rol hotărâtor în cele două războaie mondiale. Cei care practicau această adevărată artă aveau strânse legături cu domeniile militar, diplomatic și de guvernământ. Criptografia a fost folosită inițial pentru a transmite și proteja strategiile și secretele naționale. Începutul utilizării pe scară tot mai largă, în deceniul 7 al secolului trecut, a calculatoarelor și a sistemelor de comunicații a adus cu sine cererea de mijloace de protejare a informațiilor în format digital și oferirea de servicii de securitate.

În sens clasic, operația de *criptare* constă în aplicarea unei transformări E_k asupra *mesajului* (text clar) M care aparține mulțimii (spațiului) mesajelor notată cu $\{M\}$. Se urmărește, astfel, obținerea *criptogramei* (text criptat) C care aparține mulțimii (spațiului) criptogramelor notată cu $\{C\}$, atunci când se utilizează cheia secretă k , aparținând mulțimii (spațiului) cheilor $\{K\}$. *Cheia criptografică* k este o secvență secretă, relativ scurtă, de caractere, care identifică transformarea E_k utilizată. Această cheie este selectată din spațiul cheilor $\{K\}$, dintr-un număr mare de chei posibile, și este cunoscută numai de

către corespondenții legitimi. Formalizarea matematică este cea prezentată în relația

$$E_k(M)=C \quad (4.1)$$

Determinarea mesajului M presupune aplicarea la recepție a unei transformări D_k , corespunzătoare cheii k , printr-un proces denumit **decriptare**, conform relației

$$D_k(C)=M \quad (4.2)$$

Un sistem de criptare și de decriptare se numește *criptosistem* și este proiectat de către un *criptograf*. Acesta își propune să găsească metode pentru a asigura secretul și/sau autentificarea mesajelor.

Criptanaliza se referă la tehnicile folosite pentru a intra în posesia informației originale prin alte mijloace decât cele disponibile receptorului legal (fără cunoașterea cheii k). În acest context, *criptanalistul* este un receptor ilegal care folosește metode de lucru specifice criptanalizei.

Sistemele criptografice oferă patru tipuri de servicii principale:

- *Secretizare*, prin intermediul căruia persoanelor neautorizate nu li se permite accesul la informația corespunzătoare textului clar;
- *Autentificare*, prin care, de regulă, este validată sursa mesajului inițial. Autentificarea se adresează atât entităților cât și informației. Două părți care comunică ar trebui să se identifice una pe cealaltă. O informație transmisă pe un canal trebuie să-și autentifice originea, datele despre origine, conținutul datelor, timpul transmisiunii. Din aceste motive acest aspect a criptografiei se împarte în două clase majore: autentificarea entităților și autentificarea originii datelor. Autentificarea originii datelor oferă implicit și integritatea datelor, deoarece dacă mesajul a fost modificat și sursa a fost schimbată.
- *Integritate*, care permite luarea în considerare numai a anumitor mesaje transmise către persoana identificată și stabilește că aceste mesaje nu fac parte din categoria celor transmise anterior. Serviciul de integritate asigură faptul că mesajul nu a fost transmis accidental, în timpul operațiilor de transmitere, inserție sau ștergere;

- *Nerepudierea originii*, care oferă protecție împotriva unui transmițător de mesaje care neagă, ulterior, transmiterea acestora. Acest serviciu previne neacceptarea unei identități de a îndeplini angajamente sau acțiuni asumate anterior.

Protocolul criptografic constă dintr-un algoritm care urmărește realizarea în secret a comunicațiilor între diferiți parteneri. Acesta poate fi reprezentat printr-un număr relativ mare de proceduri matematice, numite *transformări*, care definesc modul în care o secvență de date inteligibile, care reprezintă mesajul M , este schimbată într-o secvență aparent aleatoare, care constituie criptograma C .

Dezvoltarea metodelor de criptare pentru sistemele de transmisii de date se bucură în prezent de un mare interes. Există două direcții de lucru, care de cele mai multe ori se întrepătrund, și anume:

- Elaborarea de algoritmi de criptare cât mai puternici, cu implementare hardware și/sau software;
- Elaborarea și proiectarea de reguli și protocoale specifice pentru utilizarea unui anumit algoritm.

În funcție de existența sau nonexistența unor proceduri de criptare și autentificare, canalul de comunicație al unei rețele de transmisii de date poate fi:

- *Public*, atunci când nu există proceduri de criptare și autentificare;
- *Privat*, definit de existența exclusivă a procedurilor de criptare;
- *Cu semnătură*, caracterizat în exclusivitate de proceduri de autentificare;
- *Sigur*, atunci când există atât proceduri de criptare, cât și de autentificare.

O primă clasificare a sistemelor criptografice, realizată în funcție de maniera în care este prelucrat mesajul, este următoarea:

- *Sisteme criptografice cu criptare secvențială*, caz în care mesajul este tratat pe porțiuni mici (biți sau caractere), generându-se o succesiune pseudoaleatoare de simboluri;
- *Sisteme criptografice cu criptare bloc*, situație în care sistemul devine pur combinațional, la nivel de blocuri mari din mesaj. La aceste sisteme, o modificare apărută în blocul de intrare determină o modificare majoră în blocul de ieșire, printr-un proces numit de propagare a erorii.

În funcție de relația dintre cheile de la emisie și de la recepție, notate cu k și k' , sistemele criptografice pot fi:

- *Sisteme criptografice cu chei secrete*, cunoscute și sub numele de *sisteme criptografice simetrice*, pentru care cheile k și k' sau cu ușurință deduse prin calcul una din cealaltă. Aceste sisteme necesită dezvoltarea unor servicii suplimentare de management al cheilor secrete;
- *Sisteme criptografice cu chei publice*, cunoscute și sub numele de *sisteme criptografice asimetrice*, pentru care cheile k și k' sunt diferite, imposibil de dedus una din cealaltă în anumite condiții. În plus, este posibil ca aceste sisteme să fie:
 - *bidirecțional asimetrice*, atunci când cele două chei k și k' nu pot fi deduse una din cealaltă;
 - *înainte asimetrice*, atunci când cheia k' nu poate fi dedusă din k ;
 - *înapoi asimetrice*, atunci când cheia k nu poate fi dedusă din k' .

Plecând de la probabilitatea cunoașterii de către criptanalist a criptosistemului folosit, există câteva posibilități prin care acesta poate intra în posesia mesajului (a textului clar), și anume:

- *Atacul cu text criptat cunoscut*, atunci când criptanalistul are la dispoziție eșantioane de criptotext, suficient de lungi, astfel încât el se poate servi de cunoașterea caracteristicilor specifice ale limbajului utilizat;
- *Atacul cu text clar cunoscut*, situație în care criptanalistul cunoaște perechi text clar-text criptat corespunzător, de tipul $(M, E_k(M))$;
- *Atacul cu text clar ales*, când pentru anumite mesaje M , alese de către criptanalist, sunt cunoscute criptogramele $E_k(M)$. Criptanalistul poate emite ipoteze asupra cheii k sau poate pretinde că este un utilizator autorizat al sistemului în discuție;
- *Atacul cu metoda de criptare E_k cunoscută*, caz în care criptanalistul are la dispoziție un timp suficient de lung pentru a putea determina metoda de decriptare D_k , înainte chiar de a primi la recepție un eșantion de criptotext.

Un sistem criptografic este considerat *sigur* dacă criptanaliza nu își atinge obiectivul de determinare a mesajului.

Un sistem secret care rezistă la orice atac criptanalitic, indiferent de volumul calculelor care se cer, se numește *sigur necondiționat*.

Sistemul secret este *sigur computațional* atunci când se recunoaște posibilitatea criptanalistului de a intra în posesia mesajului după o cantitate finită de calcule care ocupă un volum de calcul foarte mare, nejustificat din punct de vedere economic.

În acest context, în literatura de specialitate sunt citate frecvent *dezideratele lui Kerckhoff*, care sunt următoarele :

1. sistemul trebuie să fie, dacă nu teoretic, cel puțin practic, de nepătruns;
2. compromiterea amănuntelor despre sistem nu ar trebui să producă inconveniente corespondenților;
3. cheia trebuie să poată fi memorată fără a necesita transcrierea ei și să poată fi schimbată ușor;
4. criptograma trebuie să poată fi transmisă prin telegraf;
5. aparatul de criptare trebuie să fie portabil și să poată fi operat de o singură persoană;
6. sistemul trebuie să fie ușor de înțeles și să nu necesite nici cunoașterea unor liste lungi de reguli, nici o capacitate intelectuală dezvoltată.

Aceste enunțuri au fost elaborate în 1883 și majoritatea lor rămân folosite și astăzi. Punctul al doilea permite clasei funcțiilor de criptare folosită să fie cunoscută public și securitatea sistemului să fie bazată doar pe cheia aleasă [26].

În orice criptosistem sunt implicate două alegeri statistice: alegerea mesajului și alegerea cheii. Pentru evaluarea cantității de informație, atunci când se alege un mesaj M , se utilizează noțiunea de *entropie a spațiului mesajelor*

$$H(M) = -\sum_{i=1}^n p(M_i) \log p(M_i) \quad (4.3)$$

cu notația $p(M_i)$ – probabilitatea de a fi emis mesajul M_i .

Gradul de nesiguranță asociat alegerii cheii k este dat de

$$H(k) = -\sum_{j=1}^m p(k_j) \log p(k_j) \quad (4.4)$$

Cantitatea maximă de informație se obține atunci când mesajele sunt echiprobabile, fiind egală cu $\log(n)$. Informația este complet ascunsă atunci când nedeterminarea cheii este maximă și este verificată condiția

$$H(k) = \log(n) \quad (7.5)$$

Această valoare reprezintă și cantitatea de nedeterminare maximă care poate fi introdusă într-un sistem secret. Se poate deduce de aici un principiu general, și anume acela că incertitudinea care poate fi introdusă într-un criptosistem nu poate fi mai mare decât incertitudinea cheii. Teoretic, dacă numărul de mesaje este infinit, nicio cheie finită nu asigură secretul perfect. Rezultă așadar, că din punct de vedere al criptanalistului, un sistem secret este identic cu un sistem de comunicații influențat de perturbații, cu următoarele diferențe:

- Transformarea prin criptare este mai complexă decât perturbațiile din canalul de comunicație;
- Cheia unui sistem secret este aleasă dintr-o mulțime finită, în timp ce zgomotul din canal este continuu și face parte dintr-o mulțime infinită.

Considerând n criptograme, q chei și l mesaje, reprezentând toate criptogramele, cheile, respectiv mesajele de o anumită lungime N , ca indici ai secretului teoretic se folosesc două tipuri de echivoc, și anume:

- Echivocul asociat cheii, notat $H(k/C)$;
- Echivocul asociat mesajului, notat $H(M/C)$, de forma:

$$H(k/C) = -\sum_{i=1}^q \sum_{j=1}^n p(k_i \cap C_j) \log p(k_i \cap C_j) \quad (4.6)$$

$$H(M/C) = -\sum_{i=1}^l \sum_{j=1}^n p(M_i \cap C_j) \log p(M_i \cap C_j) \quad (4.7)$$

O clasificare riguroasă a metodelor criptografice este destul de dificil de realizat, datorită numărului mare de criterii posibile și a numărului foarte mare de metode aflate în uz. O clasificare foarte generală, care ia în considerație evoluția acestor metode, este următoarea:

- metode criptografice clasice
 - prin substituție (monoalfabetică, poligrafică, polialfabetică);
 - prin transpoziție
- metode criptografice computaționale
 - simetrice;
 - cu chei publice
- metode criptografice cu coduri redundante.

4.2. Criptosisteme clasice

4.2.1. Cifrul lui Caesar

Cifrul lui Caesar este un cifru cu substituție în care fiecare literă din grup este înlocuită pentru deghizare cu o altă literă. Acest algoritm este unul dintre cele mai vechi cifruri cunoscute și este atribuit lui Julius Caesar. În această metodă, *A* devine *D*, *B* devine *E*, *C* devine *F*, ..., *X* devine *A*, *Y* devine *B*, *Z* devine *C*, conform reprezentării din tabelul 7.1.

Tabelul 4.1.

Alfabet mesaj	A	B	C	D	E	F	G	H	I	J	K	L	M	N	O	P	Q	R	S	T	U	V	W	X	Y	Z
Alfabet criptogramă	D	E	F	G	H	I	J	K	L	M	N	O	P	Q	R	S	T	U	V	W	X	Y	Z	A	B	C

De exemplu, mesajul

ACESTA ESTE UN TEXT CODIFICAT

devine

DFHVWD HVWH XQ WHAW FRGLILFDW.

O mică *generalizare a cifrului lui Caesar* permite alfabetului textului cifrat să fie deplasat cu k litere, în loc de a fi deplasat întotdeauna cu trei litere. În acest caz, k devine o cheie pentru metoda generală a alfabetelor deplasate circular.

Matematic, cifrul lui Caesar generalizat se exprimă conform relației (4.1), iar printr-o transformare liniară a funcției, se obține

$$C_i = (m_i + k) \bmod p \quad (4.8)$$

unde $i = \overline{1, n}$, n este lungimea mesajului, p este lungimea alfabetului și k este cheia, $k \in [1, p-1]$.

Pentru o cheie $k=3$, se obține cifrul lui Caesar.

Pentru o cheie $k=9$, alfabetul de 26 de litere ($p=26$) și criptograma corespunzătoare lui sunt cele prezentate în tabelul 7.2.

Tabelul 4.2.

Alfabet mesaj	A	B	C	D	E	F	G	H	I	J	K	L	M	N	O	P	Q	R	S	T	U	V	W	X	Y	Z
Alfabet criptogramă	J	K	L	M	N	O	P	Q	R	S	T	U	V	W	X	Y	Z	A	B	C	D	E	F	G	H	I

Dacă mesajului

ACESTA ESTE UN TEXT CODIFICAT

i se aplică corespondența din tabelul 7.2, rezultă următorul mesaj criptat

JLNBCJ NBCN DW CNGC LXMRORLJC

7.2.2. Criptarea prin substituție monoalfabetică

Principala îmbunătățire a acestui tip de criptare o reprezintă stabilirea pentru fiecare simbol din textul clar (pentru simplitate cele 26 de litere de mai sus), o corespondență cu o altă literă.

Matematic, dacă există o singură lege de corespondență notată cu f (între elementele alfabetului mesajului și elementele alfabetului criptogramei), substituția este monoalfabetică. Astfel, pentru mesajul $M=m_1, m_2, \dots, m_n$, se obține criptograma $C=c_1, c_2, \dots, c_n$

$$C = E_k(M) = f(m_1), f(m_2), \dots, f(m_n) \quad (4.9)$$

printr-o transformare liniară de forma

$$C_i = (a m_i + b) \bmod p \quad (4.10)$$

unde, suplimentar față de notațiile din relația (7.8), a și b sunt două numere de tip întreg, iar cheia k este dată de ansamblul (a,b) .

Criptarea care folosește substituția monoalfabetică este slabă la atacuri criptanalitice (în principal cu text criptat), dat fiind faptul că identificarea cheii conduce la obținerea întregului mesaj.

Ca un caz particular, este prezentat **cifrul aleator de substituție**. Cheia este constituită din 26 de perechi de numere echivalente de forma (a,b) , cu $(a,b) \in (1,2,3,\dots,26)$. Într-un mod pseudoaleator, fiecărei litere a alfabetului primar îi corespunde o literă a alfabetului secundar. Literele alfabetului de substituție sunt static independente, dar există dezavantaje legate de generarea, transmiterea și păstrarea cheii. Un exemplu este cel prezentat în tabelul 7.3.

Tabelul 4.3.

Alfabet mesaj	A	B	C	D	E	F	G	H	I	J	K	L	M	N	O	P	Q	R	S	T	U	V	W	X	Y	Z
Alfabet criptogramă	Q	W	E	R	T	Y	U	I	O	P	A	S	D	F	G	H	J	K	L	Z	X	C	V	B	N	M

Cheia acestui tip de codificare o reprezintă șirul de 26 de litere corespunzând întregului alfabet. În aceste condiții, mesajul

ACESTA ESTE UN TEXT CODIFICAT
devine

QETLZQ TLZT XF ZTBZ EGROYOEQZ.

4.2.3. Criptarea prin transpoziție pe coloane

Spre deosebire de cifrurile cu substituție, cifrurile cu transpoziție *reordonează caracterele, dar nu le deghizează*.

În exemplul următor este prezentată maniera de realizare a criptogramelor folosind un *cifru cu transpoziție pe coloane* (tabelul 7.4). Cifrul are drept cheie un cuvânt sau o expresie care nu trebuie să conțină caractere repetate (cheia este cuvântul „universal”). Textul clar (necodificat) este scris orizontal, pe rânduri.

Scopul cheii este să stabilească numărul de coloane și să ordoneze caracterele, coloana 1 fiind sub litera din cheie cea mai apropiată de începutul alfabetului.

Text clar: *ACEST ALGORITM DE CODIFICARE ESTE FOARTE BUN.*

Tabelul 4.4.

u	n	i	v	e	r	s	a	l
8	5	3	9	2	6	7	1	4
A	C	E	S	T		A	L	G
O	R	I	T	M		D	E	
C	O	D	I	F	I	C	A	R
E		E	S	T	E		F	O
A	R	T	E		B	U	N	.

Text criptat : *LEAFNTMFT EIDETG RO.CRO R IEBADC UAOCEASTISE*

7.2.4. Metoda cheilor acoperitoare

Construirea unui cifru imposibil de spart este actualmente destul de simplă. Tehnica este cunoscută de decenii, având următoarele etape:

- se alege un șir aleatoriu de biți pe post de cheie;
- se convertește textul clar într-un șir de biți;
- pentru a obține codificarea textului clar, se calculează *xor* între cheie și textul clar, bit cu bit;
- pentru a realiza decodificarea se calculează tot *xor* între aceeași cheie și textul codificat, tot bit cu bit.

Această metodă, cunoscută sub numele de *metoda cheilor acoperitoare (one-time pad)*, are următoarele avantaje:

- textul codificat nu oferă criptanalistului nici o informație;
- se poate codifica orice tip fișier (text, imagine, sunet, video, bază de date, executabil) ;
- chiar și atunci când află metoda de codificare utilizată, criptanalistul nu are șanse să deducă cheia, deoarece șirul de biți al cheii poate avea orice lungime în raport cu șirul de biți corespunzător textului clar.

Cu toată siguranța pe care o oferă această metodă, ea prezintă și dezavantaje practice importante:

- cheia nu poate fi memorată, necesitând un suport, de preferință electronic, o copie a ei putând ajunge oricând în posesia unei persoane neautorizate;
- indiferent că este consultată parțial sau în întregime, informația codificată trebuie decodificată în întregime.
Acesta este un foarte mare dezavantaj în cazul bazelor de date, utilizatorul fiind obligat să decodifice și să codifice respectiva bază de date în întregime, indiferent de numărul de înregistrări pe care le consultă/modifică;
- cu cât fișierul codificat este mai mare, cu atât manipularea lui (consultare/modificare) este mai greoaie, încetinind operarea cu produse software în care este implementată această metodă de codificare.

Un exemplu de criptare prin metoda cheilor acoperitoare este cel prezentat în continuare.

Mesaj: 00101010 10101000 10101010 01111100 01011101 11101111

Cheie: 10010111 00111011 00001111

Criptogramă: 10111101 10010011 10100101 11101011 01100110 11100000

4.3. Criptosisteme computaționale

4.3.1. Noțiuni generale

Dacă la algoritmi clasici de criptare secretul este asigurat, în principal, de folosirea unor chei de lungimi mari, la cele computaționale accentul este pus pe *complexitatea algoritmilor de criptare, respectiv de decriptare*. Criptarea utilizând tehnica de calcul generează cifruri greu de spart chiar și de către un criptanalist care dispune de cantități mari de text cifrat.

Primul sistem de criptare bloc, *criptosistemul Lucifer*, a fost creat de IBM în 1970 pentru a mări siguranța transferurilor bancare. În variantele acestui criptosistem apar pentru prima dată elementele unei rețele de substituție-permutare. Sunt criptate și decriptate mesaje de orice lungime, în grupuri de 128 biți, sub controlul unei chei de 128 biți aleși aleator. Cheia se putea obține dintr-

o cartelă magnetică sau o memorie de tip ROM []. Acest tip de criptare prezintă următoarele avantaje:

- pentru aceeași secvență de mesaj, sunt generate criptoame diferite, la momente de timp diferite;
- sistemul sesizează situațiile în care există o eroare de transmisie sau când este utilizată o cheie inadecvată.

Cu toate aceste avantaje certe, niciuna dintre variantele acestui criptosistem nu s-a bucurat de prea multă încredere din partea utilizatorilor, fiind considerate nesigure.

Schema generală a criptării folosind tehnica cheilor publice este prezentată în figura 4.1.

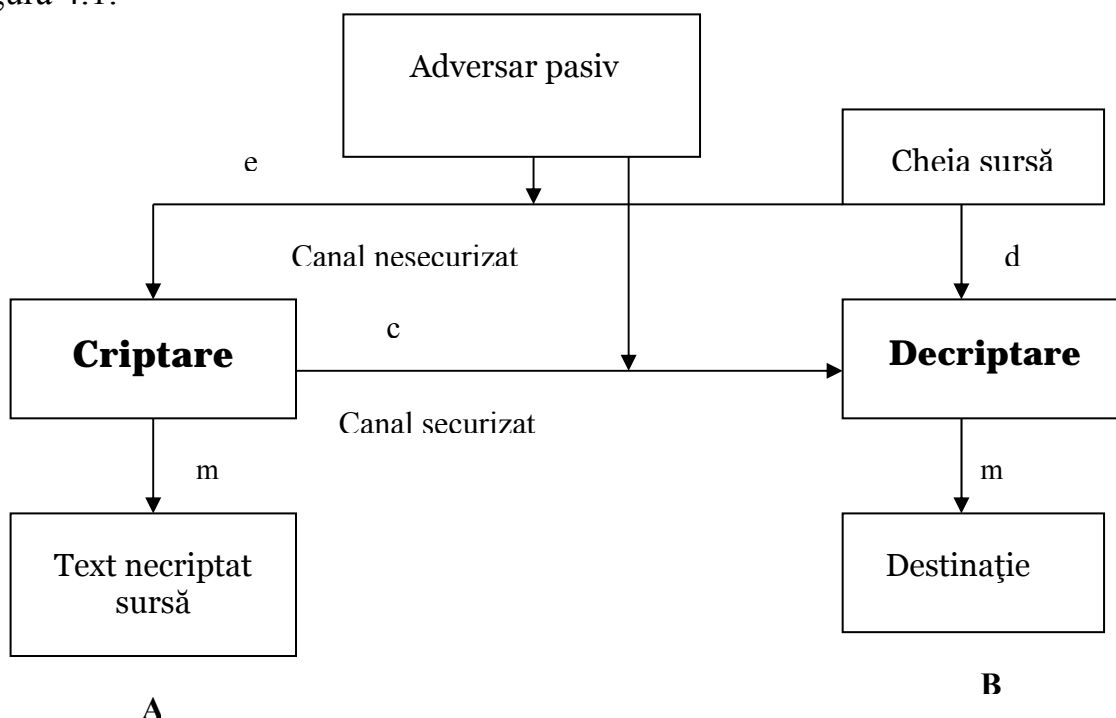


Fig. 4.1. Criptare folosind tehnica cheilor publice

Se consideră o comunicare între două entități, A și B. B selectează perechea de chei (e,d) și trimite cheia de criptare e , numită *cheie publică*, lui A, prin oricare dintre cele două canale, dar păstrează cheia secretă de decriptare d , numită *cheie privată*. A îi poate astfel trimite un mesaj lui B aplicând funcția de criptare determinată de cheia publică a lui B pentru a obține criptograma c , $c=E_e(m)$. B decriptează textul cifrat c , aplicând inversa transformării, D_d , determinată în mod unic de către d . Deoarece nu este necesar ca cheia de criptare e să fie ținută

secretă, ea poate fi făcută publică, astfel încât orice entitate care dorește să îi transmită un mesaj criptat lui B să poată face acest lucru, iar B să poată realiza decriptarea. Figura 7.2. ilustrează această posibilitate, unde A_1 , A_2 , A_3 sunt entități distincte. Este de subliniat faptul că, dacă A_1 distruge mesajul m_1 după ce îl criptează în c_1 , atunci nici măcar A_1 nu mai poate recupera m_1 din c_1 .

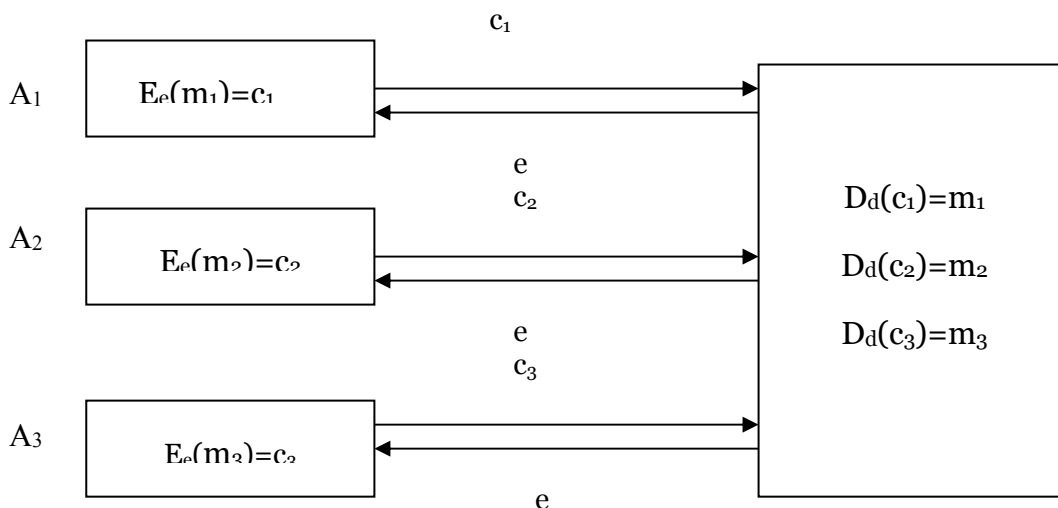


Fig. 4.2. Criptarea cu chei publice cu trei entități distincte

Criptarea cu chei publice ar putea fi considerată, în sensul celor prezentate până în acest punct, un sistem ideal, care nu are neapărată nevoie de un canal securizat pentru transmiterea cheii de criptare. Acest lucru ar implica faptul că două entități ar putea comunica pe un canal nesecurizat, fără a se fi întâlnit vreodată pentru a face schimb de chei. În realitate, însă, un adversar poate “sparge” sistemul, decriptând mesajele celei de a doua entități, așa cum este prezentat în figura 7.3.

În acest scenariu, al atacului asupra unei comunicări în doi cu asumarea unei identități false, adversarul își asumă identitatea entității B, trimițându-i entității A o cheie publică e' pe care A o consideră, în mod incorect, ca fiind cheia publică a lui B.

Adversarul interceptează mesajele criptate ale lui A către B, le decriptează folosind propria cheie privată d' , recriptează mesajul cu cheia publică e a lui B și îl trimite lui B. Acest fapt evidențiază necesitatea autentificării cheilor publice pentru a obține autentificarea originii datelor și a cheilor publice (A trebuie să fie sigur că B este deținătorul legitim al cheii publice sub care a efectuat criptarea).

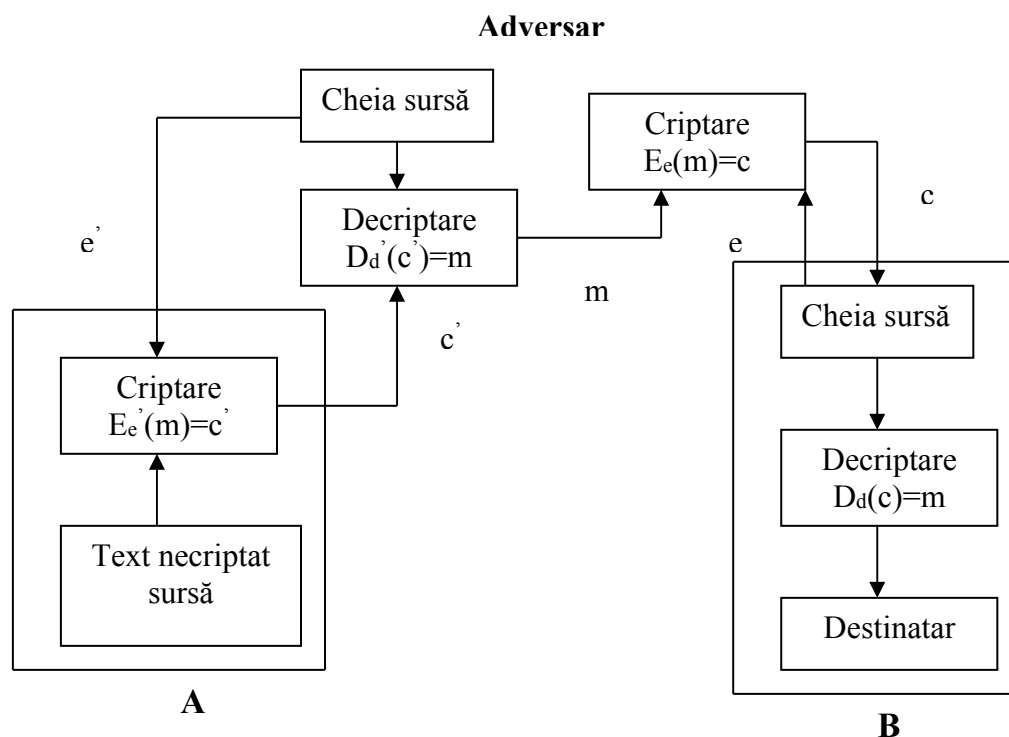


Fig. 4.3. Atacul asupra unei comunicări în doi cu asumarea unei identități false

4.3.2. Algoritmul R.S.A

Deoarece toți criptologii au considerat întotdeauna ca de la sine înțeles faptul că atât pentru criptare cât și pentru decriptare se folosește aceeași cheie și că aceasta trebuie distribuită tuturor utilizatorilor sistemului, părea a exista întotdeauna aceeași problemă inerentă: cheile trebuiau protejate împotriva furtului dar, în același timp, ele trebuiau să fie distribuite, astfel încât nu puteau fi sechestrate într-un seif de bancă.

În 1976, doi cercetători, Diffie și Hellman, au propus un tip radical nou de criptosistem în care cheile de criptare și decriptare sunt diferite, iar cheia de decriptare nu poate fi dedusă din cheia de criptare. În propunerea lor, algoritmul (cheia) de criptare E și algoritmul (cheia) de decriptare D , trebuiau să satisfacă trei cerințe. Aceste trei cerințe pot fi exprimate simplificat după cum urmează:

- $D(E(M))=M$;

- Este foarte dificil să se deducă D din E ;
- E nu poate fi spart printr-un atac cu text clar ales.

Respectându-se aceste trei condiții, nu există nici un motiv pentru ca E , respectiv cheia de criptare, să nu poată fi făcută publică; dimpotrivă, toți utilizatorii care au adoptat acest model de criptosistem trebuie să-și facă cunoscute cheile publice.

Plecând de la aceste trei condiții, în anul 1978 a fost inventat criptosistemul **R.S.A.** Denumirea lui provine de la numele celor trei inventatori ai acestui mod de criptare a informației: Ron **R**ivest, Adi **S**hamir și Leonard **A**delman.

Acest criptosistem stă și astăzi, în diverse variante, la baza sistemelor de protecție a datelor și transmisiilor de informații. El se bazează pe o problemă matematică dificilă și anume găsirea unor numere prime foarte mari, fapt care a impulsionat elaborarea unor metode specifice mai eficiente.

Pentru obținerea cheilor (*cheia privată* și *cheia publică*), se procedează astfel:

- Se aleg două numere prime p și q ;
- Se calculează $n = p \times q$ și $z = (p - 1) \times (q - 1)$;
- Se alege un număr e relativ prim cu z , astfel încât $1 < e < z$;
- Se găsește un număr d , astfel încât $(e \times d) \bmod z = 1$ și $1 < d < z$.

Numărul e se numește *exponent public*, iar numărul d *exponent privat*.

În urma operațiilor anterioare se obțin două perechi de numere (n, e) și (n, d) care reprezintă cheia publică, respectiv cheia privată.

Pentru a obține mesajul criptat c , mesajul clar m (privit ca șir de biți), se împarte în k blocuri de text clar. Fiecărui bloc m_i , ($i = \overline{0, k - 1}$) i se aplică funcția:

$$c_i(n, e) = m_i^e \bmod n, \text{ unde } i = \overline{0, k - 1} \quad (4.11)$$

Astfel, șirul c obținut reprezintă mesajul criptat.

Pentru decriptare (obținerea mesajului clar m), criptogramei c i se aplică funcția:

$$m_i(n, d) = c_i^d \bmod n, \text{ unde } i = \overline{0, k - 1} \quad (4.12)$$

Din motive de securitate numerele p și q se șterg după generarea cheilor publice și private.

Securitatea metodei se bazează pe dificultatea factorizării numerelor mari. Dacă un criptanalist ar putea factoriza numărul n (public cunoscut), atunci el ar putea obține p și q , iar din acestea pe z . Cu acesta din urmă aflat, se restrâng și variantele pentru e , respectiv d . Din fericire, matematicienii încearcă de peste 300 de ani să factorizeze numere mari și experiența acumulată sugerează că aceasta este o problemă mai mult decât dificilă.

În figura 4.4. este ilustrat modul de funcționare a algoritmului R.S.A.

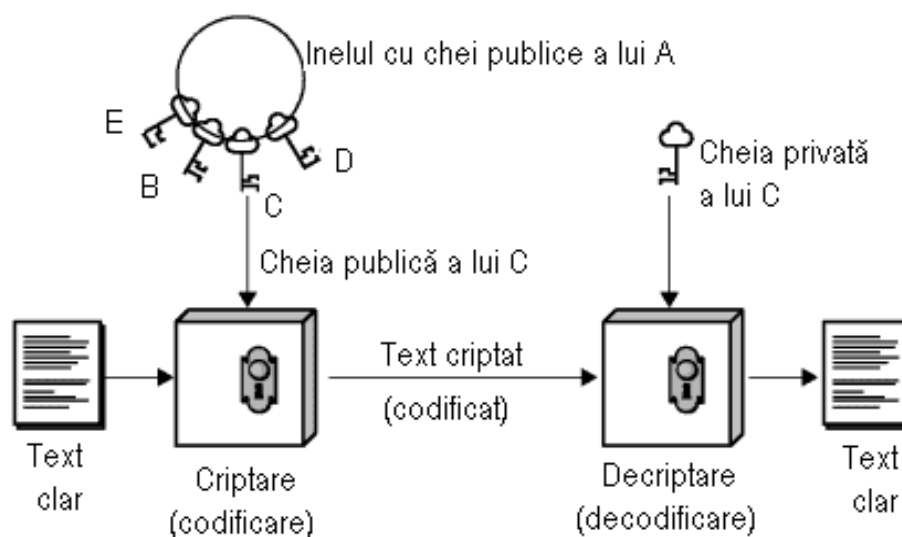


Fig. 4.4. Schema bloc a funcționării criptosistemului R.S.A.

Persoana A deține un grup (inel) de chei publice ale persoanelor B, C, D și E. Pentru a transmite un mesaj criptat persoanei C, criptează mesajul (textul clar) cu cheia publică a lui C. Persoana C primește mesajul criptat de la A și îl decodifică cu cheia sa privată, obținând astfel textul clar original.

În cadrul grupului de persoane A, B, C, D, E, fiecare deține cheile publice ale celuilalt și le utilizează pentru transmiterea mesajelor. De asemenea, fiecare persoană își utilizează cheia privată (personală) pentru a decripta mesajele primite, astfel încât numai destinatarul mesajului poate citi mesajul respectiv.

Această modalitate de criptare este utilizată atunci când expeditorul este interesat ca nimeni (nici măcar cei din grup) să nu poată citi mesajul clar. Dezavantajul acestei metode este că oricine din grup poate trimite mesaje, iar destinatarul nu poate fi 100% sigur de identitatea expeditorului.

Un exemplu de calcul este prezentat în continuare.

Se aleg două numere prime (pentru o criptare eficientă p și q se aleg mai mari de 10^{100}):

$$p = 61$$

$$q = 53$$

Se calculează:

$$n = p \cdot q = 61 \cdot 53 = 3233$$

$$z = (p-1) \cdot (q-1) = 60 \cdot 52 = 3120$$

Conform algoritmului se alege $e = 17$ și $d = 2753$

Cheia publică va fi $(n, e) = (3233, 17)$
 Cheia privată rezultă $(n, d) = (3233, 2753)$

Se alege mesajul clar (de criptat) $m = 123$.

Codificarea este

$$c = m^e \bmod n = 123^{17} \bmod 3233 =$$

$$= 337587917446653715596592958817679803 \bmod 3233 = 855$$

Decodificarea este

$$m = c^d \bmod n = 855^{2753} \bmod 3233 = 123$$

Semnătura digitală R.S.A.

Avantajul algoritmului R.S.A. este că poate fi utilizat și pentru semnarea mesajelor expediate. Acest tip de semnătură este cunoscut sub numele de *semnătura digitală R.S.A.*

Semnătura digitală este folosită pentru a identifica autorul unui mesaj și reprezintă una dintre cele mai importante contribuții ale criptării cu chei publice. Primul standard internațional pentru semnăturile digitale, ISO/IEC 9796, bazat pe schema cheilor publice RSA, a fost adoptat în 1991. Schema bloc a sistemului de transmitere a mesajelor semnate digital este reprezentată în figura 4.5.

După cum este cunoscut, fiecare membru al unui grup deține cheia publică a celorlalți membri ai grupului și cheia sa privată. Pentru a transmite persoanei C un mesaj criptat și semnat, persoana A criptează mesajul (textul clar) cu cheia sa privată (personală). Persoana C primește mesajul criptat de la A și îl decodifică cu cheia publică a acesteia (cheia publică a lui A), obținând astfel textul clar original.

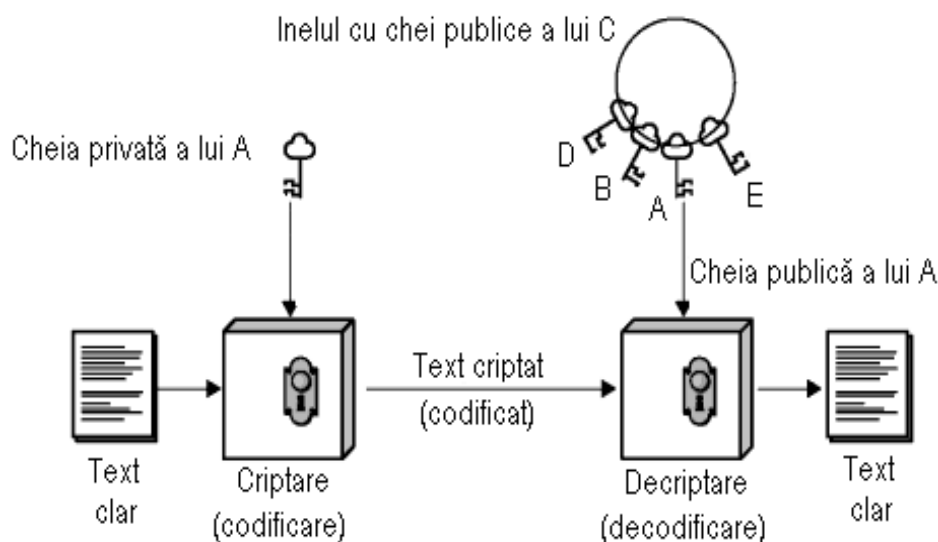


Fig. 4.5. Schema bloc a sistemului de transmitere a mesajelor semnate digital

Spre deosebire de schema de criptare din figura 7.4, în acest caz, toate persoanele din grup pot decodifica mesajul dar nu există nici un dubiu în privința identității expeditorului.

A, B, C, D și E pot fi atât persoane cât și programe, ceea ce înseamnă că acest sistem de criptare poate fi folosit :

- de persoane în vederea transmiterii de mesaje (de exemplu transmiterea de e-mail-uri, fișiere în orice format),
- de programe (pachete de programe client/server) în vederea transmiterii de informații de la aplicația server la aplicația client și/sau invers, în cadrul rețelelor de tip LAN (Local Area Network) sau WAN (World Area Network).

Folosind notațiile de la metoda de criptare, pentru a obține mesajul criptat c (criptogramă semnată digital), mesajul clar m (privit ca șir de biți), se împarte în k blocuri de text clar. Fiecărui bloc m_i , ($i = \overline{0, k-1}$) i se aplică funcția

$$c_i(n, d) = m_i^d \pmod n, \text{ unde } i = \overline{0, k-1} \quad (4.13)$$

Astfel șirul c obținut reprezintă mesajul criptat semnat.

Pentru decriptare (obținerea mesajului clar m), criptogramei c i se aplică funcția

$$m_i(n, e) = c_i^e \pmod n, \text{ unde } i = \overline{0, k-1} \quad (4.14)$$

4.3.3. Algoritmul El-Gamal

Schema de criptare El-Gamal se bazează pe rezolvarea problemei logaritmulor discreți care consideră drept date inițiale un grup G de ordinul n și $\beta \in G$, logaritmul discret al lui β în bază α , notat cu $\log_\alpha \beta$ este numărul întreg unic x , $0 \leq x \leq n-1$, astfel încât $\beta = \alpha^x$.

Cel mai important aspect al criptării cu chei publice este acela care se referă la faptul că autorul unui mesaj nu are posibilitatea să îl decripteze, după ce l-a trimis destinatarului, deoarece nu deține cheia privată necesară decriptării. Astfel, dacă este transmis, din greșeală, un mesaj unui alt destinatar decât cel

dorit, acesta nu îl va putea decripta, păstrându-se în acest fel secretul respectivei informații.

În acest context, două entități A și B care doresc să comunice trebuie să parcurgă următoarele etape:

- generarea cheilor pentru criptarea cu chei publice El-Gamal (algoritm 1);
- realizarea schimbului de chei publice, care poate fi făcută pe orice canal de comunicații, indiferent de gradul de securitate conferit de acesta (de exemplu prin e-mail sau telefonie);
- criptarea de către B a mesajului pe care dorește să i-l transmită lui A (algoritm 2);
- decriptarea de către A a mesajului cifrat c primit de la B (algoritm 3).

Algoritm 1. Generarea cheilor pentru criptarea cu chei publice El-Gamal

Fiecare entitate creează o cheie publică și o cheie privată corespunzătoare. Entitatea A trebuie să aplice următorii pași:

- Generarea unui număr p prim, cu o valoare mare, și a unui număr α din Z_p^* ;
- Selectarea unui număr întreg aleator a , $1 \leq a \leq p-2$, și calcularea $\alpha^a \bmod p$;
- A deține cheia publică (p, α, α^a) și cheia privată a .

Algoritm 2. Criptarea cu chei publice El-Gamal

Entitatea B criptează mesajul m , prin aplicarea următorilor pași:

- Obținerea cheii publice aparținând lui A (p, α, α^a) ;
- Reprezentarea mesajului ca un număr întreg aparținând domeniului $\{0, 1, \dots, p-1\}$;
- Selectarea unui număr întreg aleator k , $1 \leq k \leq p-2$;
- Calcularea $\gamma = \alpha^k \bmod p$ și a lui $\delta = m(\alpha^a)^k \bmod p$.
- Trimiterea către A a textului cifrat $c=(\gamma, \delta)$.

Mesajul este considerat a fi un șir de caractere. Pentru a putea fi criptat, aceste caractere sunt transformate în codul ASCII (*American Standard Code for Information Interchange*) echivalent lor. Deoarece reprezentarea mesajului se

face ca un număr întreg aparținând domeniului $\{0,1,\dots,p-1\}$, p nu poate fi ales mai mic decât 128.

Algoritm 3. Decriptarea cu chei publice El-Gamal

Pentru a recupera textul m , care a fost cifrat, din c , A trebuie să aplice pașii de mai jos:

- Folosind cheia privată α , calculează $\gamma^{p-1-a} \bmod p$, cu $\gamma^{p-1-a} = \gamma^{-a} = \alpha^{-ak}$.
- Recuperarea lui m calculând $(\gamma^{-a})\delta \bmod p$.

Verificarea decriptării. Decriptarea permite recuperarea textului mesajului original, deoarece $\gamma^{-a} \cdot \delta \bmod p = \alpha^{-ak} m \alpha^{ak} \bmod p = m$.

În continuare este prezentat un exemplu de criptare folosind algoritmul El-Gamal pentru parametri mici.

Generarea cheii. Entitatea A selectează numărul prim $p=2357$ și un $\alpha=2$ din Z^*_{2357} . În continuare, A își alege cheia privată $a=1751$ și calculează $\alpha^a \bmod p = 2^{1751} \bmod 2357 = 1185$.
Cheia publică a lui A este $(p=2357, \alpha=2, \alpha^a=1185)$.

Criptarea. Pentru a cripta mesajul $m=2035$, B selectează un număr întreg aleator $k=1520$ și calculează:

$$\gamma = 2^{1520} \bmod 2357 = 1430$$

$$\delta = 2035 \cdot 1185^{1520} \bmod 2357 = 697.$$

B trimite lui A $\gamma = 1430$ și $\delta = 697$.

Decriptarea. Pentru a decripta, A calculează

$$\gamma^{p-1-a} = 1430^{605} \bmod 2357 = 872$$

și recuperează mesajul m , calculând

$$m = 872 \cdot 697 \bmod 2357 = 607\,784 \bmod 2357 = 2035.$$

4.3.4. Algoritmul Merkle-Hellman

Schema de criptare Merkle-Hellman se bazează pe problema sumei subșirurilor. Ideea de bază este selectarea unei instanțe a problemei sumei subșirurilor care este ușor de rezolvat, deghizată apoi ca o instanță a problemei generale a problemei sumei subșirurilor care este mai dificil de soluționat. *Șirul original poate servi drept cheia privată, iar șirul transformat servește drept cheia publică.*

Schema de criptare Merkle-Hellman este importantă din motive istorice, deoarece a fost prima realizare concretă a unei scheme de criptare cu chei publice. Ulterior au fost realizate mai multe variante, dar toate, inclusiv cea originală, s-au dovedit nesigure.

Definiția problemei sumei subșirurilor poate fi formulată astfel: fiind dat un șir de întregi pozitivi $\{a_1, a_2, \dots, a_n\}$ și un întreg pozitiv s , să se determine dacă există sau nu un subșir a_j a cărui sumă este s , și dacă există $x_i \in \{0,1\}$, $1 \leq i \leq n$ astfel încât $\sum_{i=1}^n a_i x_i = s$.

Algoritmul pentru generarea cheilor pentru criptarea cu chei publice Merkle-Hellman cuprinde în mod necesar următoarele etape:

Fiecare identitate își creează o cheie publică și una privată corespunzătoare

1. Un număr întreg n este stabilit ca parametru comun de sistem.
2. Fiecare identitate urmează pașii 3-7.
3. Se alege un șir supercrescător (b_1, b_2, \dots, b_n) și un modul M astfel încât $M > b_1 + b_2 + \dots + b_n$.
4. Se selectează un întreg aleator W , $1 \leq W \leq M - 1$, astfel încât cel mai mare divizor comun al lui W și M să fie 1.
5. Se alege o permutare aleatoare π de întregi $\{1, 2, \dots, n\}$.
6. Se calculează $a_i = W \cdot b_{\pi(i)} \bmod M$ pentru $i=1, 2, \dots, n$.
7. Cheia publică a lui A este (a_1, a_2, \dots, a_n) , iar cheia privată este $(\pi, M, W, (b_1, b_2, \dots, b_n))$.

Criptarea cu chei publice Merkle-Hellman. B criptează un mesaj m pentru A.

- a. Se obține cheia publică autentică a lui A (a_1, a_2, \dots, a_n)
- b. Mesajul m este reprezentat ca un șir binar de lungime n , $m = m_1 m_2 \dots m_n$
- c. Este calculat întregul $c = m_1 a_1 + m_2 a_2 + \dots + m_n a_n$
- d. Textul cifrat c este trimis către A.

Decriptarea cu chei publice Merkle-Hellman

- e. Se calculează $d = W^{-1}c \pmod{M}$.
- f. Rezolvând problema sumei subșirurilor, sunt găsiți întregii r_1, r_2, \dots, r_n , $r_i \in \{0, 1\}$, astfel încât $d = r_1 b_1 + r_2 b_2 + \dots + r_n b_n$.
- g. Biții mesajului sunt: $m_i = r_{\square(i)}$, $i \in 1, 2, \dots, n$.

Algoritmul binar extins al celui mai mare divizor comun, folosit pentru a determina inversul față de înmulțire al $x \pmod{y}$

Date de intrare: două numere întregi x și z .

Date de ieșire: întregii a și b , astfel încât $ax + bz = 1$, unde 1 este cel mai mare divizor comun al lui x și y .

1. cât timp x și y sunt pare, execută: $x \leftarrow x/2, y \leftarrow y/2$
2. $u \leftarrow x, v \leftarrow y, A \leftarrow 1, B \leftarrow 0, C \leftarrow 0, D \leftarrow 1$.
3. cât timp u este par, execută:
 - 3.1. $u \leftarrow u/2$
 - 3.2. dacă $A \equiv B \equiv 0 \pmod{2}$, atunci $A \leftarrow A/2, B \leftarrow B/2$;
altfel, $A \leftarrow (A+y)/2, B \leftarrow (B-x)/2$.
4. cât timp v este par, execută:
 - 4.1. $v \leftarrow v/2$
 - 4.2. dacă $C \equiv D \equiv 0 \pmod{2}$, atunci $C \leftarrow C/2, D \leftarrow D/2$;
altfel, $C \leftarrow (C+y)/2, D \leftarrow (D-x)/2$.
5. dacă $u \geq v$ atunci $u \leftarrow u - v, A \leftarrow A - C, B \leftarrow B - D$
altfel: $v \leftarrow v - u, C \leftarrow C - A, D \leftarrow D - B$.
6. Dacă $u = 0$, atunci $a \leftarrow C, b \leftarrow D$ și returnează a , altfel reia de la pasul 3.

Definiție: un șir (b_1, b_2, \dots, b_n) de numere întregi pozitive este supercrescător dacă are proprietatea $b_i > \sum_{j=1}^{i-1} b_j$ pentru fiecare $i, 2 \leq i \leq n$.

Algoritm pentru rezolvarea problemei sumei unui subșir supercrescător

Date de intrare: un șir supercrescător (b_1, b_2, \dots, b_n) și un număr întreg s , care este suma subșirului b_i .

Date de ieșire: (x_1, x_2, \dots, x_n) unde $x_i \in \{0,1\}$, astfel încât $\sum_{i=1}^n x_i b_i = s$.

1. $i \leftarrow n$
2. cât timp $i \geq 1$ execută:
dacă $s \geq b_i$, atunci $x_i \leftarrow 1$ și $s \leftarrow s - b_i$; altfel: $x_i \leftarrow 0$.
 $i \leftarrow i - 1$
3. returnează (x_1, x_2, \dots, x_n)

Verificarea decriptării. Decriptarea din algoritmul de mai sus permite recuperarea textului mesajului original, deoarece $d \equiv W^{-1}c \equiv W^{-1} \sum_{i=1}^n m_i a_i \equiv \sum_{i=1}^n m_i b_{\pi(i)} \pmod{M}$. Deoarece $0 \leq d \leq M$, $d = \sum_{i=1}^n m_i b_{\pi(i)} \pmod{M}$, deci soluția oferită la pasul g al decriptării indică în mod corect biții mesajului după aplicarea permutării π .

În continuare este prezentat un exemplu de criptare folosind algoritmul Merkle-Hellman pentru parametri mici

Generarea cheilor

Fie $n=6$. Entitatea A alege șirul supercrescător $(12, 17, 33, 74, 157, 316)$, $M=737$, $W=635$, și permutarea $\pi = \{1, 2, 3, 4, 5, 6\}$ definită prin $\pi(1)=3$, $\pi(2)=6$, $\pi(3)=1$, $\pi(4)=2$, $\pi(5)=5$ și $\pi(6)=4$.

Cheia publică a lui A în urma calculelor:

$$\begin{aligned} a_1 &= W b_{\pi(1)} \pmod{M} = 635 \cdot 33 \pmod{737} = 20955 \pmod{737} = 319 \\ a_2 &= W b_{\pi(2)} \pmod{M} = 635 \cdot 316 \pmod{737} = 200660 \pmod{737} = 196 \\ a_3 &= W b_{\pi(3)} \pmod{M} = 635 \cdot 12 \pmod{737} = 70620 \pmod{737} = 250 \\ a_4 &= W b_{\pi(4)} \pmod{M} = 635 \cdot 17 \pmod{737} = 10795 \pmod{737} = 477 \\ a_5 &= W b_{\pi(5)} \pmod{M} = 635 \cdot 157 \pmod{737} = 99695 \pmod{737} = 200 \\ a_6 &= W b_{\pi(6)} \pmod{M} = 635 \cdot 74 \pmod{737} = 46990 \pmod{737} = 559 \end{aligned}$$

este șirul (319, 196, 250, 477, 200, 559), iar cheia privată este ($\square\square\square M, W, (12, 17, 33, 74, 157, 316)$).

Criptarea. Pentru a cripta mesajul $m = 101101$, B calculează

$$c = 1 \cdot 319 + 0 \cdot 196 + 1 \cdot 250 + 1 \cdot 477 + 0 \cdot 200 + 1 \cdot 559 = 1605$$

și îl trimite lui A.

Decriptarea. Pentru a decripta c , A calculează $d = W^{-1}c \bmod M$ cu ajutorul algoritmului binar extins al celui mai mare divizor comun, sub forma $d = W^{-1}c \bmod M = 513 \cdot 1605 \bmod 737 = 136$.

Pentru a decripta mesajul trebuie rezolvată ecuația:

$136 = 12r_1 + 17r_2 + 33r_3 + 74r_4 + 157r_5 + 316r_6$, obținându-se $r_1 = 1, r_2 = 1, r_3 = 1, r_4 = 1, r_5 = 0, r_6 = 0$, apoi se aplică permutarea $\square\square$ rezultând biții mesajului: $m_1 = r_3 = 1, m_2 = r_6 = 0, m_3 = r_1 = 1, m_4 = r_2 = 1, m_5 = r_2 = 0, m_6 = r_4 = 1$, deci mesajul decriptat este $m = 101101$, același cu cel care a fost criptat.

4.3.4. Algoritmul D.E.S

Sistemul **D.E.S. (Data Encryption Standard)** este unul dintre cele mai cunoscute exemple de cifruri bloc, adoptat în 1977 în SUA de către National Bureau of Standards drept standardul federal de procesare a informației pentru criptarea informațiilor neclasificate, pornind de la un cifru elaborat de IBM. D.E.S. este un cifru bloc cu lungimea de 64 biți prelucrați în conjuncție cu o cheie, compusă din 56 biți generați pseudo-aleator și 8 biți folosiți pentru detectarea erorilor de transmisie; fiecare din acești biți reprezintă paritatea impară a celor 8 octeți ai cheii. Aceasta este expandată la lungimea blocului și păstrată de către toți membrii unui grup de utilizatori.

Construcția fundamentală a unui bloc D.E.S. este o combinație a două tehnici elementare de criptare, și anume substituție urmată de permutare, efectuate asupra textului, pe baza unei chei. Această construcție este cunoscută sub denumirea de *rundă*. Criptosistemul D.E.S. este compus din 16 runde. Algoritmul este bazat pe un set de permutări, substituții și sumă modulo 2, aplicate iterativ de 16 ori, pe un bloc de 64 biți, prin folosirea de fiecare dată a unei chei diferite de 48 biți, extrasă dintr-o cheie de 56 biți.

Criptarea D.E.S. constă din următoarele categorii de prelucrare efectuate asupra blocului ce conține textul de cifrat, conform prezentării din figura 4.6 [2]:

- blocul de date de 64 biți este supus unei permutări inițiale “IP”;
- blocul permutat trece printr-un calcul complex care depinde de cheie și care constă din 16 iterații funcțional identice, parametrizate de chei diferite;
- un interschimb al celor două jumătăți ale blocului, fiecare având 32 biți;
- o permutare (transpoziție) finală, care este inversa celei inițiale.

Prelucrarea la fiecare iterație “ i ” constă din următoarele operații [2]:

- se notează cu $L(i-1)$ și $R(i-1)$ cele două jumătăți de 32 de biți, stânga și dreapta, care compun blocul supus iterației respective;
- considerând $k(i)$ cheia și un bloc de 48 de biți aleși din cei 64 de biți ai cheii, sunt valabile relațiile pentru calculul ieșirilor $L(i)$ și $R(i)$:

$$\begin{aligned}L(i) &= R(i-1); \\R(i) &= L(i-1) \oplus f(R(i-1), K(i))\end{aligned}\tag{4.15}$$

Ultima iterație este diferită de celelalte, fiind definită de relațiile:

$$\begin{aligned}L(16) &= R(15); \\R(16) &= L(15) \oplus f(R(15), K(16))\end{aligned}\tag{4.16}$$

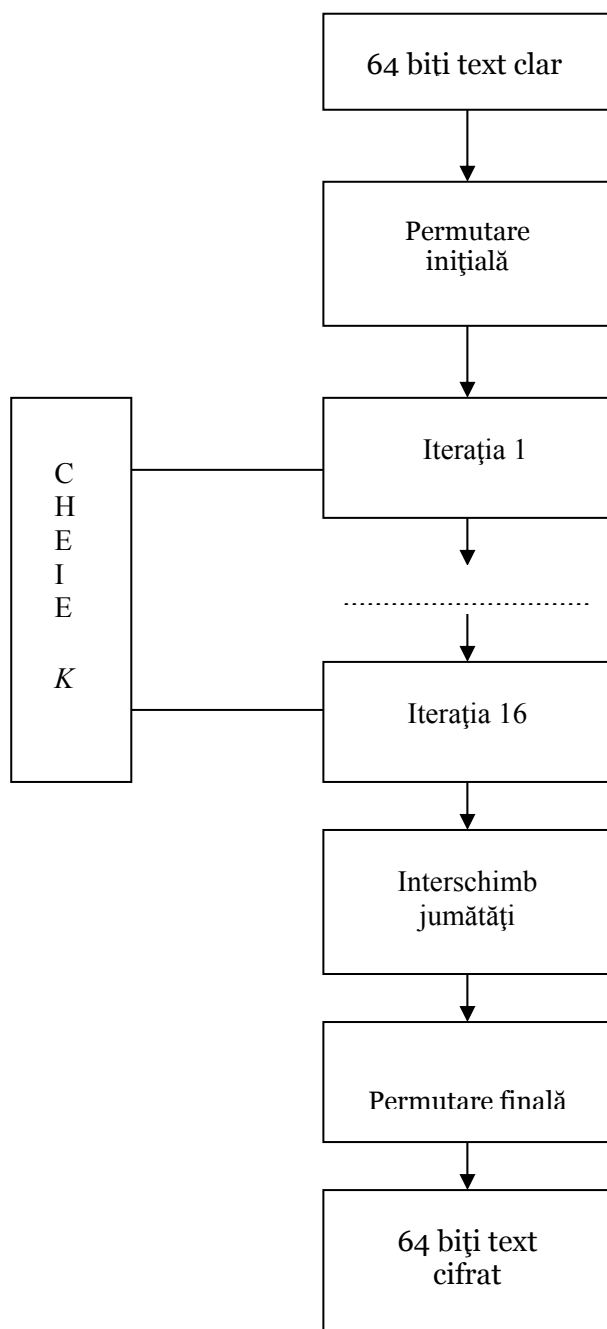


Fig. 4.6. Schema generală a criptării cu algoritmul D.E.S.

Funcția de criptare f folosită realizează o substituție neliniară, astfel încât asupra blocului inițial de 32 de biți se aplică o funcție de expandare E , care generează 48 de biți la ieșire. În continuarea prelucrărilor făcute de funcția f , $E(R(i-1))$ se însumează modulo 2 cu cei 48 de biți ai cheii $K(i)$. Rezultatul este partiționat în 8 blocuri de 6 biți care constituie intrările a 8 cutii $S(j)$, $j=1, \dots, 8$, care realizează o substituție neliniară cu 6 intrări și 4 ieșiri.

Fie S_1, S_2, \dots, S_8 cele 8 cutii S , P funcția de permutare și E funcția de expandare prezentate mai sus. Pentru a defini funcția $f(R(i-1), K(i))$ se realizează blocurile B_1, \dots, B_8 de 6 biți fiecare

$$B_1, \dots, B_8 = K(i) \oplus E(R(i-1)) \quad (4.17)$$

În acest caz, blocul $f(R(i-1), K(i))$ poate fi definit ca

$$f(R(i-1), K(i)) = P(S_1(B_1) S_2(B_2) \dots S_8(B_8)) \quad (4.18)$$

După calculul format din cele 16 iterații descrise anterior, blocul de 32 de biți este supus unei permutări IP^{-1} , *inversa permutării inițiale*.

Decriptarea constă în folosirea aceluiași algoritm, dar cu cheile $K(i)$ aplicate în sens invers, de la K_{16} la K_1 . Astfel, primul pas în decriptare este aplicarea permutării IP , care dezleagă ultimul pas IP^{-1} din operația de criptare. Apoi se generează în sens invers:

$$\begin{aligned} R(i-1) &= L(i) \\ L(i-1) &= R(i) \oplus f(L(i), K(i)) \end{aligned} \quad (4.19)$$

Relațiile (4.19) urmează a fi aplicate de la $R(16)$ și $L(16)$, generându-se în final $R(0)$ și $L(0)$. În final, blocul de 64 de biți obținut este supus unei permutări inverse IP^{-1} , ceea ce conduce la obținerea mesajului de tip text clar.

Atacuri asupra algoritmului D.E.S.

Pentru orice sistem de cifrare, cea mai populară metodă de atac este **atacul forță-brută**, ceea ce înseamnă *încercarea tuturor cheilor posibile pentru spargere*. Lungimea cheii este cea care determină numărul de chei posibile și, prin urmare, posibilitatea de reușită a acestui atac.

În mediile academice, au fost avansate mai multe propuneri pentru spargerea criptosistemului D.E.S. În 1977, Diffie și Hellman au propus o mașină de calcul,

al cărei cost era estimat la 20 milioane USD, care putea găsi cheia D.E.S. în 24 ore. În 1993, Wiener a propus și el o mașină de căutare a cheii care costa 1 milion USD și care găsea cheia D.E.S. în 7 ore.

Fezabilitatea spargerii criptosistemului D.E.S. a fost demonstrată încă din 1988, când a fost înființată o comunitate de spargere a D.E.S. de către Electronic Frontier Foundation (EFF). Motivația acestui grup era să demonstreze că D.E.S. era la fel de ușor de spart în teorie, ca și în practică. Mașina folosește atacul forțat pentru a sparge cheia în mai puțin de două zile de căutare.

Există și o a doua categorie de atacuri, numite **atacuri mai rapide decât forță-brută**. În această categorie sunt incluse trei tipuri de atacuri cunoscute care pot sparge toate cele 16 faze ale D.E.S. cu o complexitate mai mică decât căutarea de tip forță-brută: *Criptanaliza Diferențială (DC)*, *Criptanaliza Lineară (LC)* și *atacul Davie*. Cu toate acestea, atacurile sunt teoretice și sunt imposibil de pus în practică, fiind denumite și vulnerabilități certificate.

Criptanaliza diferențială a fost descoperită la sfârșitul anilor '80 de Eli Biham și Adi Shamir. Pentru a sparge toate cele 16 faze, criptanaliza diferențială necesită 2^{47} secvențe de text prestabilite. D.E.S. a fost proiectat să reziste atacului DC.

Criptanaliza lineară a fost descoperită de Mitsuru Matsui în 1994 [20], și necesită 2^{43} secvențe de text prestabilite; metoda a fost implementată și a fost primul experiment criptanalitic raportat de către D.E.S. Nu există nici o probă să ateste faptul că DES a fost proiectat să reziste la acest tip de atac.

O generalizare a LC, și anume *criptanaliza lineară multiplă*, a fost sugerată în tot în 1994 de către (Kaliski și Robshaw [21] și a fost rafinată mai departe de Biryukov în 2004 [22] ; analiza lor sugerează că aproximările lineare multiple pot fi folosite pentru a reduce datele necesare atacului cu cel puțin un multiplu de 4, fiind necesare astfel 2^{41} secvențe în loc de 2^{43} .

În timp ce criptanaliza diferențială și cea lineară sunt tehnici generale și pot fi aplicate unui număr mare de categorii de criptosisteme, *atacul Davie* este o tehnică specializată pentru D.E.S., propusă la început de Davie în anii '80, și îmbunătățită de Biham și Biryukov în 1997. Cea mai puternică formă de atac necesită 2^{50} secvențe de text prestabilite, are o complexitate de ordinul 2^{50} și are 51% rată de succes.

4.3.5. Algoritm A.E.S.

Standardul de codare avansat **A.E.S.- Advanced Encryption Standard** a fost dezvoltat în anul 1977 de doi criptografi belgieni, Joon Daemen și Vincent Rijmen, sub denumirea de “Rijandel”, un hibrid alcătuit din numele celor doi inventatori. Acest algoritm a reprezentat o îmbunătățire a proiectului inițial al celor doi, numit Square, fiind o rețea de tip substituție-permutare. A.E.S. prezintă avantajul rapidității, este relativ ușor de implementat și necesită puțină memorie.

Descrierea algoritmului A.E.S.

A.E.S. are o *mărime bloc* fixă de 128 biți și *mărimea cheii* de 128, 192 sau 256 biți și operează pe un tablou de biți de dimensiune 4x4, numit “the state”, conform reprezentării din figura 4.7.

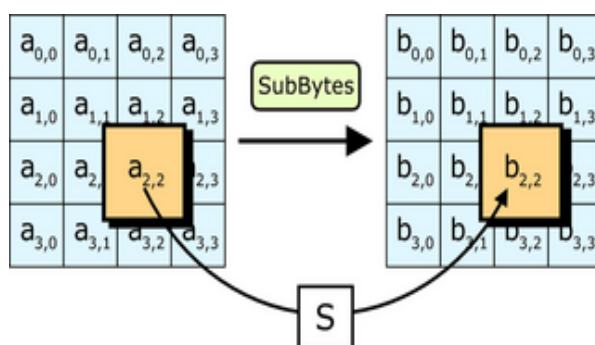


Fig. 4.7. Descrierea algoritmului A.E.S.

Pentru *codare*, fiecare *ciclu* al lui A.E.S. (exceptând ultimul) constă din *patru stadii*, și anume:

- *Substituire*, prin efectuarea unui pas de substituție neliniară, prin care fiecare bit este înlocuit cu un altul, conform descrierii din figura 7.7.;
- *Schimbarea rândurilor* – un pas de transpunere, unde fiecare rând al stării este schimbat ciclic la un anumit număr de pași;
- *Amestecarea coloanelor* - o operație de amestecare care operează asupra coloanelor de stare, combinând cei 4 biți din fiecare coloană folosind o transformare liniară;

- *Cheia adăugare ciclică*, în care fiecare bit al stării este combinat cu cheia ciclului, astfel încât fiecare ciclu este obținut din cheia zero folosind o cheie program.

Ciclul final omite stadiul amestecării coloanelor.

Pasul de substituție

În *pasul de substituție*, fiecare bit din tablou este actualizat folosind un S-box de 8 biți. Această operație furnizează o neliniaritate în cifru. S-box-ul folosit este obținut din inversarea funcției GF (2^8) cunoscută, cu bune proprietăți neliniare. Pentru a evita atacurile bazate pe proprietăți simple algebrice, S-box-ul este construit prin combinarea funcției inverse cu o transformare inversabilă. S-box-ul este de asemenea ales pentru a evita orice puncte fixe și orice puncte fixe opuse.

Pasul de schimbare a rândurilor (Shift Rows)

Pasul de schimbare a rândurilor operează asupra rândurilor stadiului, conform prezentării din figura 7.8., schimbând ciclic biții din fiecare linie după un anumit tipar. Pentru A.E.S., primul rând este lăsat neschimbat. Fiecare bit al celui de al doilea rând este schimbat câte unul către stânga. În mod similar, rândurile trei și patru sunt schimbate după un tipar de doi, respectiv trei.

În acest fel, fiecare coloană a stării de ieșire a pasului ‘Schimbarea rândurilor’ este alcătuită din biții fiecărei coloane a stării de intrare.

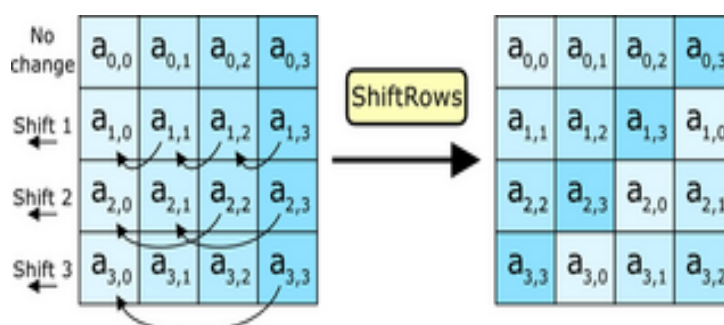


Fig. 4.8. Pasul de schimbare a rândurilor

Pasul de combinare a coloanelor (Mix Columns)

În pasul de combinare a coloanelor, cei patru biți ai fiecărei coloane a stării sunt combinați folosind o transformare liniară inversabilă împreună cu schimbarea rândurilor, combinarea coloanelor furnizând difuzia în cifru. Fiecare coloană este tratată ca un polinom definit în $GF(2^8)$ și este atunci înmulțită modulo $X^4 + 1$ cu un polinom fix $C(X)$, așa cum este ilustrat în figura 4.9.

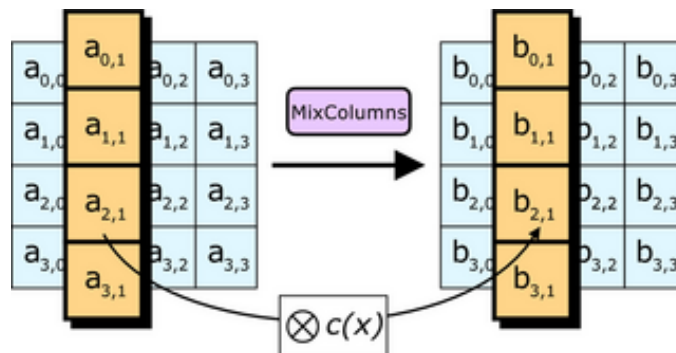


Fig. 4.9. Pasul de combinare a coloanelor

Pasul cheie adăugare ciclică (Add Round Key)

În acest pas, subcheia este combinată cu starea. Prin efectuarea fiecărui ciclu, o subcheie este obținută din cheia principală folosind programul cheii, fiecare subcheie având aceeași mărime ca și starea. Subcheia este adăugată prin combinarea fiecărui bit al stării cu bitul corespunzător al subcheii bitwise (bitul inteligent) XOR. Realizarea acestui pas poate fi observată în figura 4.10.

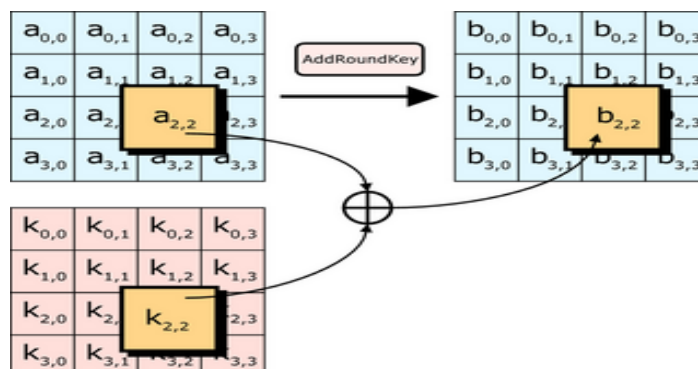


Fig. 4.10. Pasul cheie adăugare ciclică

Implementarea A.E.S. în produse informatice având misiunea de a proteja sistemele de securitate națională și/sau informațiile trebuie să fie certificată de Agenția de Securitate Națională (NSA) înainte de achiziție și folosire. Aceasta marchează, în premieră, accesul publicului la un cifru aprobat de NSA pentru informații de tip strict secret. Este interesant de observat că multe produse publice folosesc implicit chei secrete de 128 biți; sunt posibile, așadar, atacuri de 14 cicluri pentru cheile de 192 biți și tot de 14 cicluri pentru cheile de 256 biți. Până în prezent, cele mai cunoscute atacuri sunt cele de 7 cicluri pentru cheile de 128 biți, 8 cicluri pentru cheile de 192 biți și 9 cicluri pentru cheile de 256 biți.

Criptografii care realizează aceste chei se tem, însă, de securitatea A.E.S. Ei consideră că marginea dintre numărul de cicluri specificate în cifru și cele mai cunoscute atacuri este prea mică pentru confortul unei siguranțe absolute. Riscul este că unele modalități de a îmbunătăți aceste atacuri vor fi, evident, găsite și, în consecință, cifrul poate fi spart. În acest context, o "spargere" de cifru este oricând mai rapidă decât o căutare completă; astfel un atac împotriva unei chei A.E.S. de 128 biți, necesită "doar" 2^{120} operații pentru a se considera o spargere, chiar dacă acest lucru este, teoretic, complet imposibil. În consecință, din fericire, pentru moment, asemenea preocupări pot fi ignorate.

Cel mai mare *atac public* cunoscut ca forță brută, a fost asupra unei chei RC5 de 64 biți, prin *rețea distribuită*. Luând în considerare faptul că, spre deosebire de alte cifruri bloc, A.E.S. are o descriere matematică foarte riguroasă, el nu a constituit încă obiectul unui atac, dar unii cercetători sunt îngrijorați că viitoare atacuri pot găsi modalități de a exploata această structură.

4.3.6. Curbe eliptice

Studiul curbelor eliptice este o ramură importantă a matematicii. Curbele eliptice sunt simple funcții, definite peste orice câmp de numere și constau din elemente numite *puncte* (x, y) , cu reprezentările grafice asociate cunoscute, de tipul celor din figura 4.11. Interesul pentru aceste construcții matematice devine, însă, cu totul special atunci când se studiază punctele în care curbele respective intersectează coordonatele întregi (x, y) .

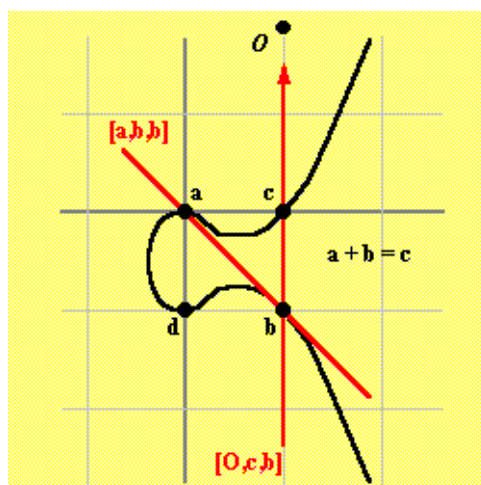


Fig. 4.11. Reprezentarea grafică a unei curbe eliptice

Domeniul curbelor eliptice a fost studiat destul de intens de către matematicieni, dar în ultima jumătate a secolului 20 au fost obținute rezultate foarte semnificative. Una dintre aplicațiile teoriei curbelor eliptice este *utilizarea curbelor eliptice în criptografie* [24].

Curbele eliptice pot furniza versiuni ale metodelor de criptare cu chei publice, dovedindu-se, în unele cazuri, mai rapide și folosind chei mai scurte, cu avantajul asigurării unui nivel echivalent de securitate. Secretul constă în utilizarea unui tip aparte de grup matematic pentru aritmetica cheilor publice.

Pentru descrierea unei curbe eliptice este util un exercițiu de imaginație a unei reprezentări grafice pe o coală de hârtie. Fiecare linie reprezintă un întreg și fiecare intersecție de linii reprezintă o pereche de întregi de coordonate (x,y) . Desenând pe această coală de hârtie o curbă care se întinde la infinit și care traversează un număr finit (x,y) , la fiecare asemenea intersecție se poate marca un punct. Aceste puncte speciale de pe curbă pot fi numărate și poate fi definit un "operator de adunare" care combină oricare două puncte pentru a localiza astfel un al treilea punct. Acest așa-numit operator de adunare care acționează asupra punctelor formează un grup finit. Curba prezentată în figura 7.11. este definită de ecuația

$$y^2 + y = x^3 - x^2 \quad (4.20)$$

Adăugarea de puncte pe curba eliptică

În cazul curbelor eliptice, regula referitoare la adăugarea de puncte pleacă de la premisa că fiecare linie dreaptă care trece prin curbă o intersectează în exact trei puncte. În acest context, regula de adăugare a punctelor, fie ele u și v este următoarea : se trasează o linie dreaptă prin u și v pentru a determina cel de al treilea punct de intersecție w ; apoi se trasează o linie verticală prin w pentru a se determina un alt punct de intersecție, notat cu z .

Astfel, suma $u + v = z$.

Dar pentru a putea utiliza această regulă în context criptografic, trebuie să fie definite unele situații speciale care implică existența unui punct imaginar suplimentar O , numit *origine* sau *punct la infinit*. Se admite că punctul O este localizat foarte sus, unde se presupune că toate liniile verticale converg. În plus, O este pe curbă, chiar dacă nu este caracterizat de coordonatele specifice (x,y) . O altă presupunere este aceea că o linie tangentă la un punct se spune că intersectează punctul de două ori.

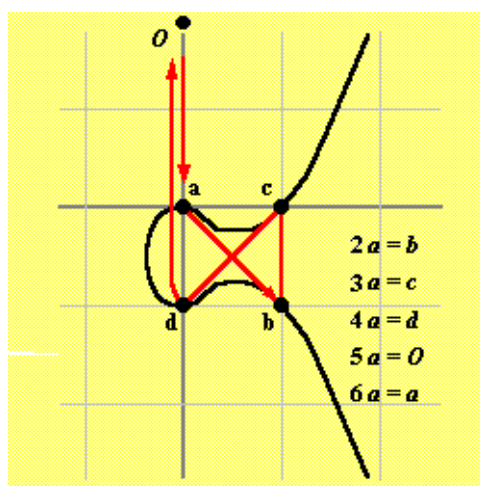


Fig. 4.12. Adăugarea de puncte pe curba eliptică

În exemplul considerat, linia care trece prin a și b intersectează un al "treilea" punct b , conform reprezentării din figura 7.12. Se notează această linie $[a,b,b]$.

Această regulă de adunare creează un grup matematic de puncte. Curba reprezentată în figura 7.12. intersectează $(0,0)$, $(1,-1)$, $(1,0)$, $(0,-1)$, și O , sau $\{a, b, c, d, O\}$. Se calculează $a+b$ prin trasarea liniei tangente $[a, b, b]$ pentru a determina b , și apoi se utilizează linia $[O, c, b]$ pentru a determina c .

Multiplicarea scalară a unui punct este o adunare repetată a punctului cu el însuși. Știind că $a+a=b$ și $a+b=c$, se poate calcula $3a=c$. De asemenea, poate fi demonstrat faptul că O este elementul neutru al grupului, deoarece pentru orice v , $v + O = v$. Punctul suplimentar considerat, O , este analog multiplicării prin 1 într-un grup de întregi modulo p .

Din considerente criptografice, vor fi considerate câmpuri de numere finite, iar aritmetica acestor curbe este operată modulo p , unde p este fie un număr prim foarte mare, fie un număr putere foarte mare a lui 2. Un grup eliptic conține, de regulă N puncte, unde N este aproape egal cu p , $N = k * q$, q este prim, iar k este un număr mic. *Operația de adunare pe o curbă eliptică este corespondentă operației de înmulțire în sisteme cu chei publice obișnuite, iar multiplicarea este corespondenta exponențierii numerelor în Z_p^* .*

Considerând numărul prim p , $p =$

6.277.101.735.386.680.763.835.789.423.207.

666.416.083.908.700.390.324.961.279.

și în spațiul astfel definit, fie curba eliptică de forma

$$y^2 = x^3 + Ax^2 + B \pmod{p} \quad (4.21)$$

cu A și B alte două numere mari, atent alese, din Z_p^* . Această curbă conține exact N puncte, unde $N =$

6.277.101.735.386.680.763.835.789.423.337.

720.473.986.773.608.255.189.015.329.

Aceste N puncte formează un grup, conform regulii prezentate anterior. Considerând p ca un număr binar, se observă că are o formă specială, $p = 2^{192} - 2^{64} - 1$, ceea ce ușurează considerabil calculul. Oricum, calculele cu numere mari nu constituie o problemă pentru sistemele moderne, cu atât mai mult cu cât dimensiunile acestor numere sunt mult mai mici decât cele utilizate de metodele tradiționale, de tip R.S.A.